

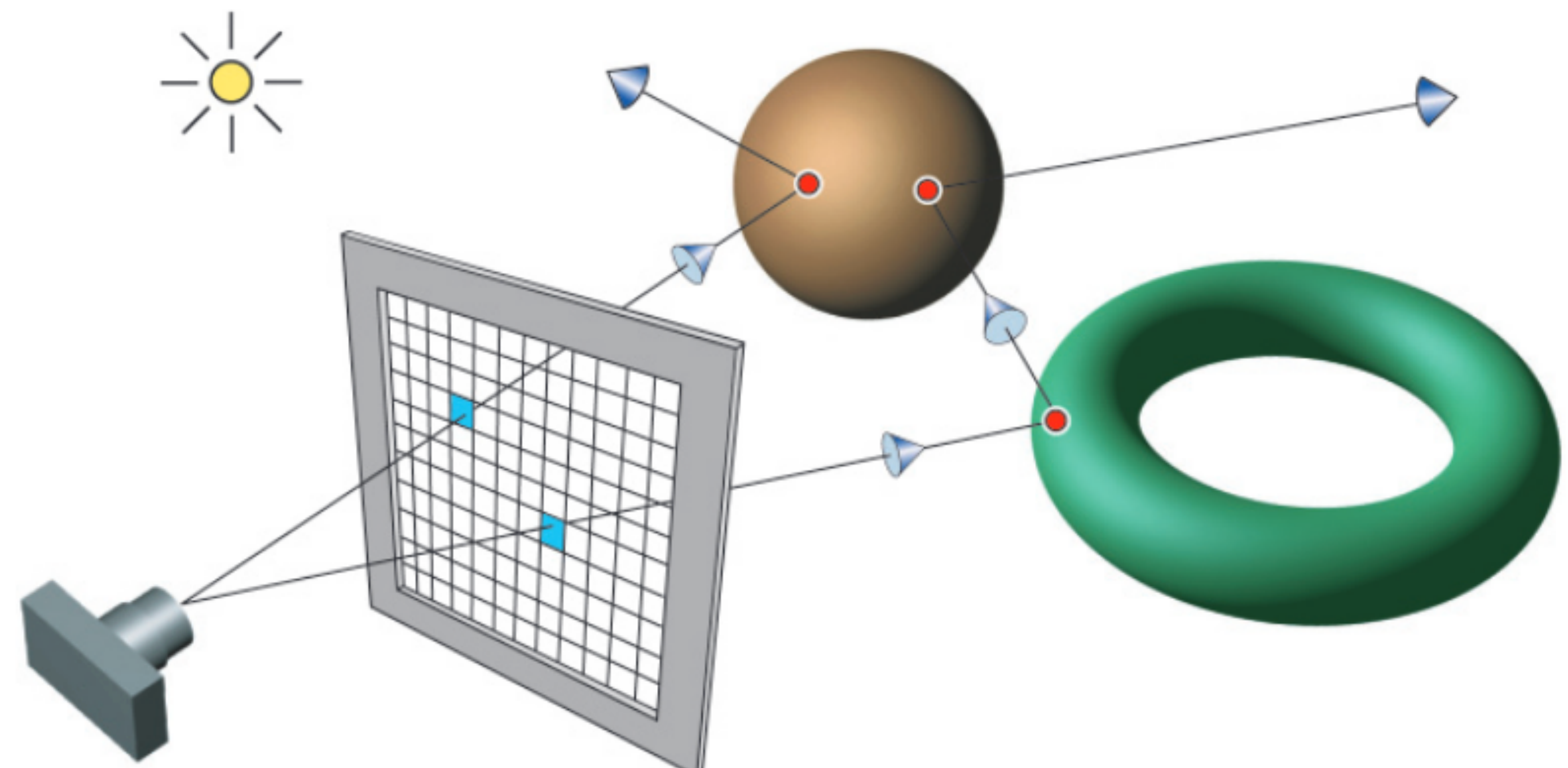
Francisco Ganacim <[ganacim@impa.br](mailto:ganacim@impa.br)>

# 3D Visualization

... with ray tracing

# Elementos

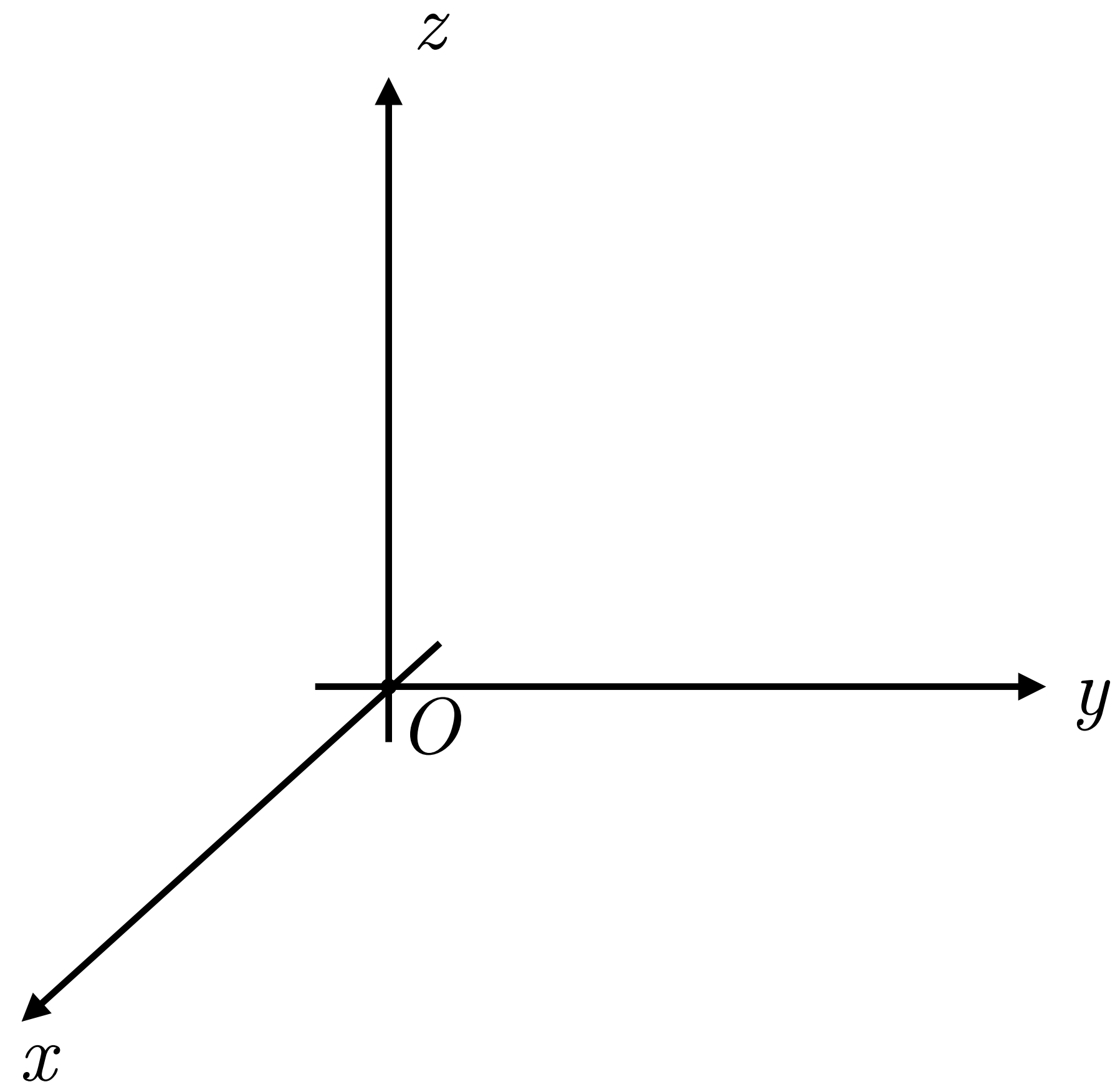
- mundo
- câmera
- objetos
- materiais
- fontes de luz
- meio



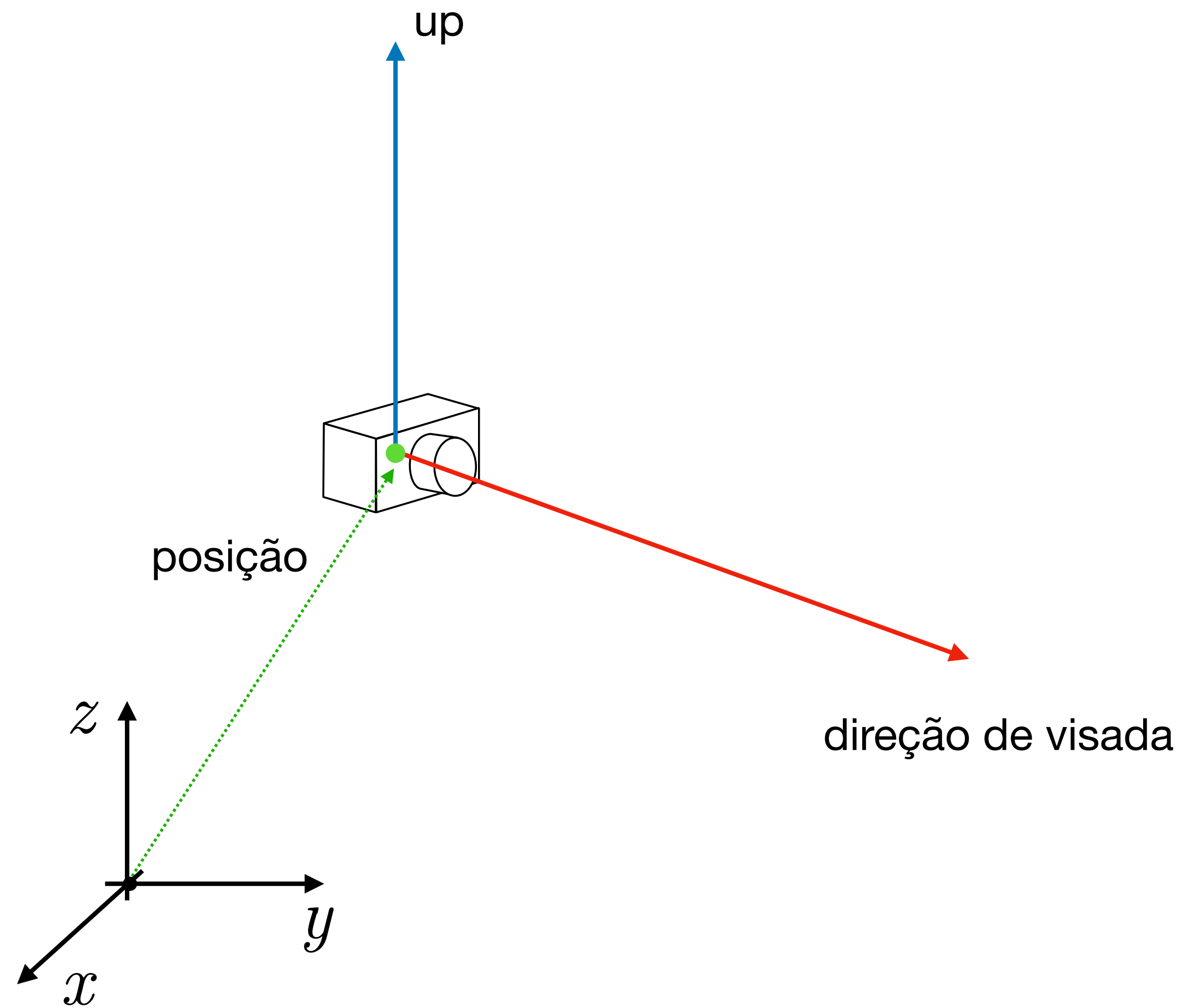
**Figure 1.** The ray-tracing process.

# Mundo

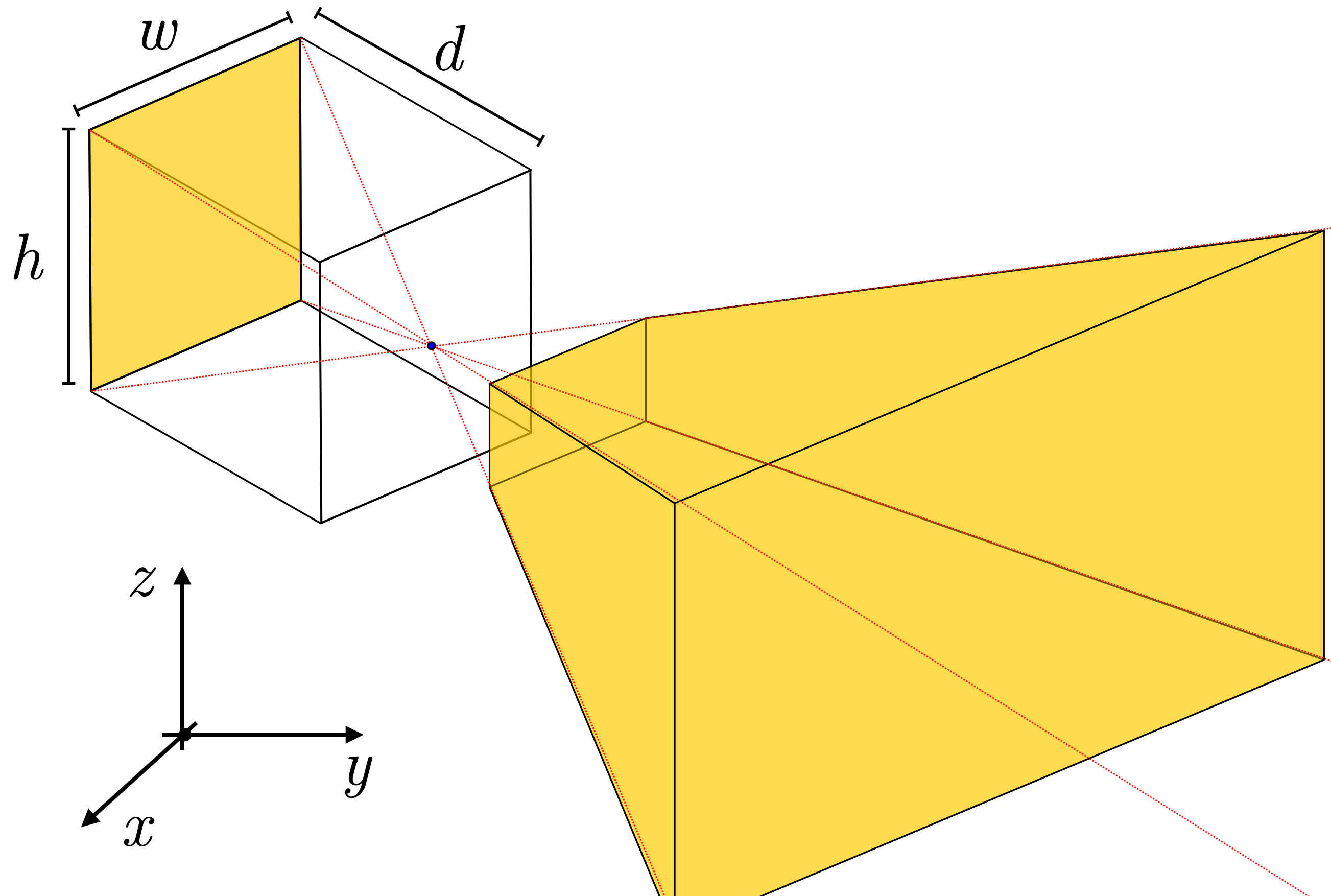
- define um referencial de coordenadas
- define uma orientação
- podemos definir um background ou
- uma luz ambiente



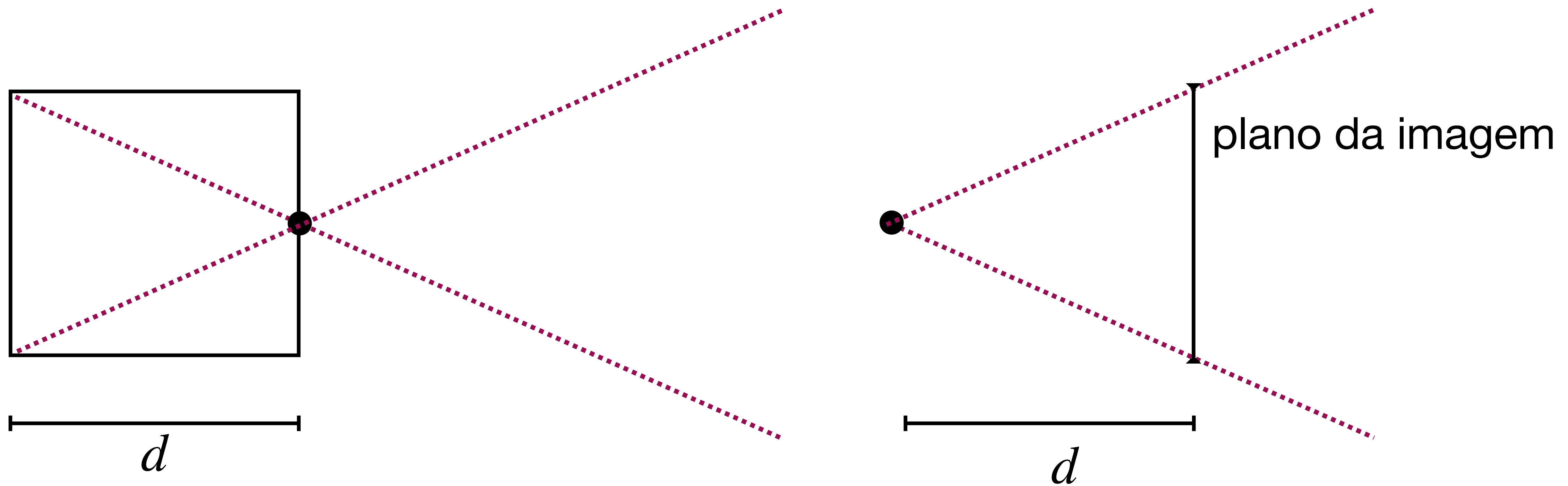
# Camera parâmetros extrínsecos



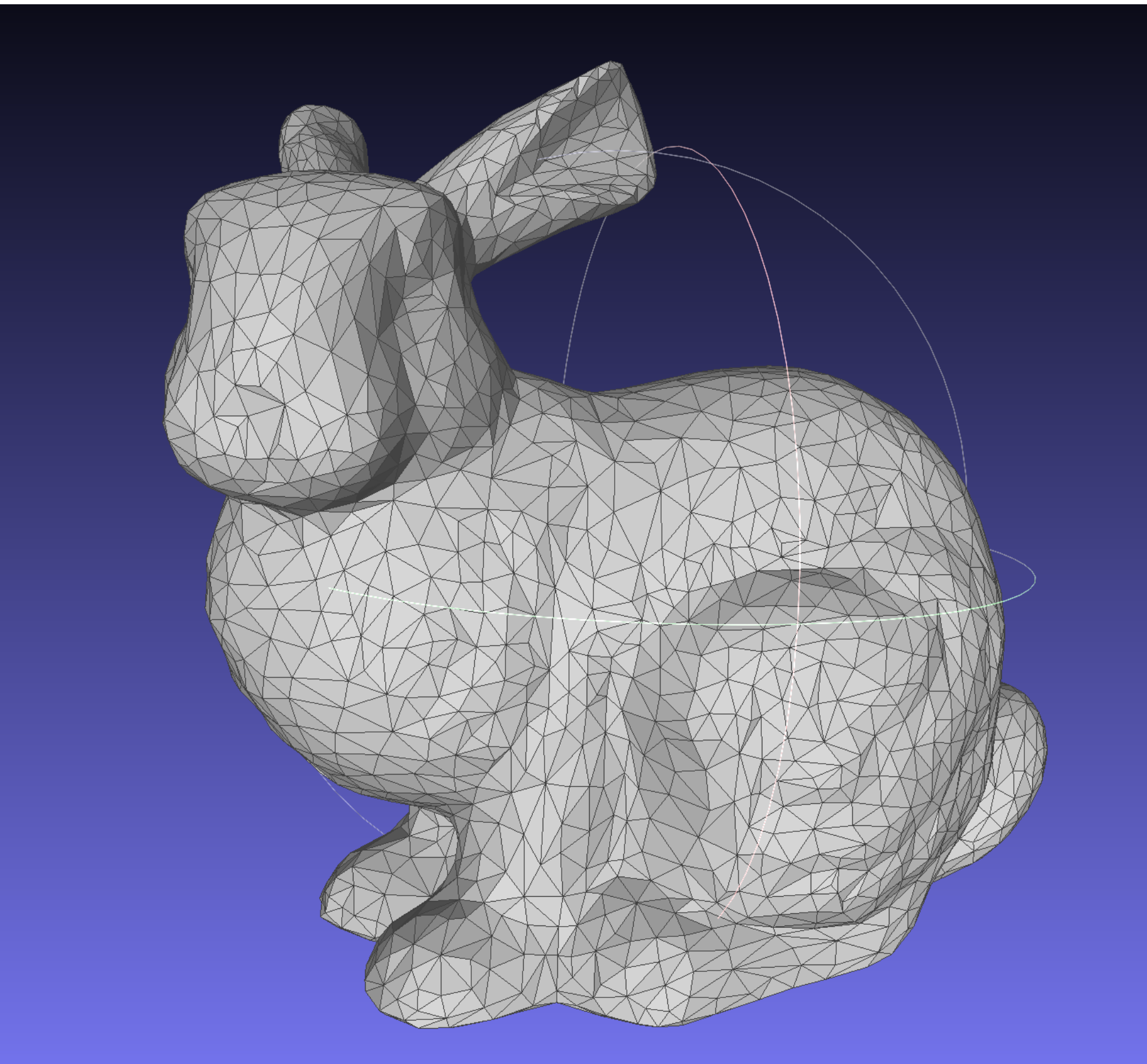
# Camera parâmetros intrínsecos



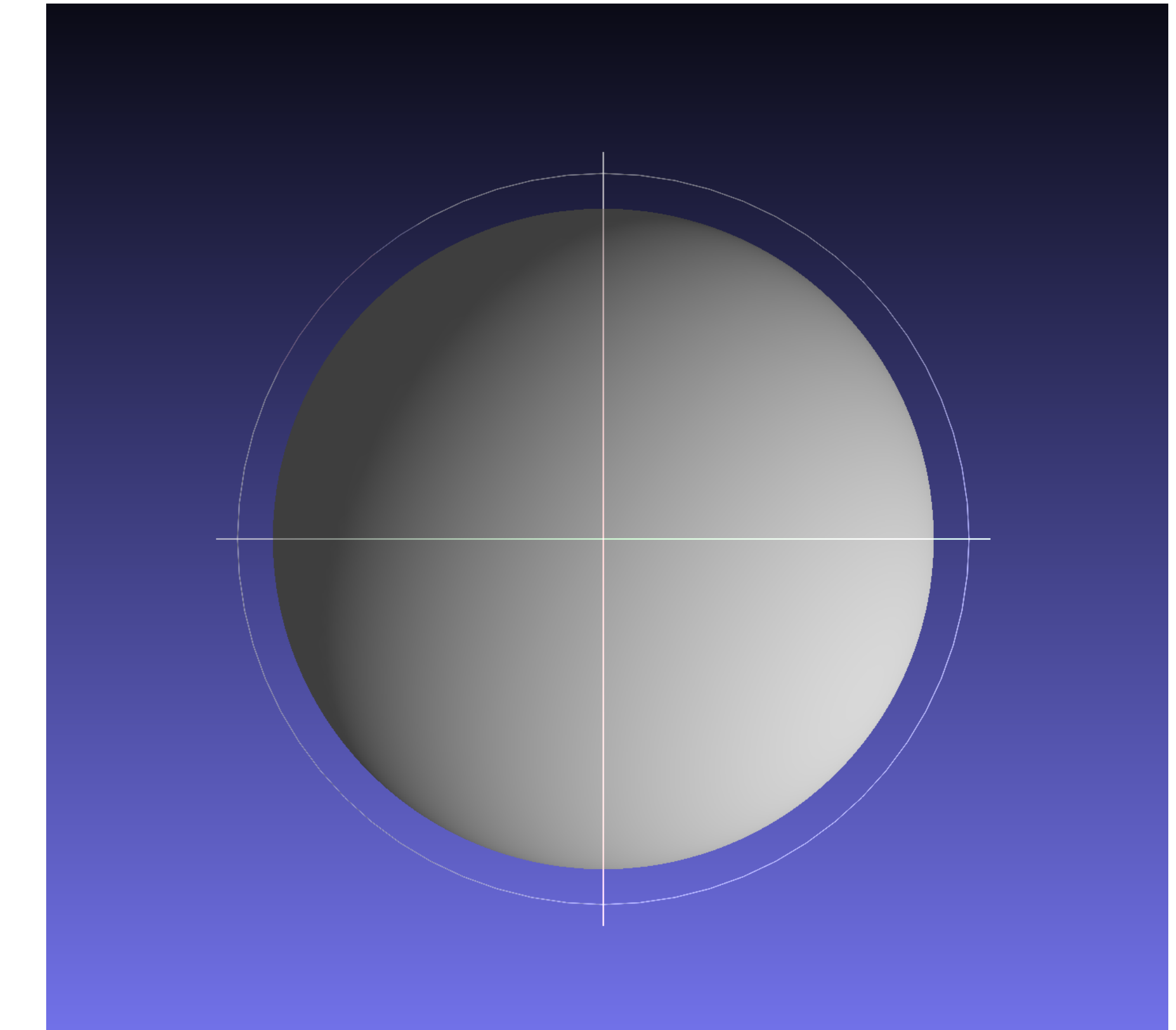
# Camera parâmetros intrínsecos



# Objetos



malha de triângulos

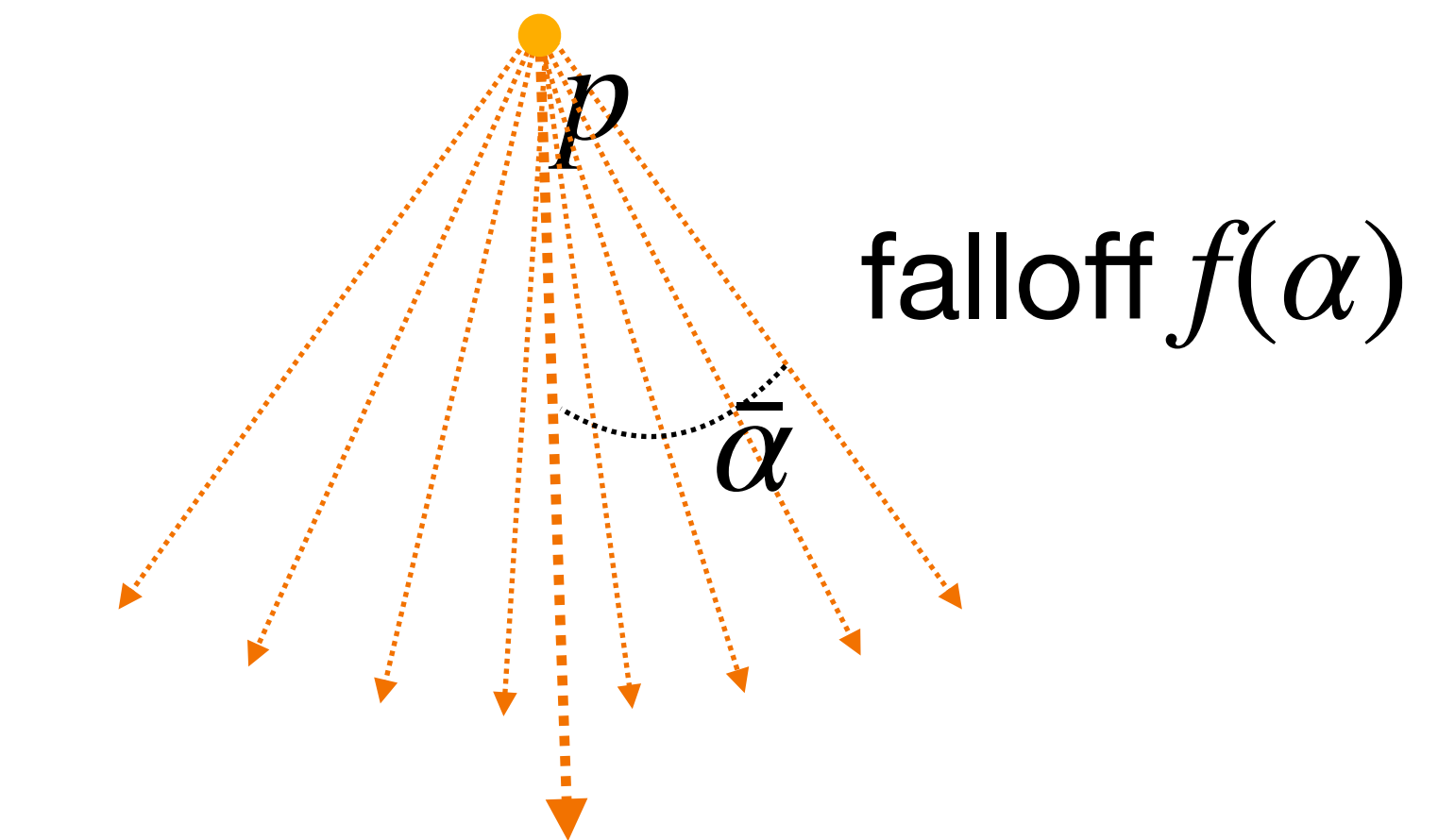
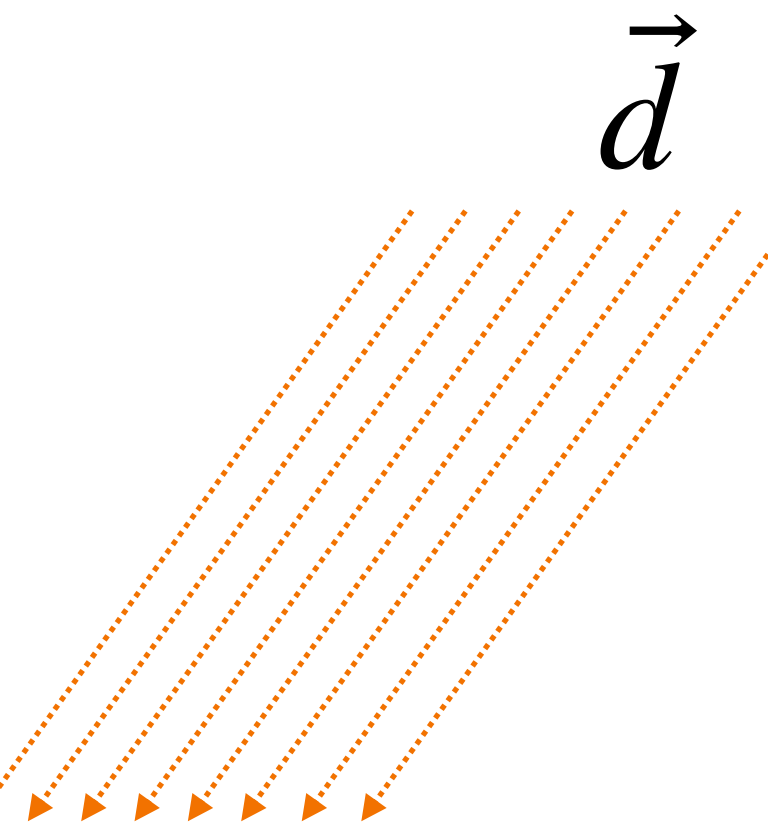
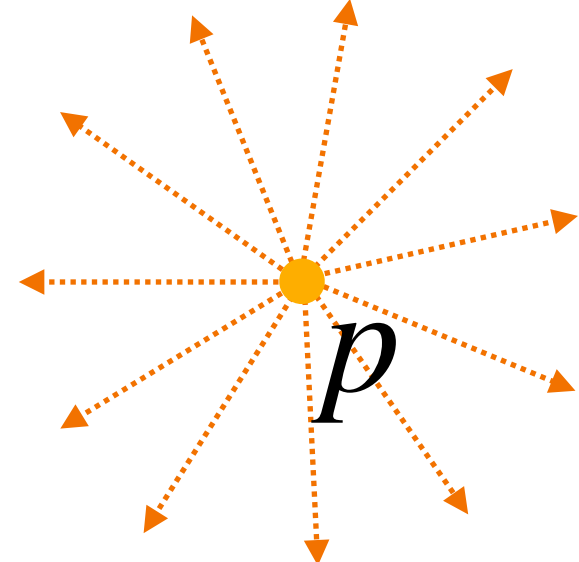


$f(x, y, z) = x^2 + y^2 + z^2 - 1 \leq 0$   
funções implícitas

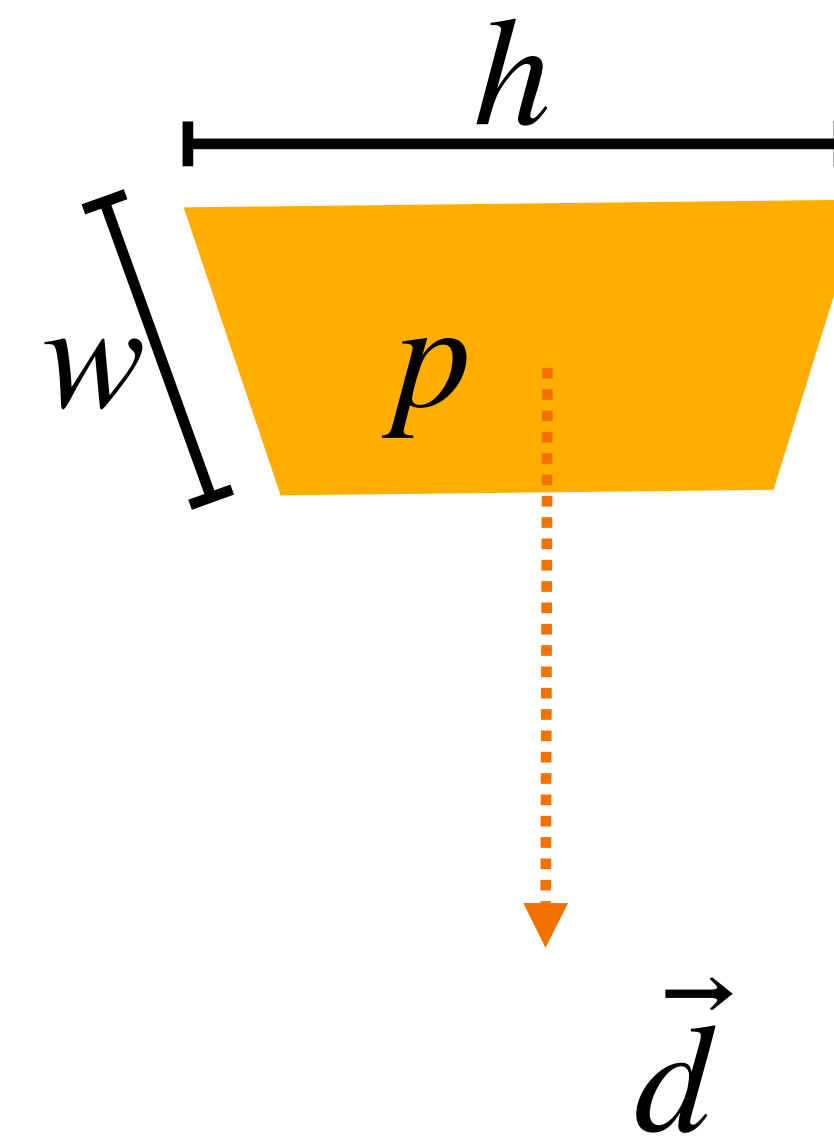
# Materiais



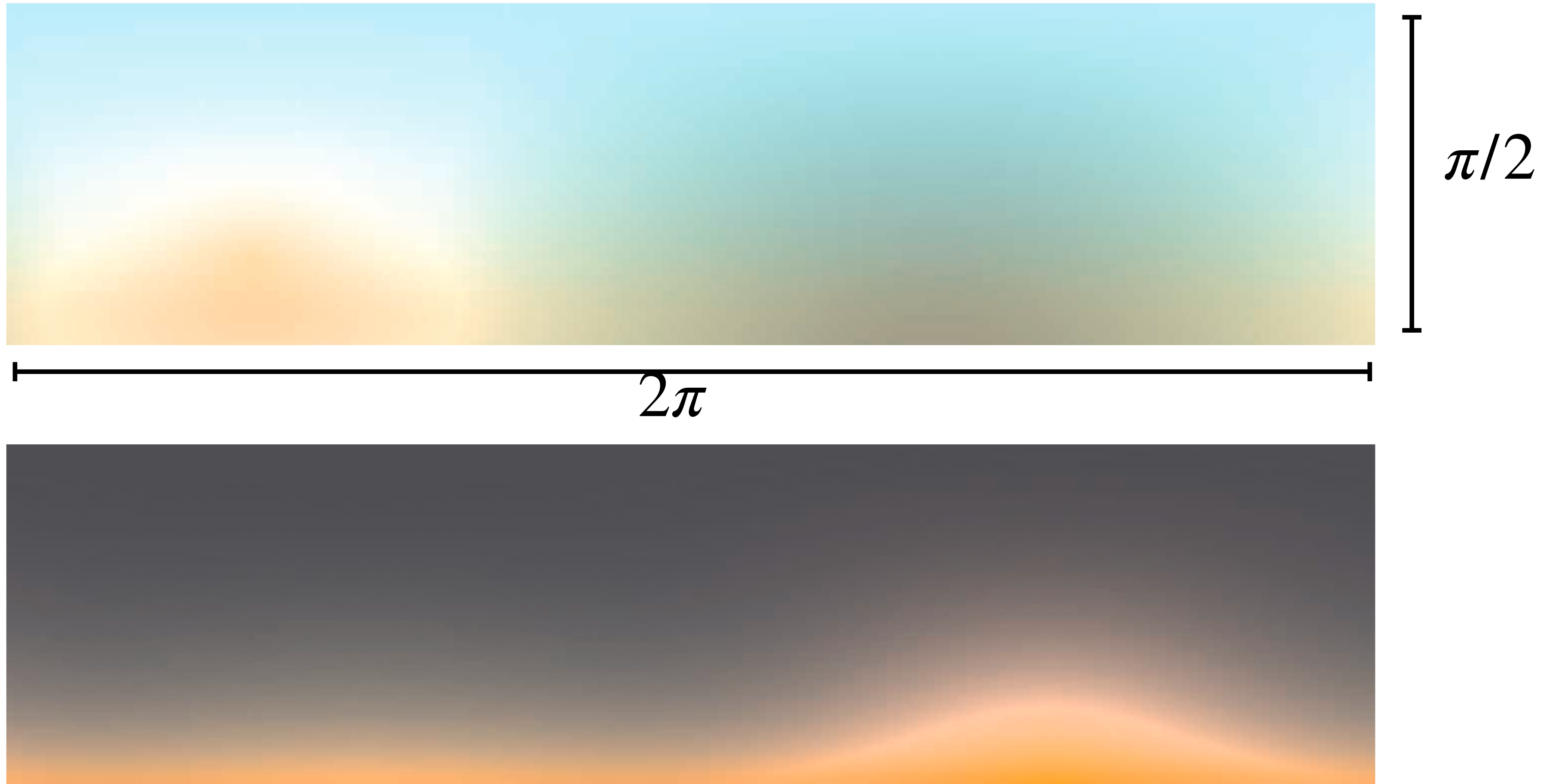
# Fontes de Luz



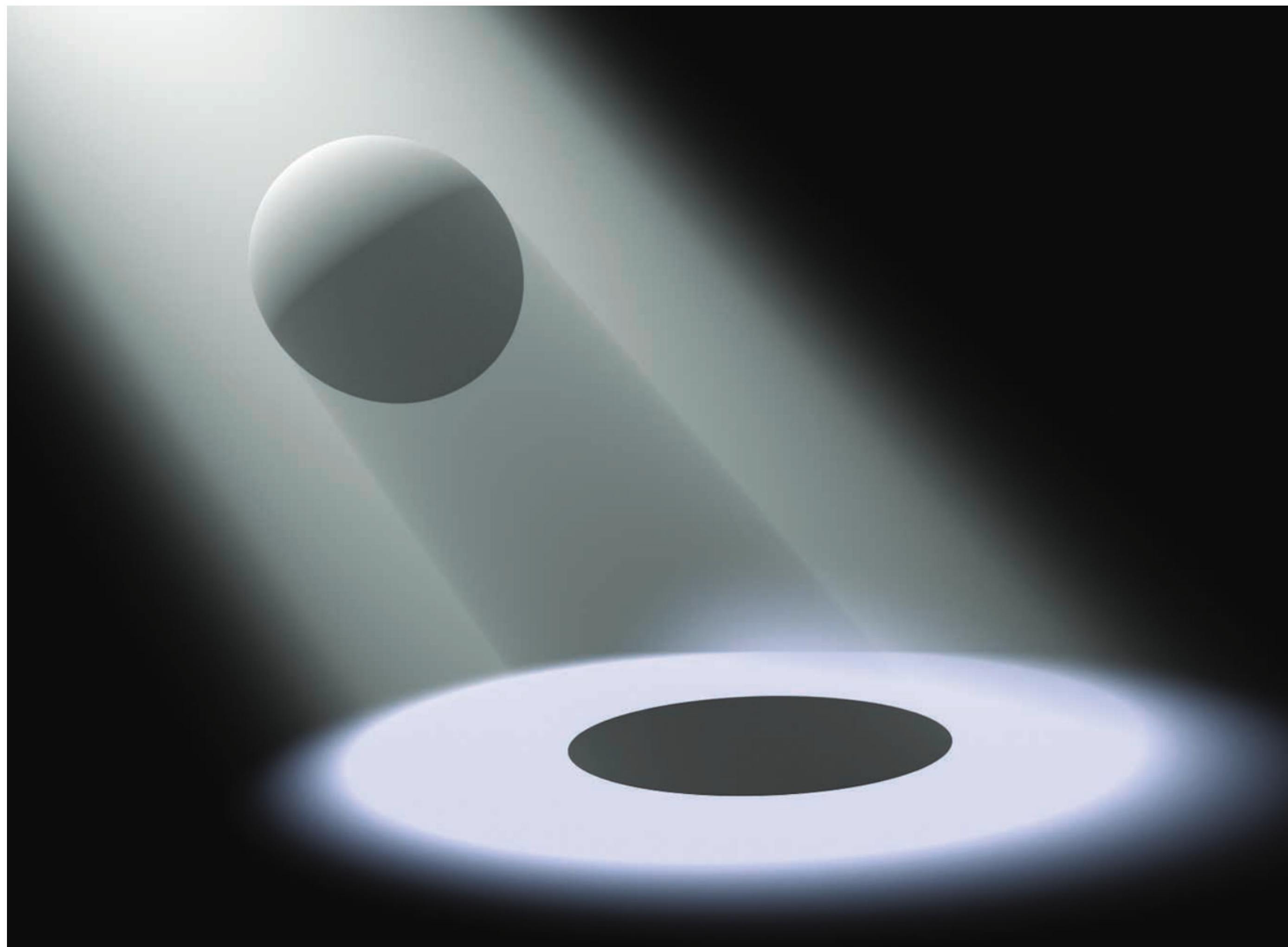
# Area Light



# Environment Mapping



# Participação do Meio



# Câmera Virtual

## definindo o referencial

Usaremos os seguintes parâmetros:

1.  $e$  : posição
2.  $l$  : ponto a ser visto
3.  $up$  : direção “para cima” provisória

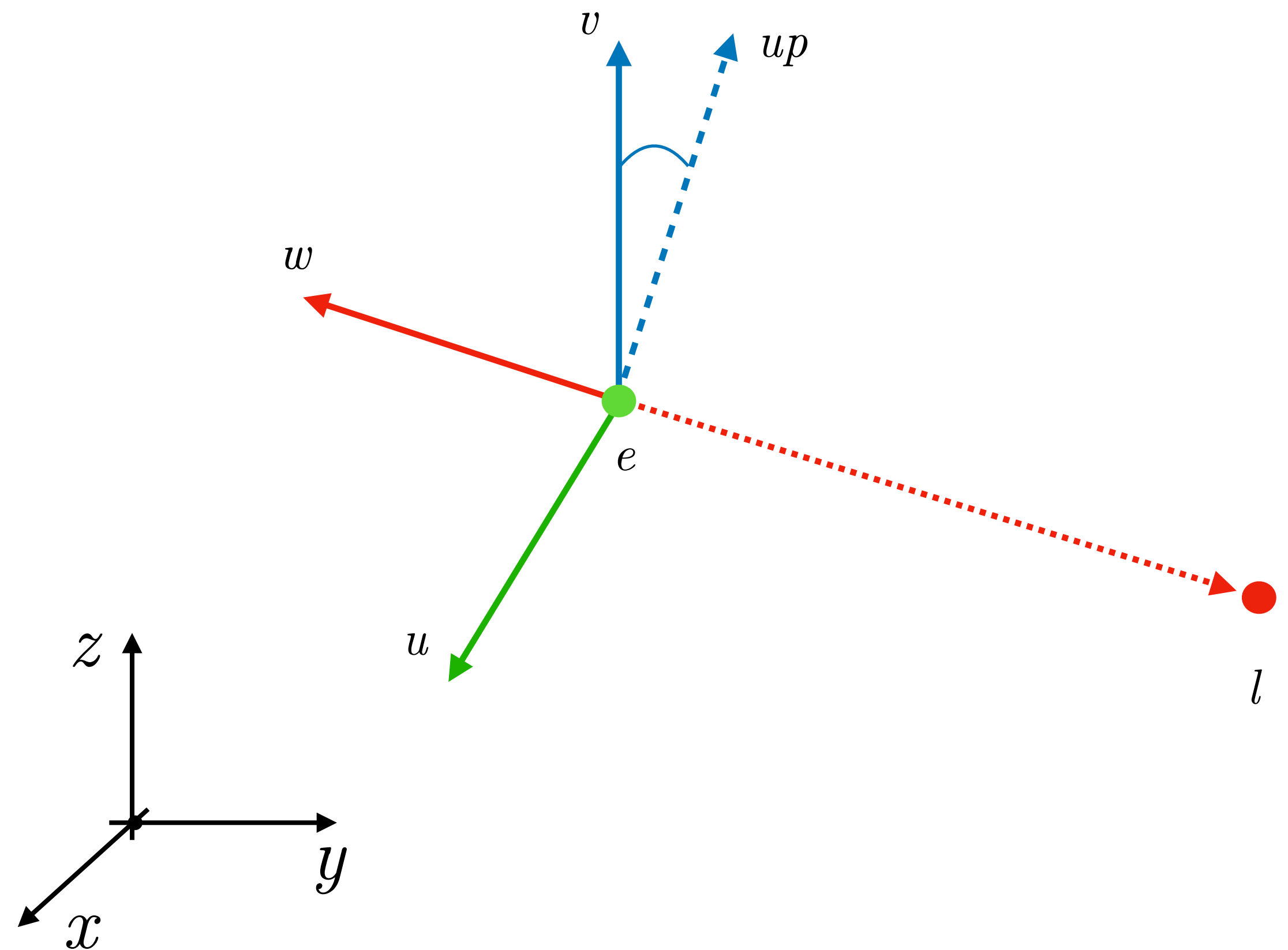
Temos

$$up = \text{normalize}(up)$$

$$w = \text{normalize}(e - l)$$

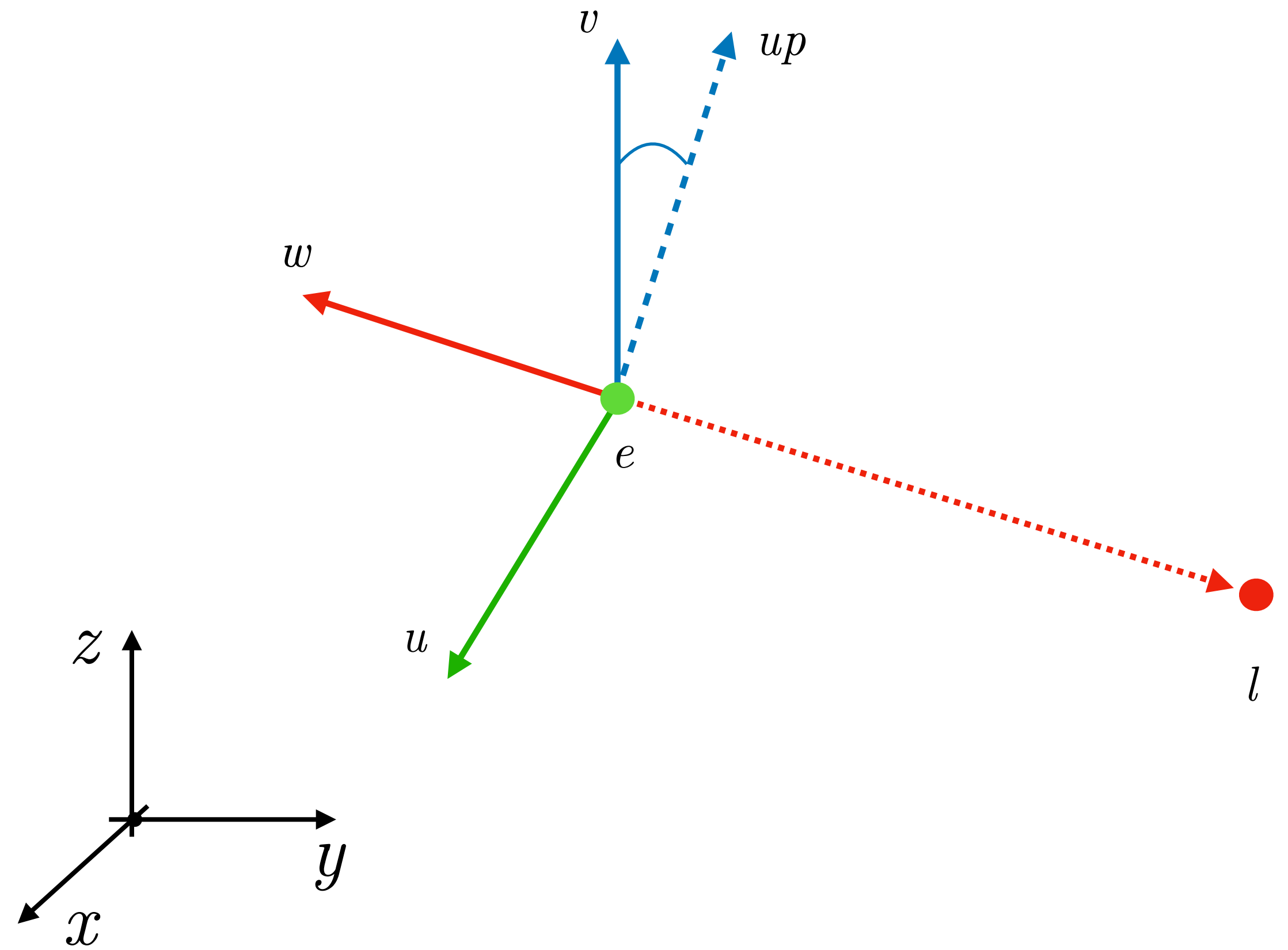
$$u = up \times w$$

$$v = w \times u$$



# Câmera Virtual

## plano da imagem



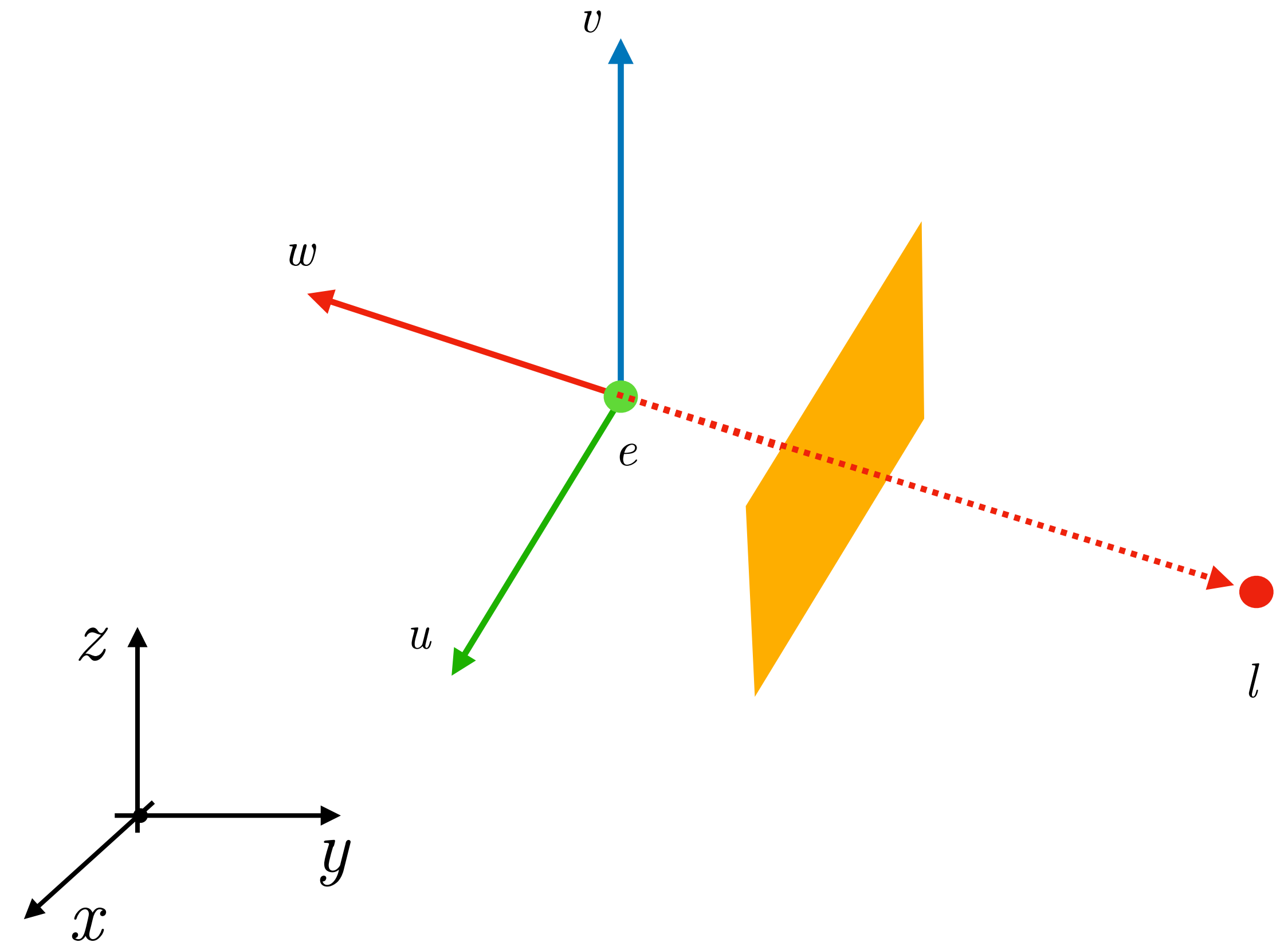
# Câmera Virtual

## plano da imagem

Queremos definir o *filme*.

Temos os seguintes parâmetros:

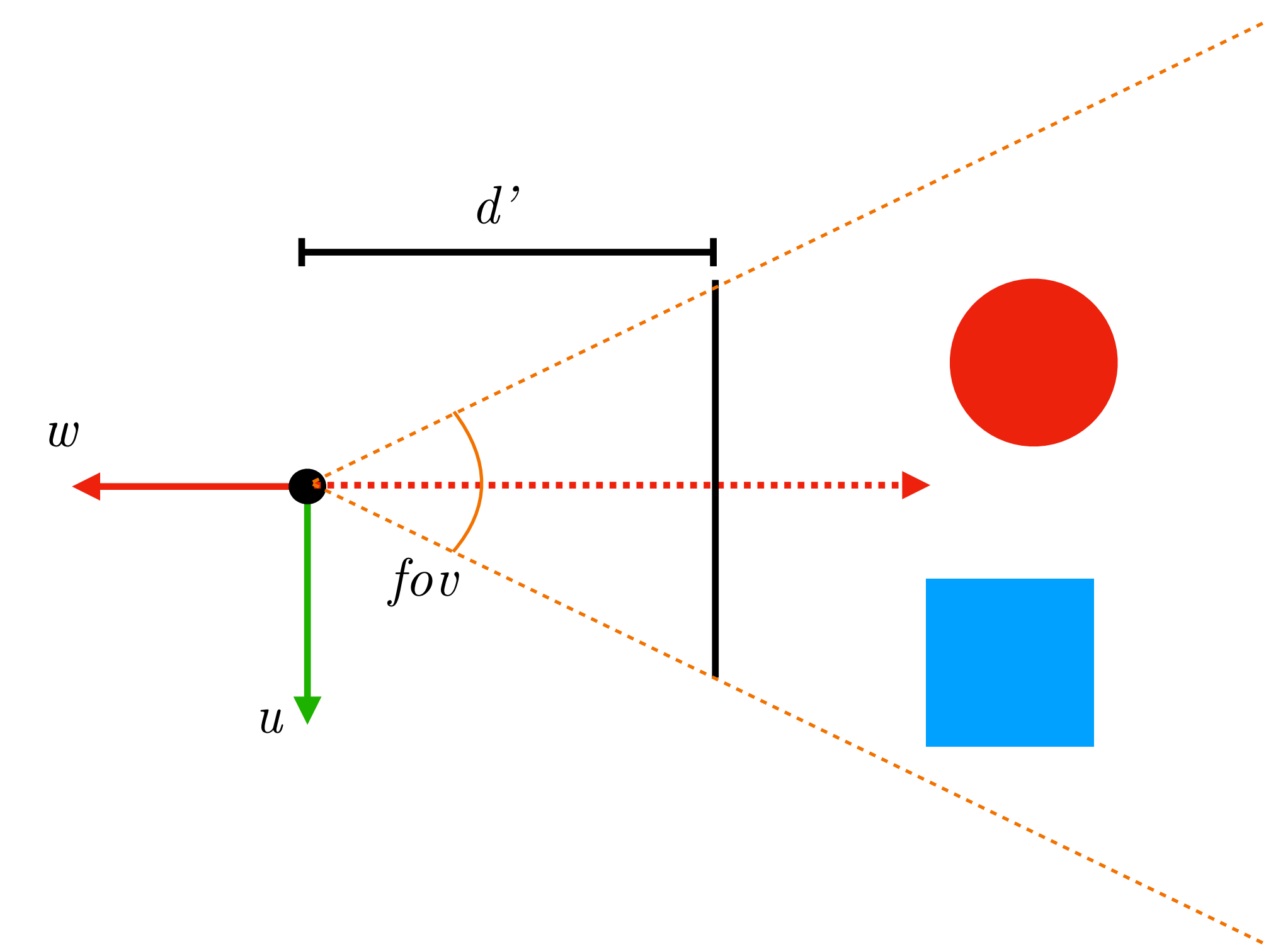
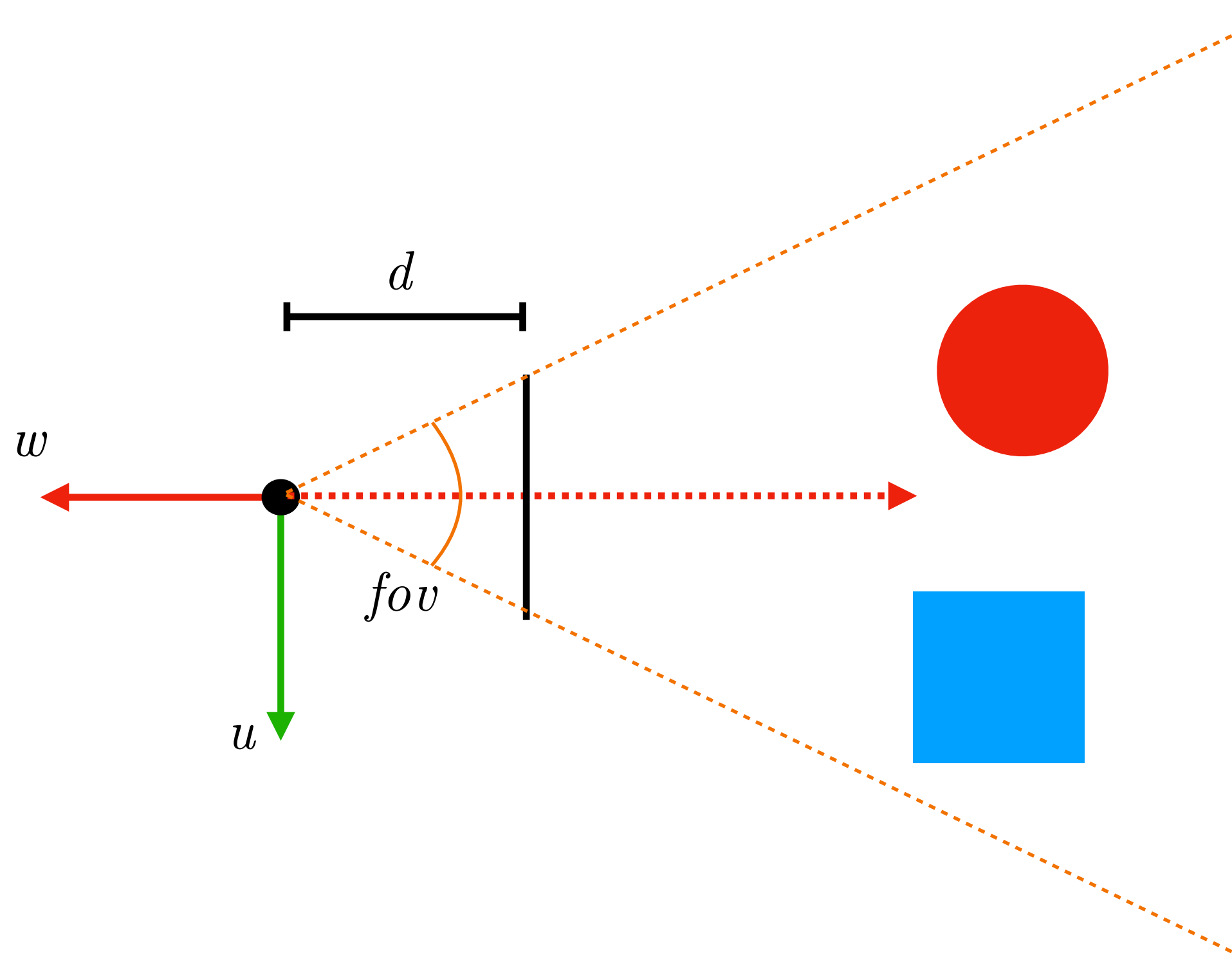
1.  $fov$  : abertura horizontal
2. resolução da imagem



# Câmera Virtual

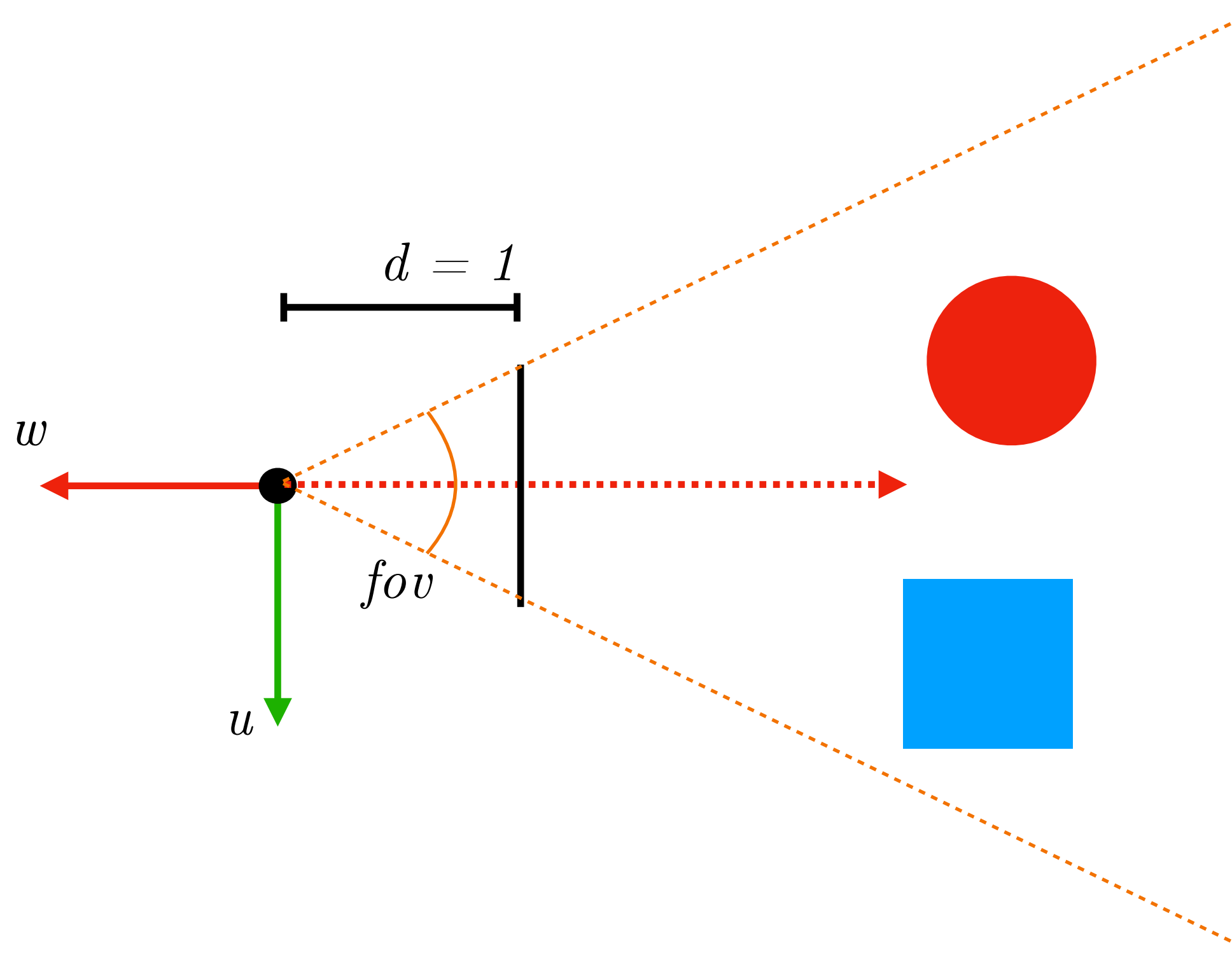
## plano da imagem

mudando  $d$  para  $d'$  temos a mesma  
imagem



# Câmera Virtual

## plano da imagem



Temos:

1. Imagem é  $H \times W$
2.  $d = 1$

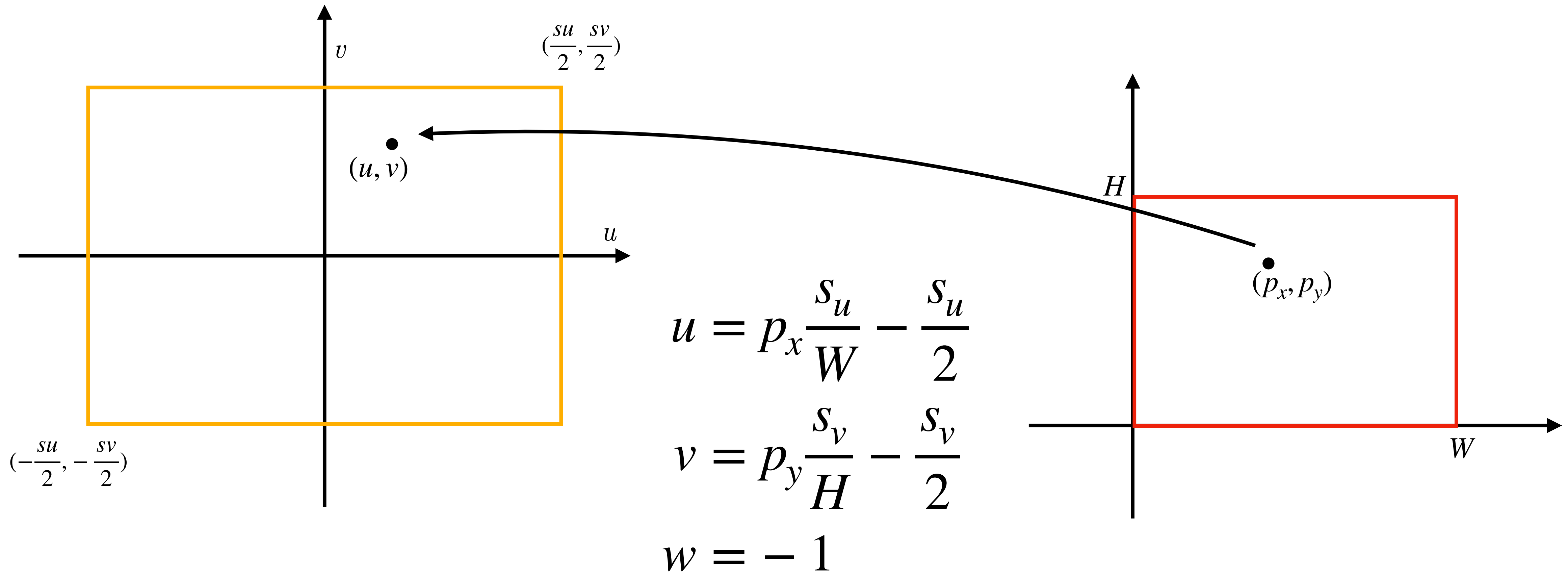
Calculamos :

$$ar = \frac{H}{W}$$

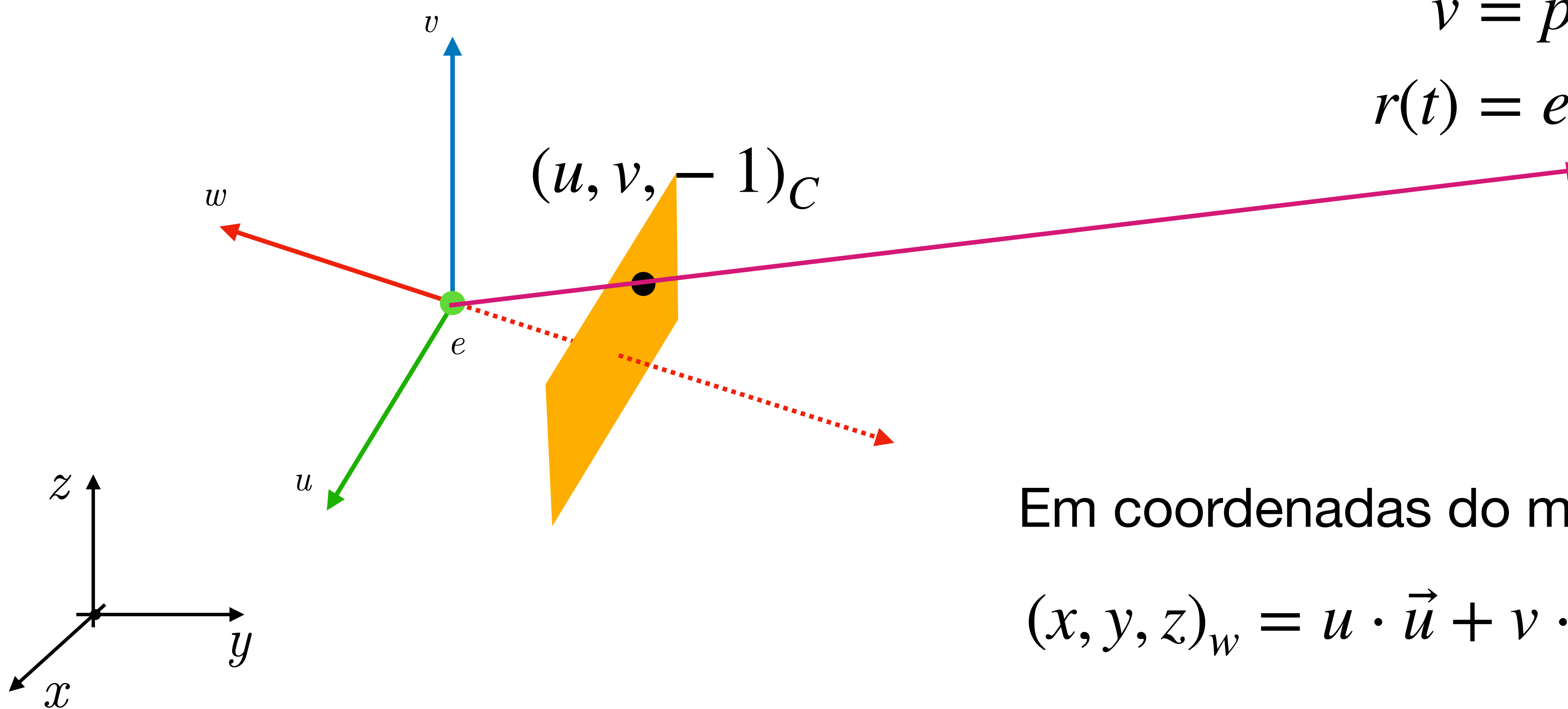
$$s_u = 2 \tan(fov/2)$$

$$s_v = s_u * ar$$

# Câmera Virtual



# Calculando raios



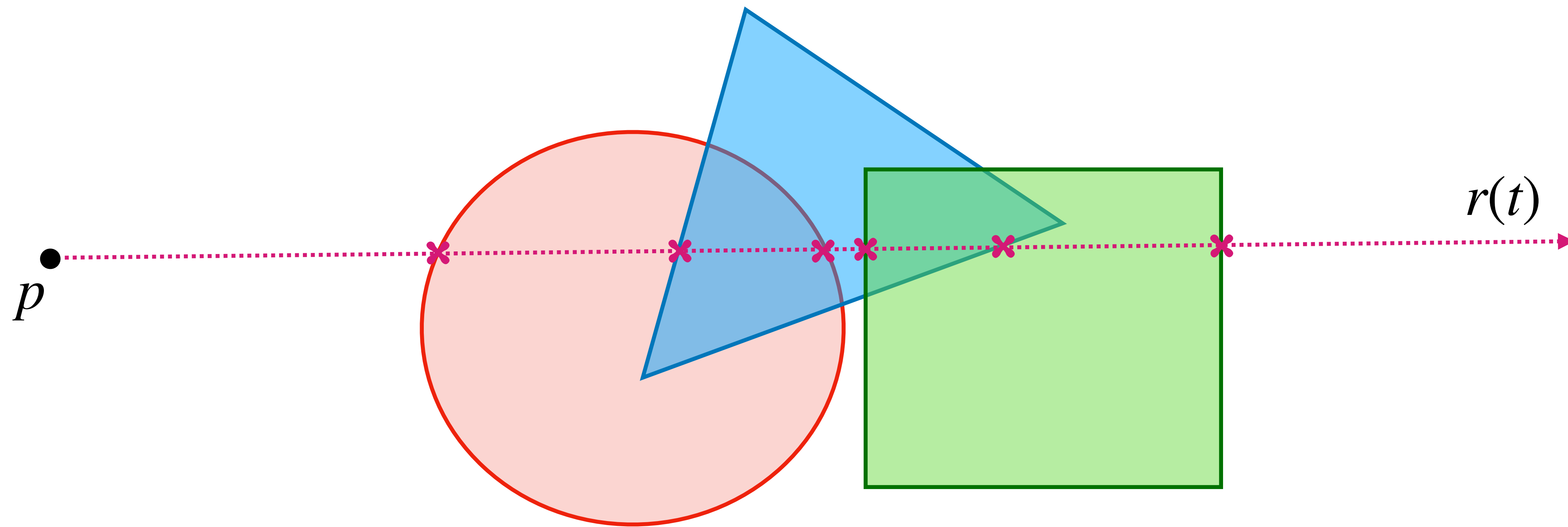
$$v = p_w - e$$

$$r(t) = e + v \cdot t$$

Em coordenadas do mundo

$$(x, y, z)_w = u \cdot \vec{u} + v \cdot \vec{v} - 1 \cdot \vec{w}$$

# Intersecção de raio e objetos



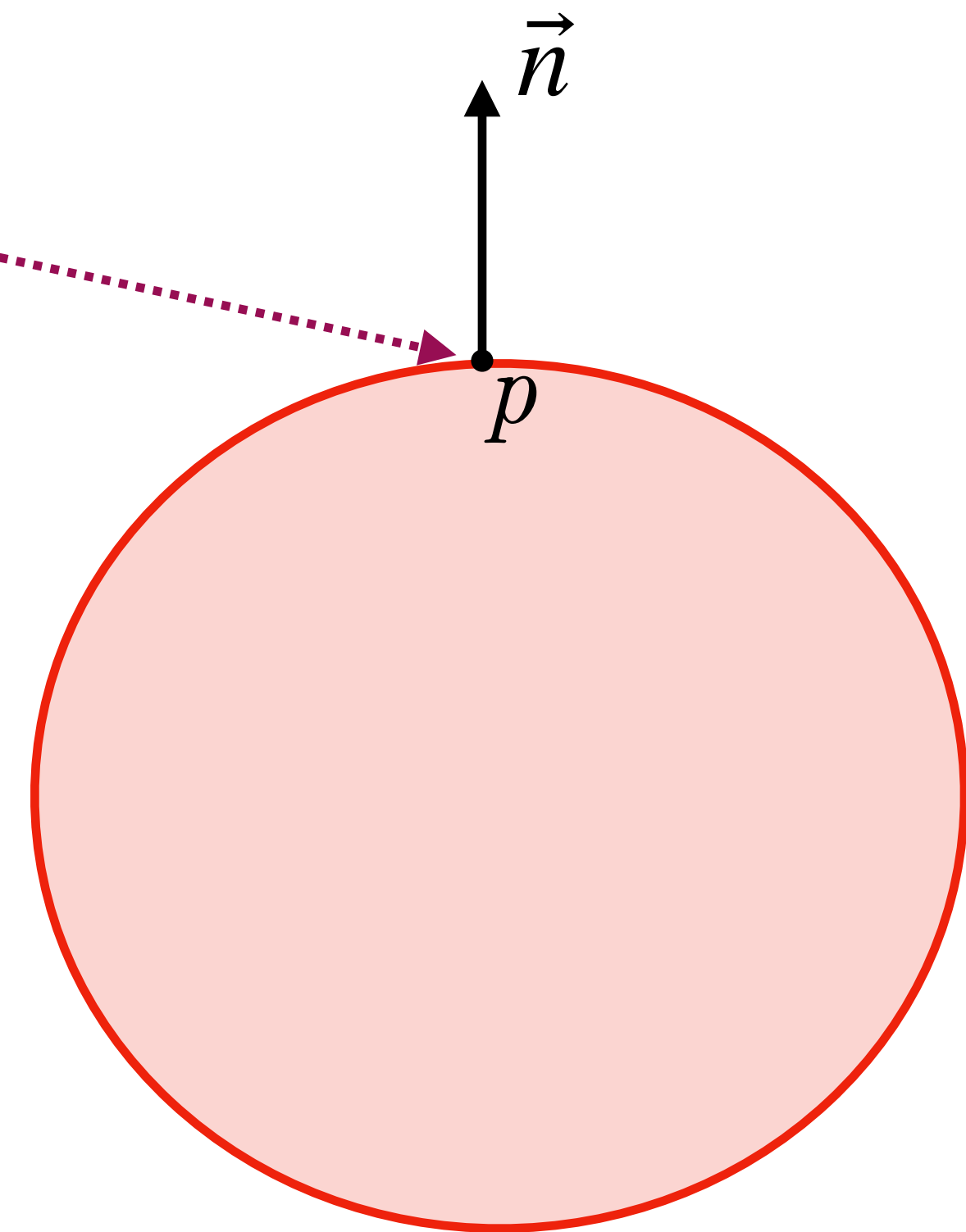
# Objetos

Precisamos saber encontrar  $\vec{n}$  para  $p$  no objeto

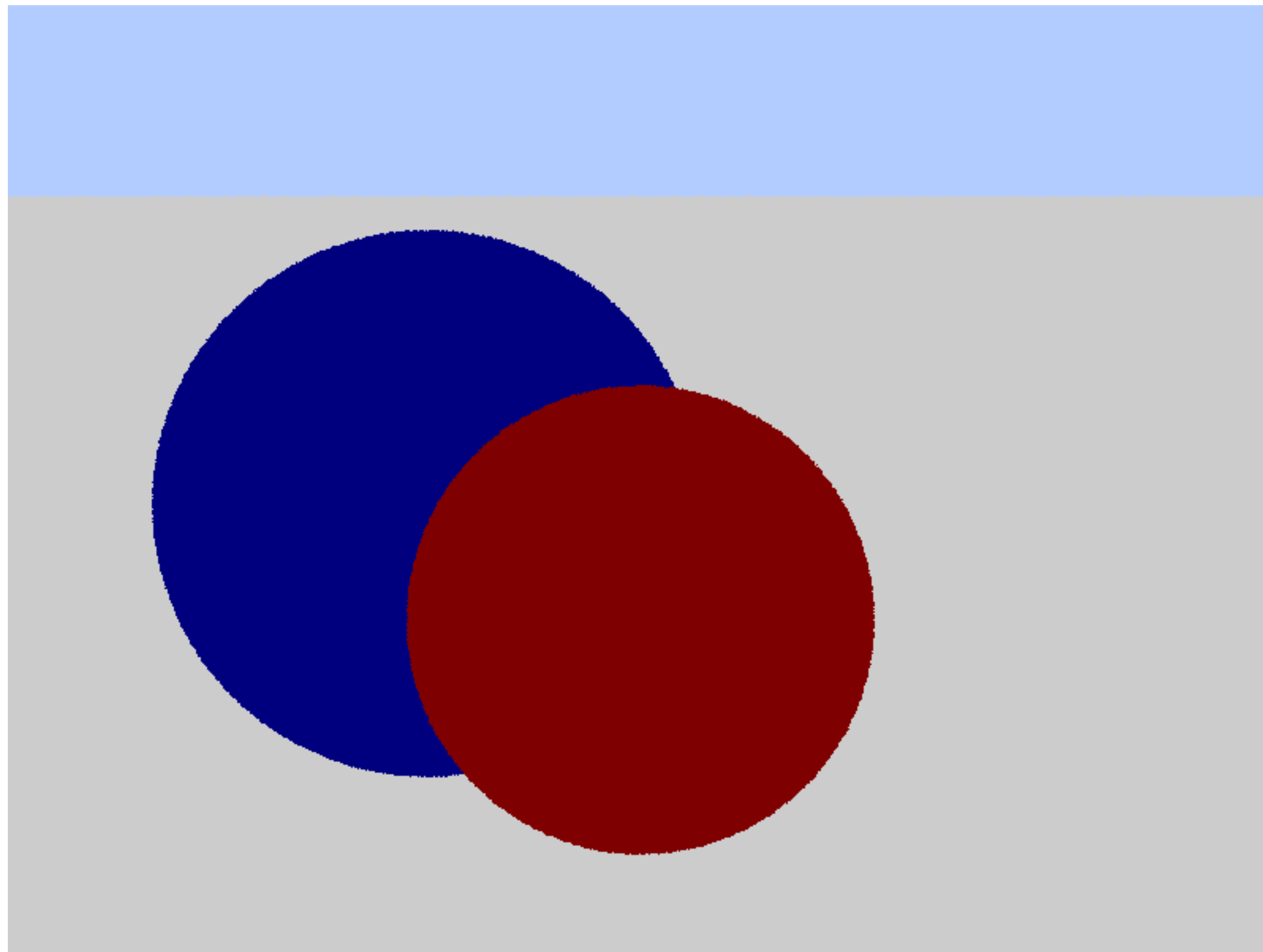
Se o modelo é implícito, então

$$\vec{n} = \frac{\nabla F(p)}{|\nabla F(p)|}$$

Por convenção  $\vec{n}$  deve apontar para **fora**

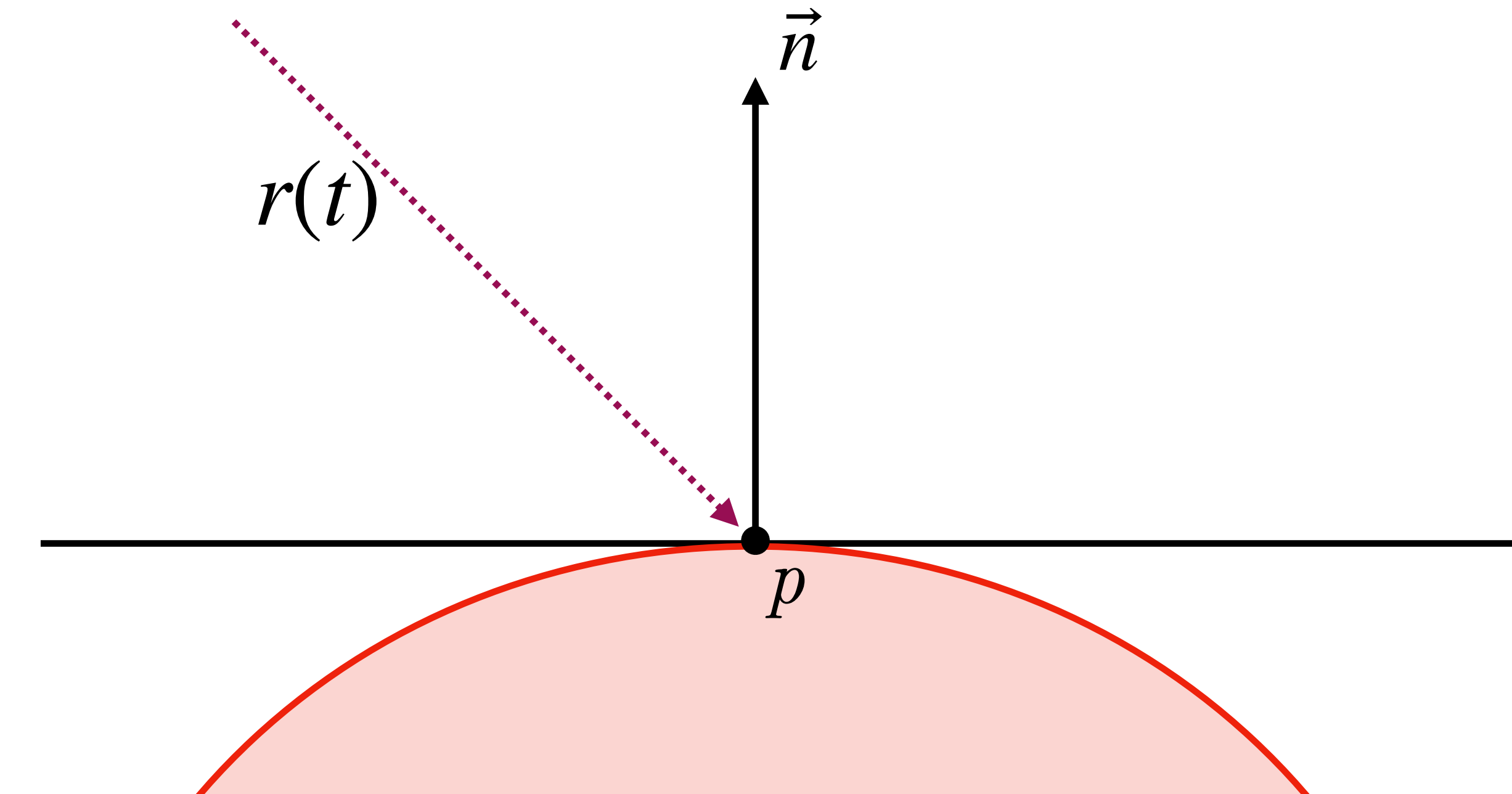


# Primeira versão do render



# Interação entre materiais e luz

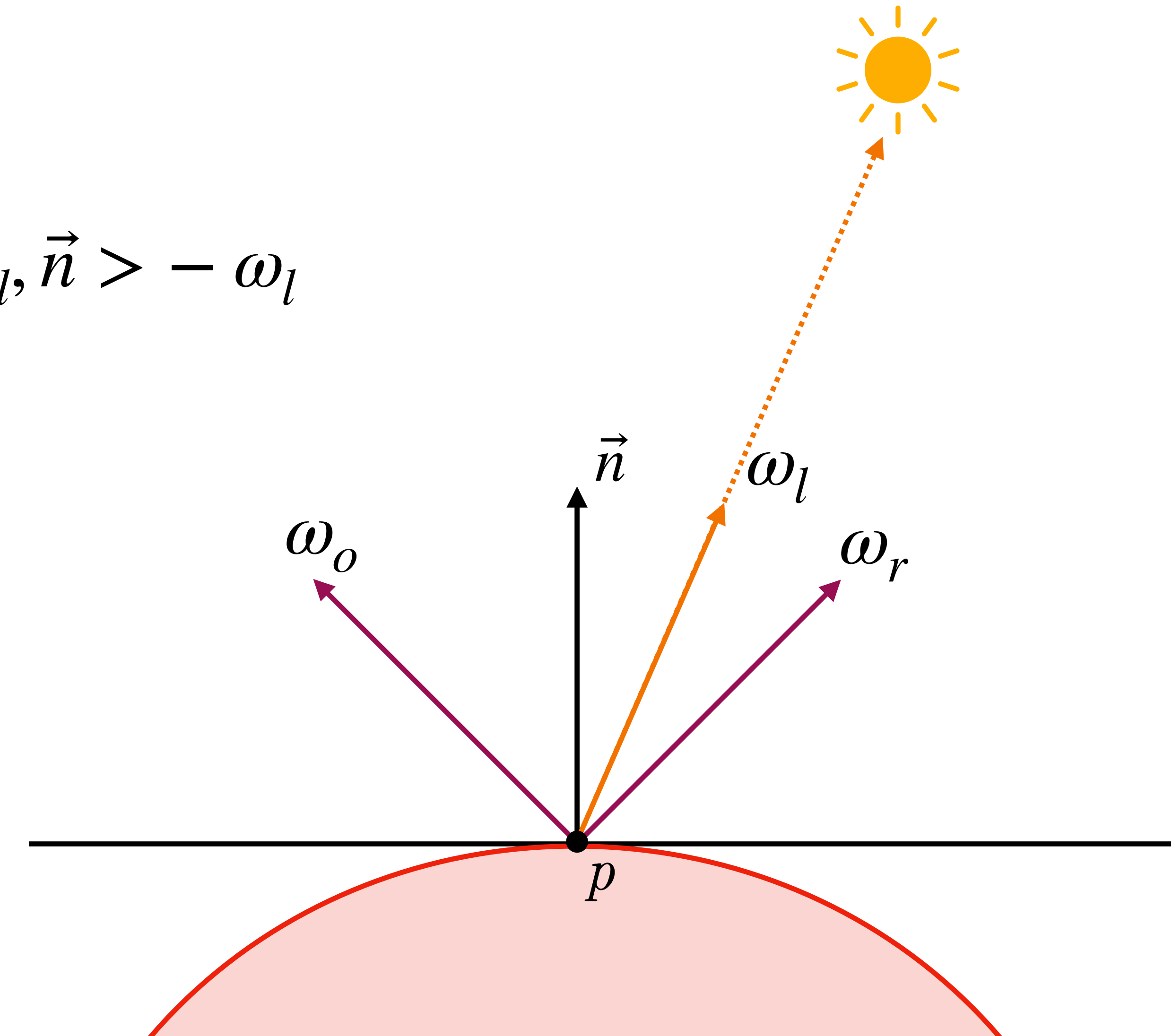
## modelos de iluminação locais



# Interação entre materiais e luz

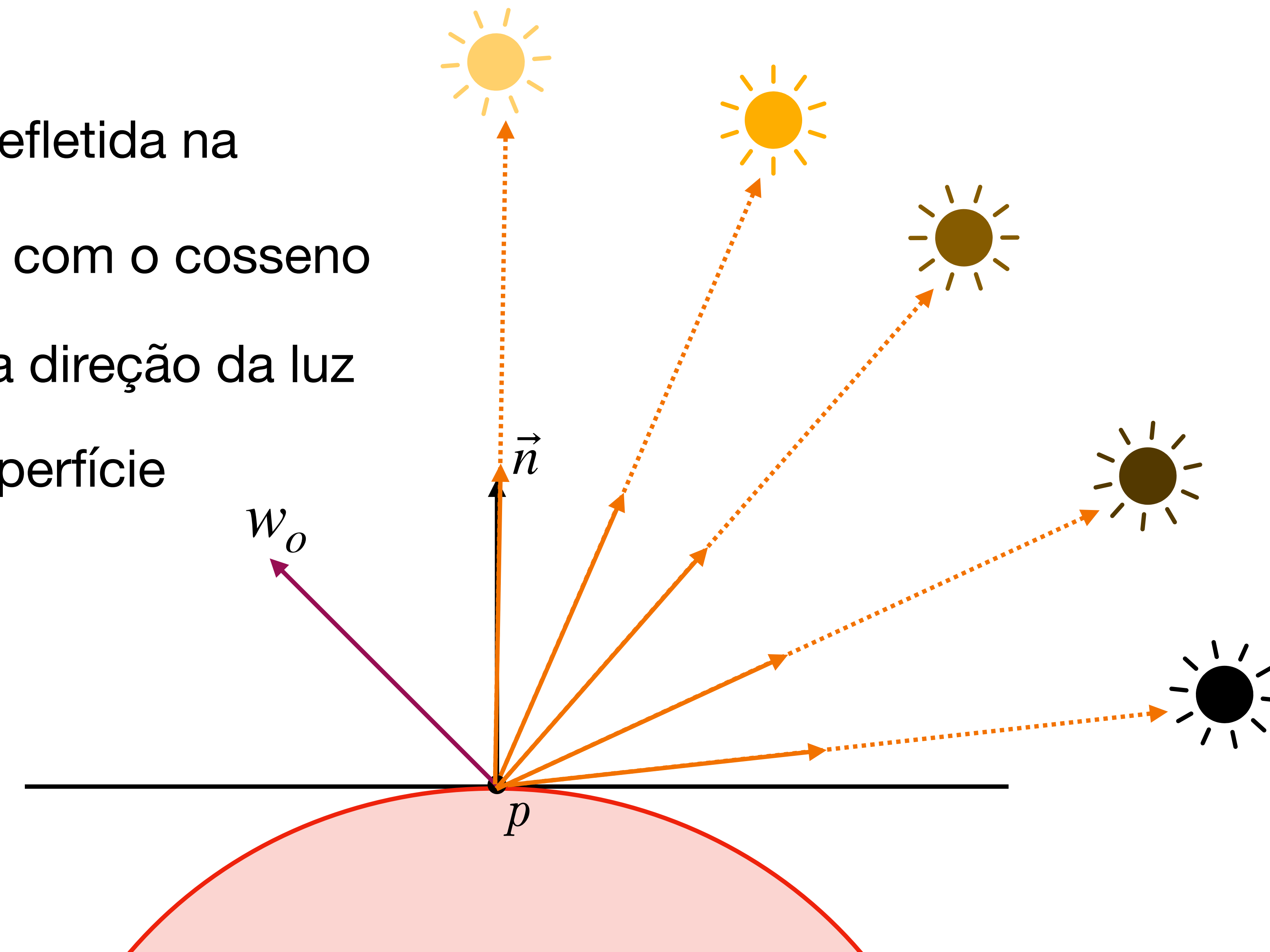
## modelos de iluminação locais

$$\omega_r = 2 \langle \omega_l, \vec{n} \rangle - \omega_l$$

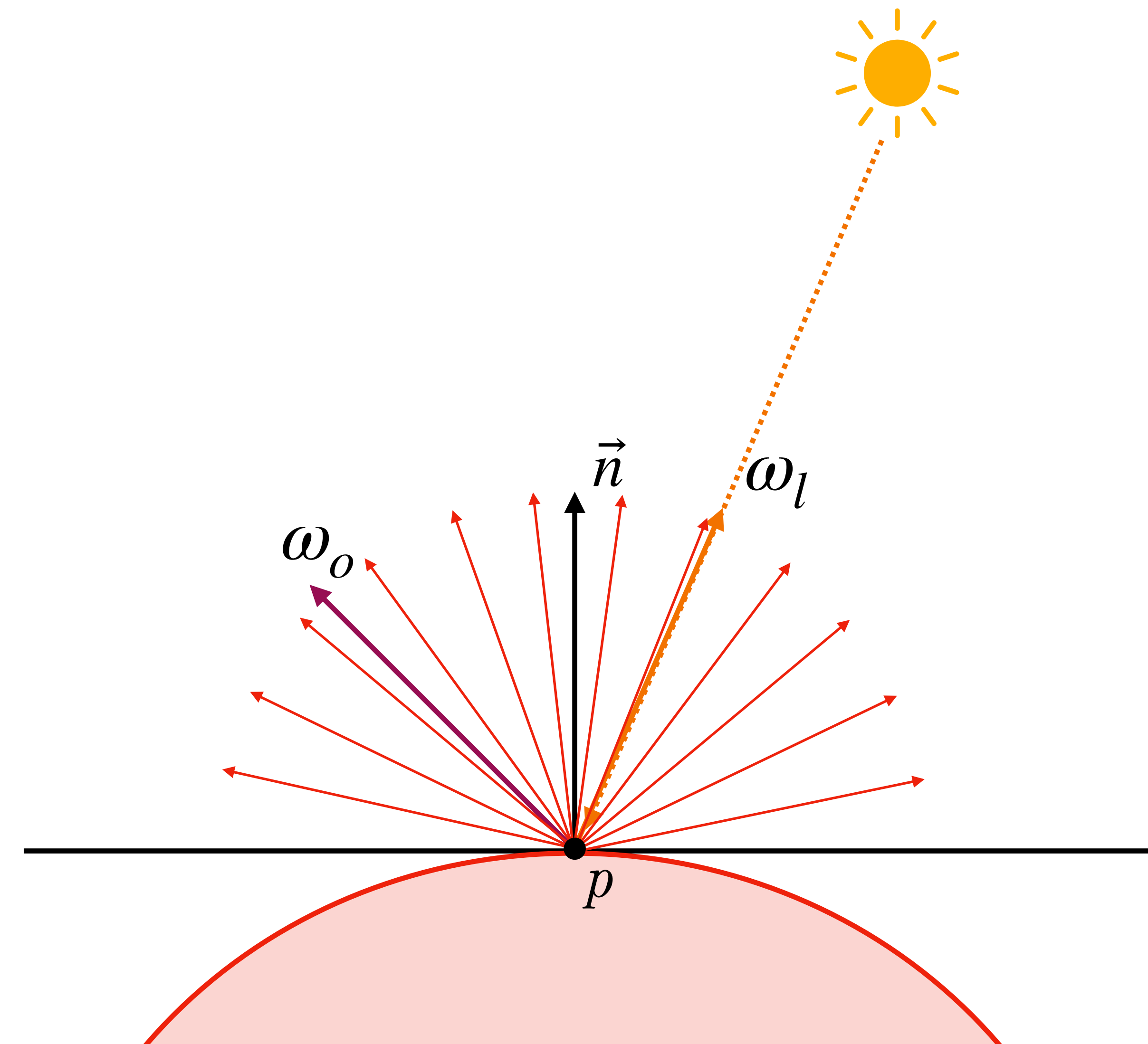


# Lei de Lambert

A luminosidade refletida na direção  $\omega_o$  decai com o coseno do ângulo entre a direção da luz e a normal da superfície

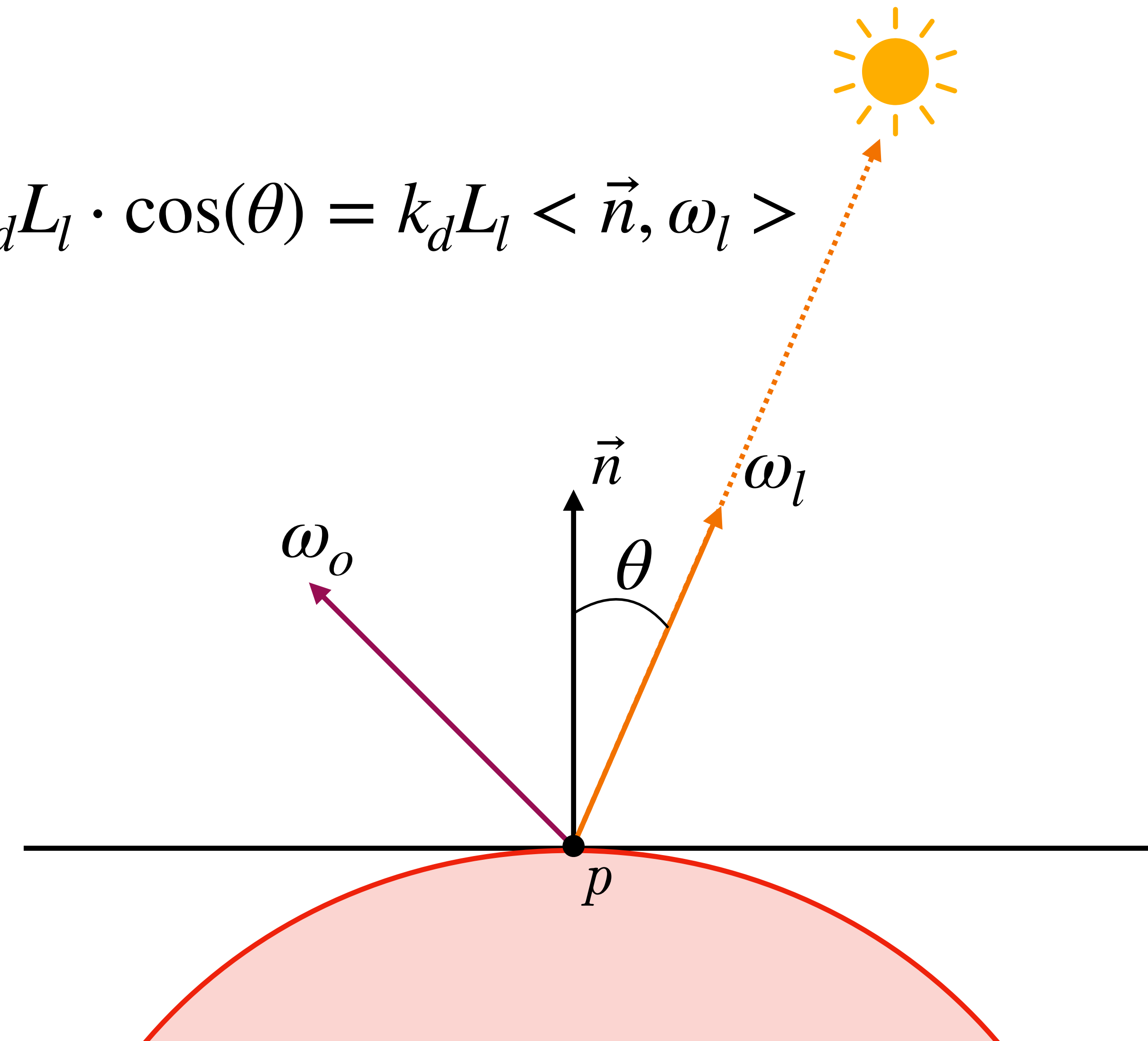


# Reflexão difusa

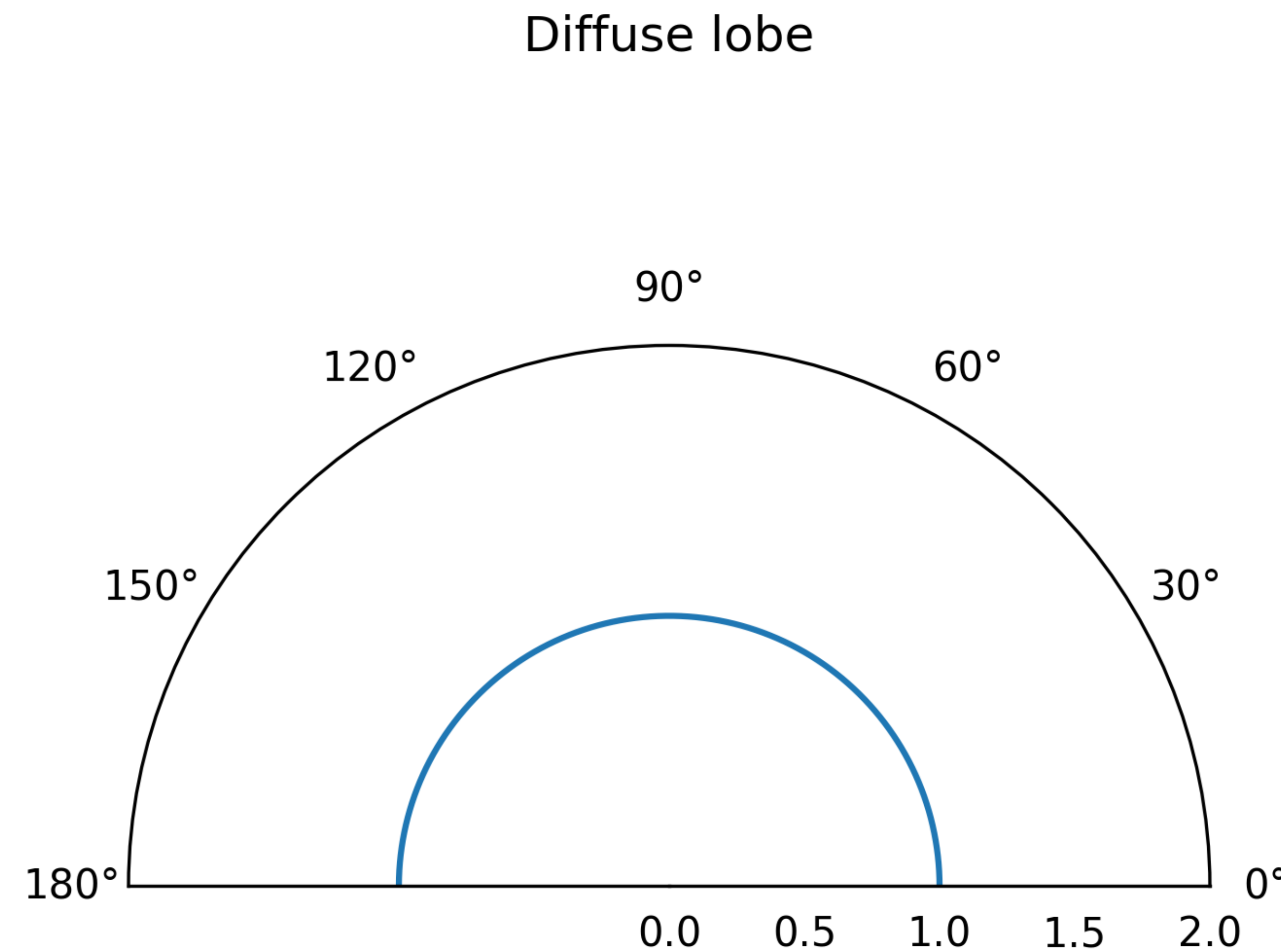


# Reflexão difusa

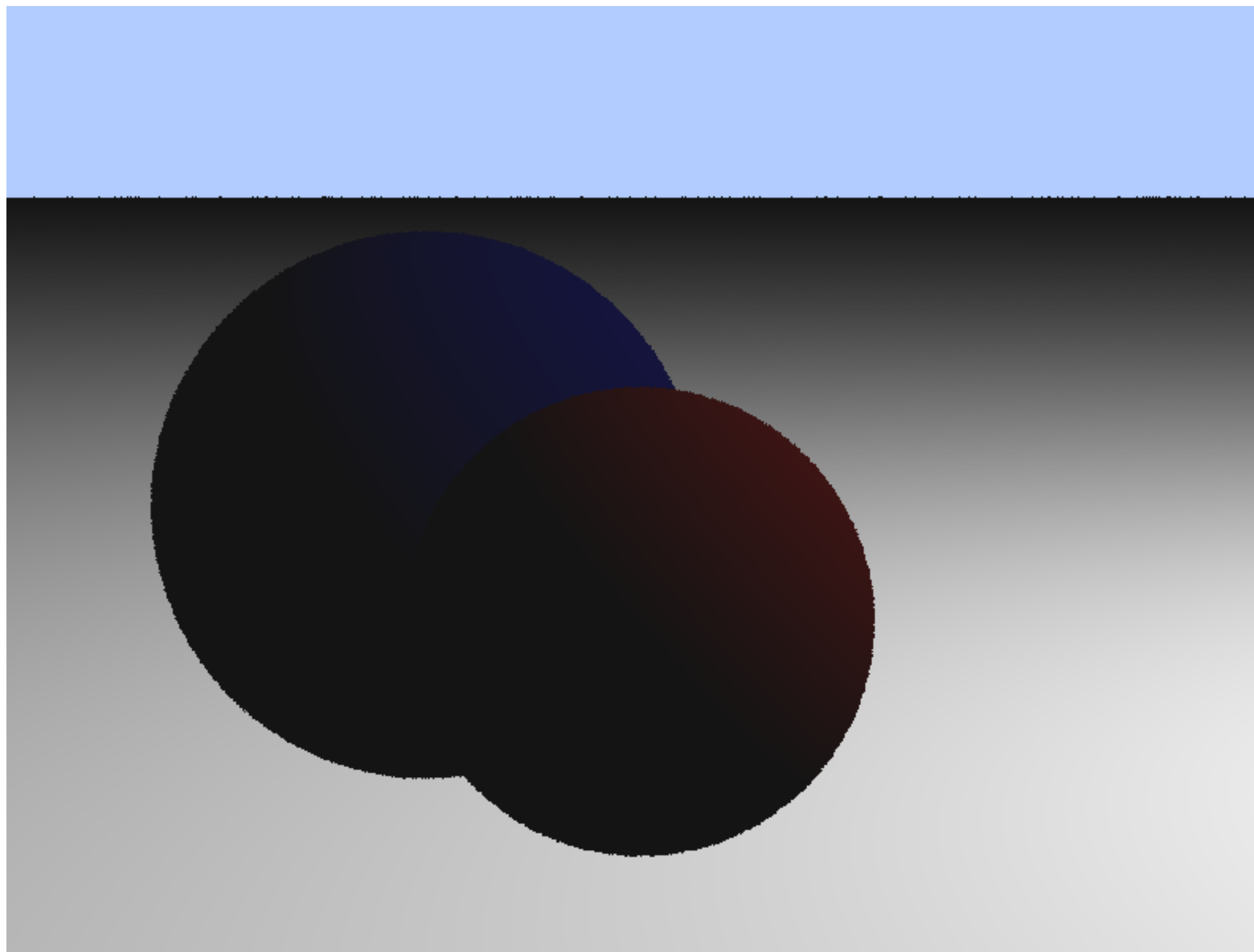
$$L(p, \omega_o) = k_d L_l \cdot \cos(\theta) = k_d L_l \langle \vec{n}, \omega_l \rangle$$



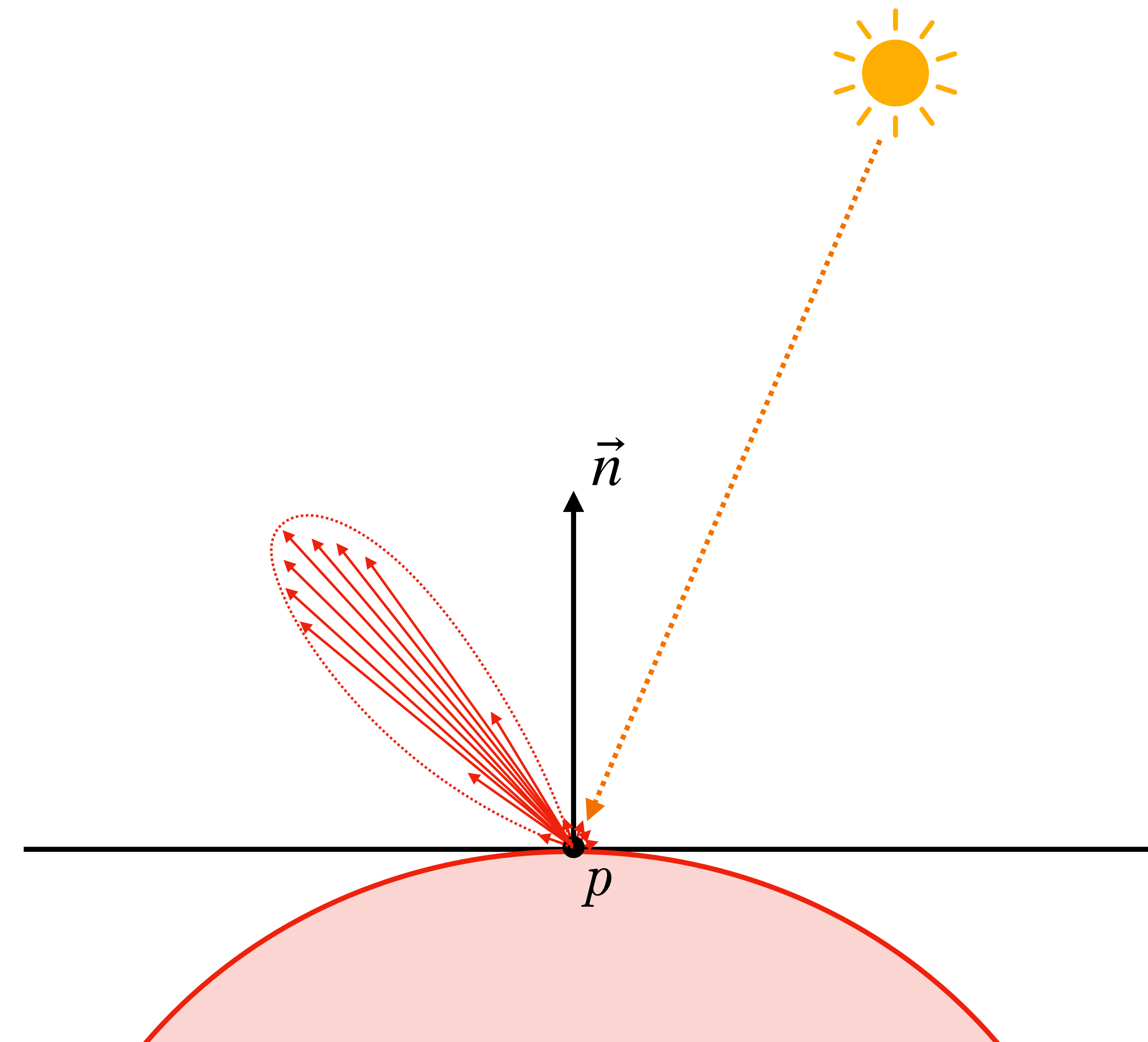
# Distribuição Difusa



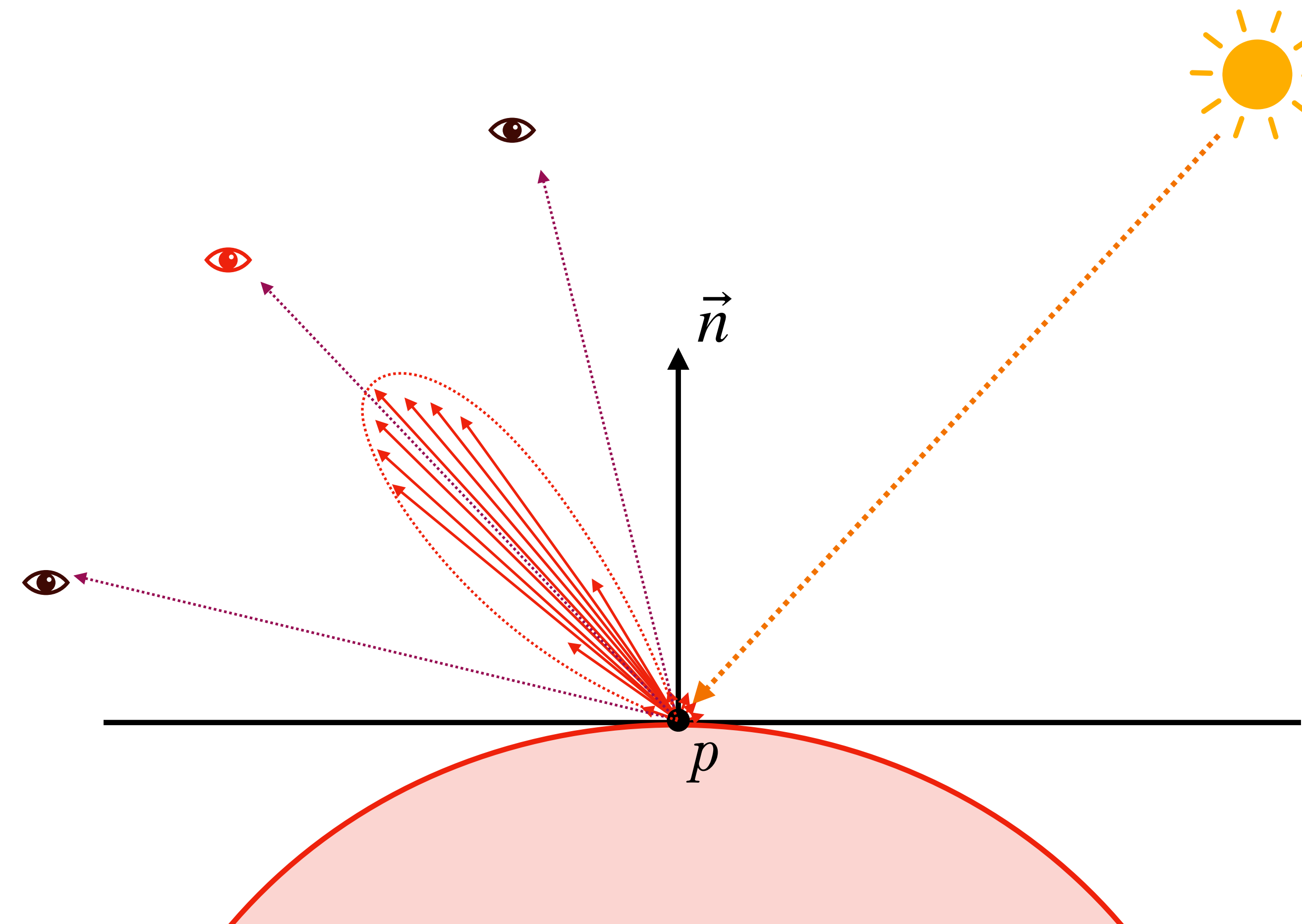
# Exemplo de render



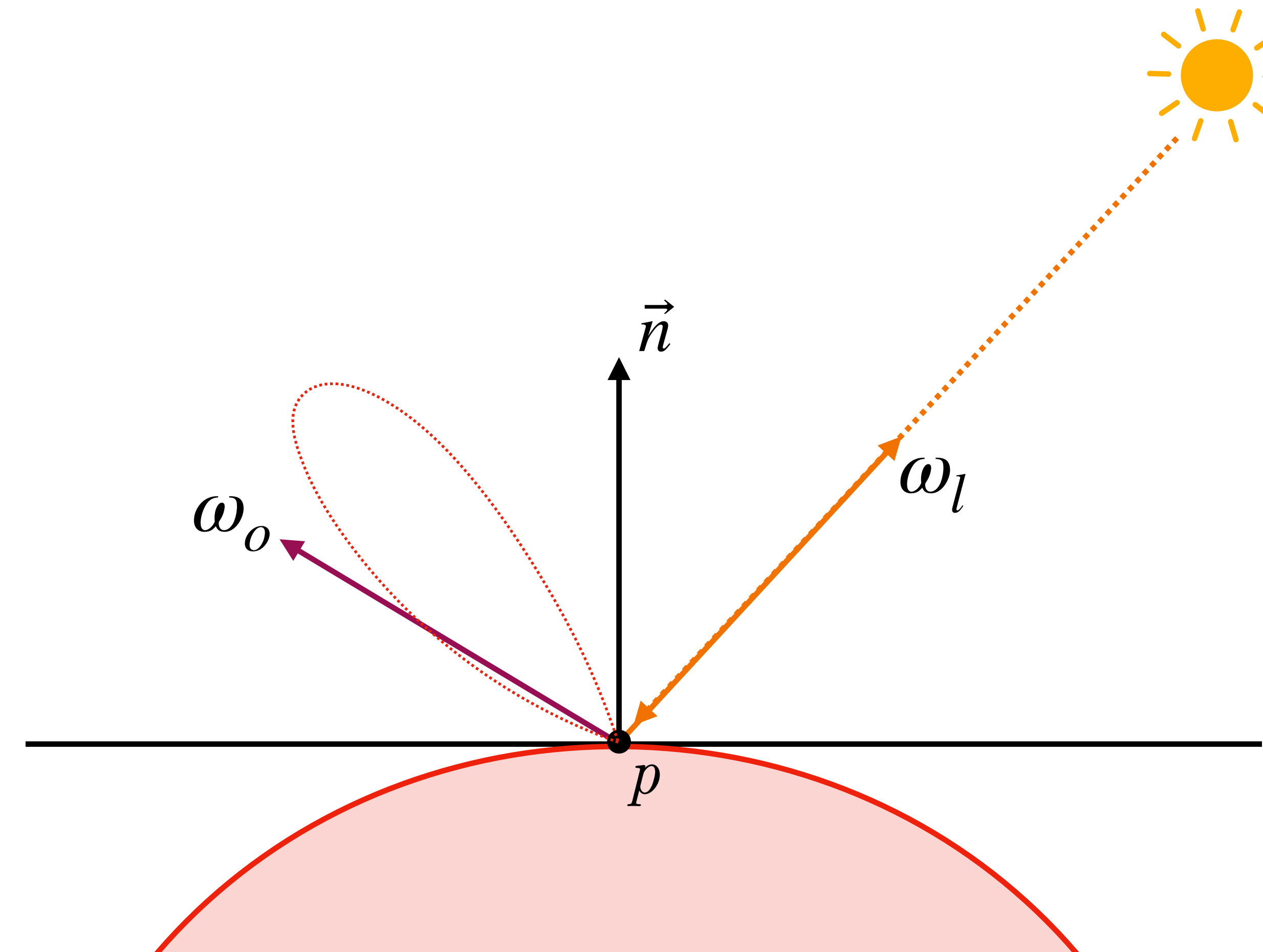
# Reflexão especular



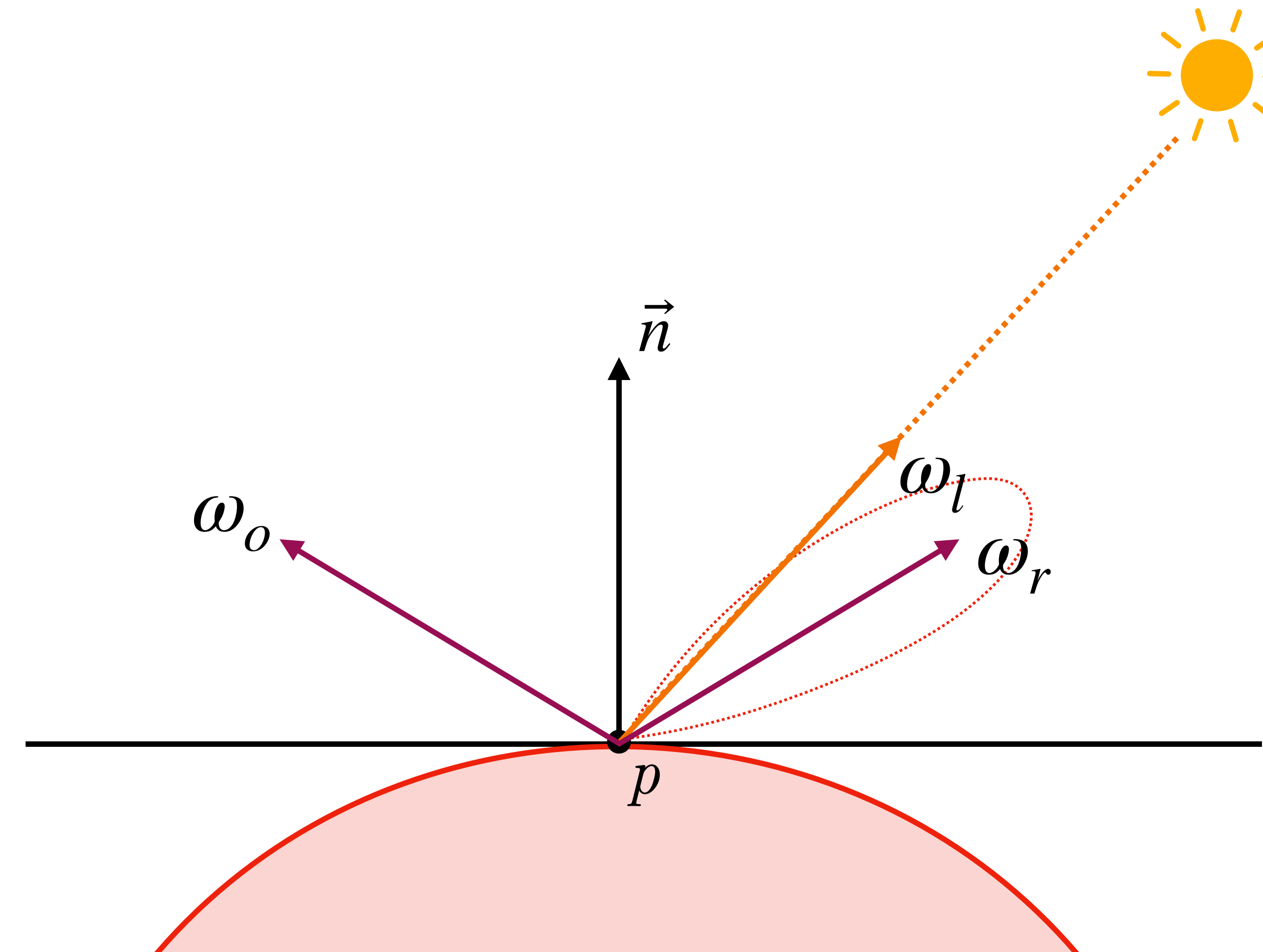
# Reflexão espelhada



# Reflexão especular



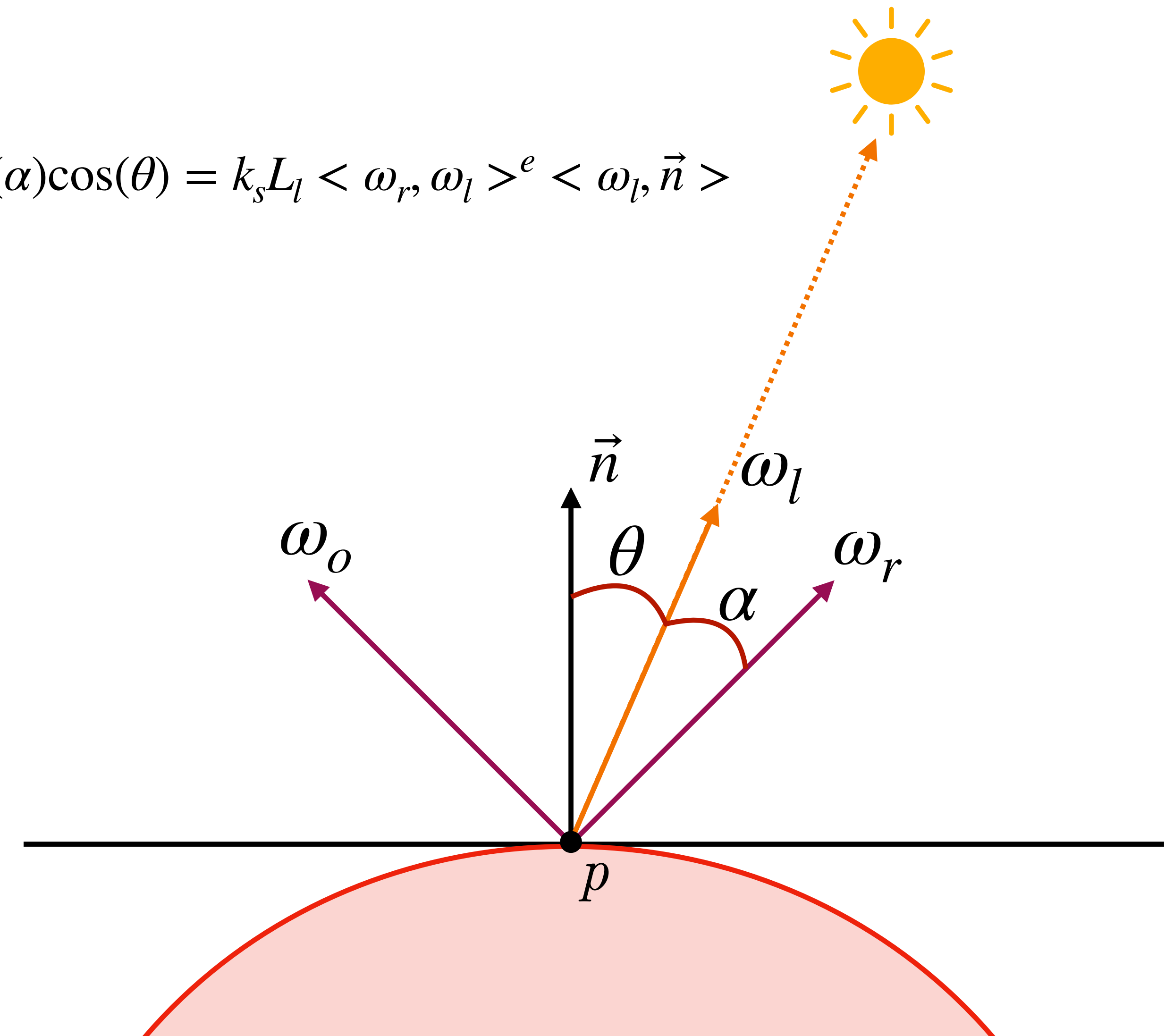
# Reflexão especular



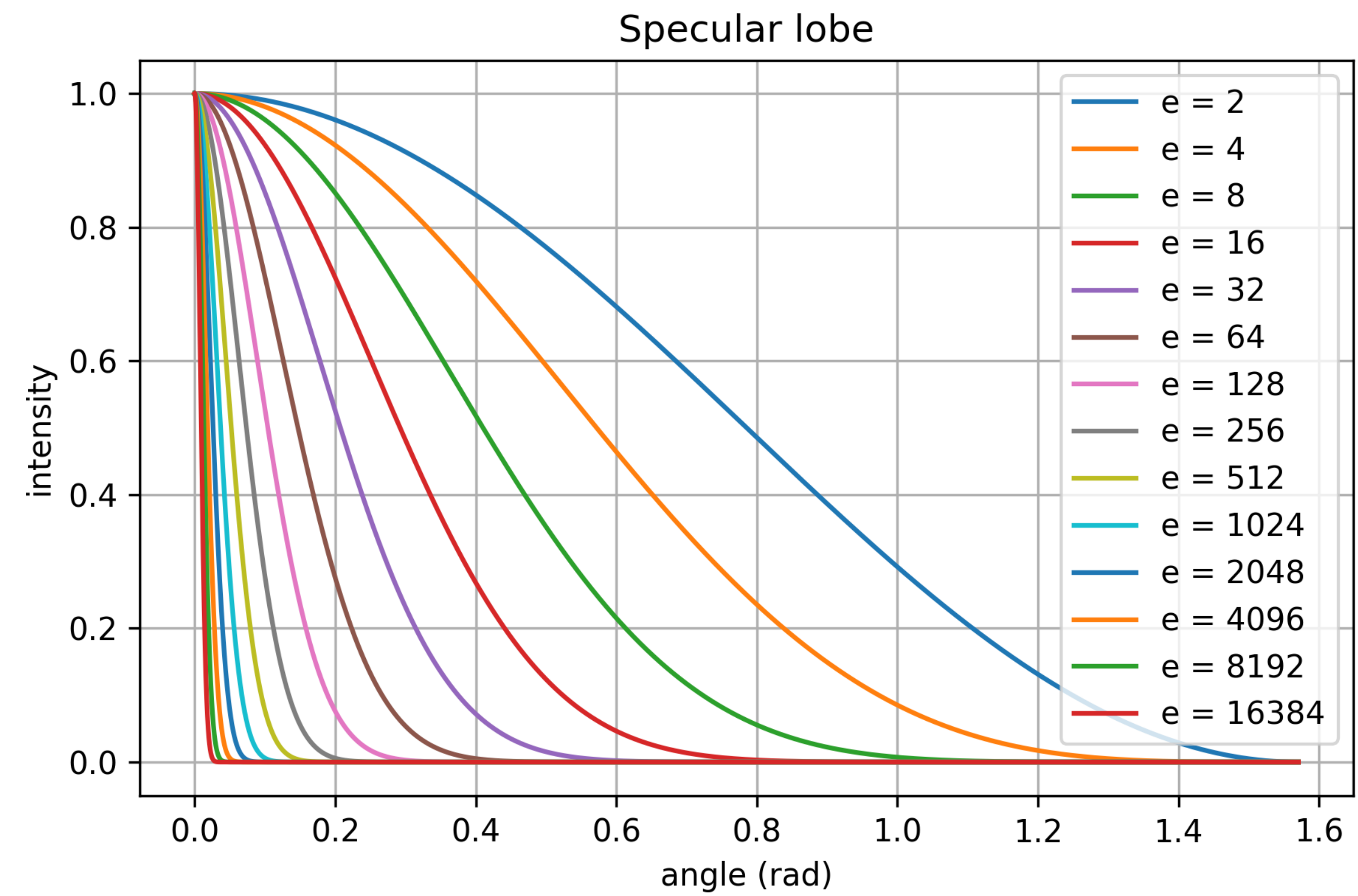
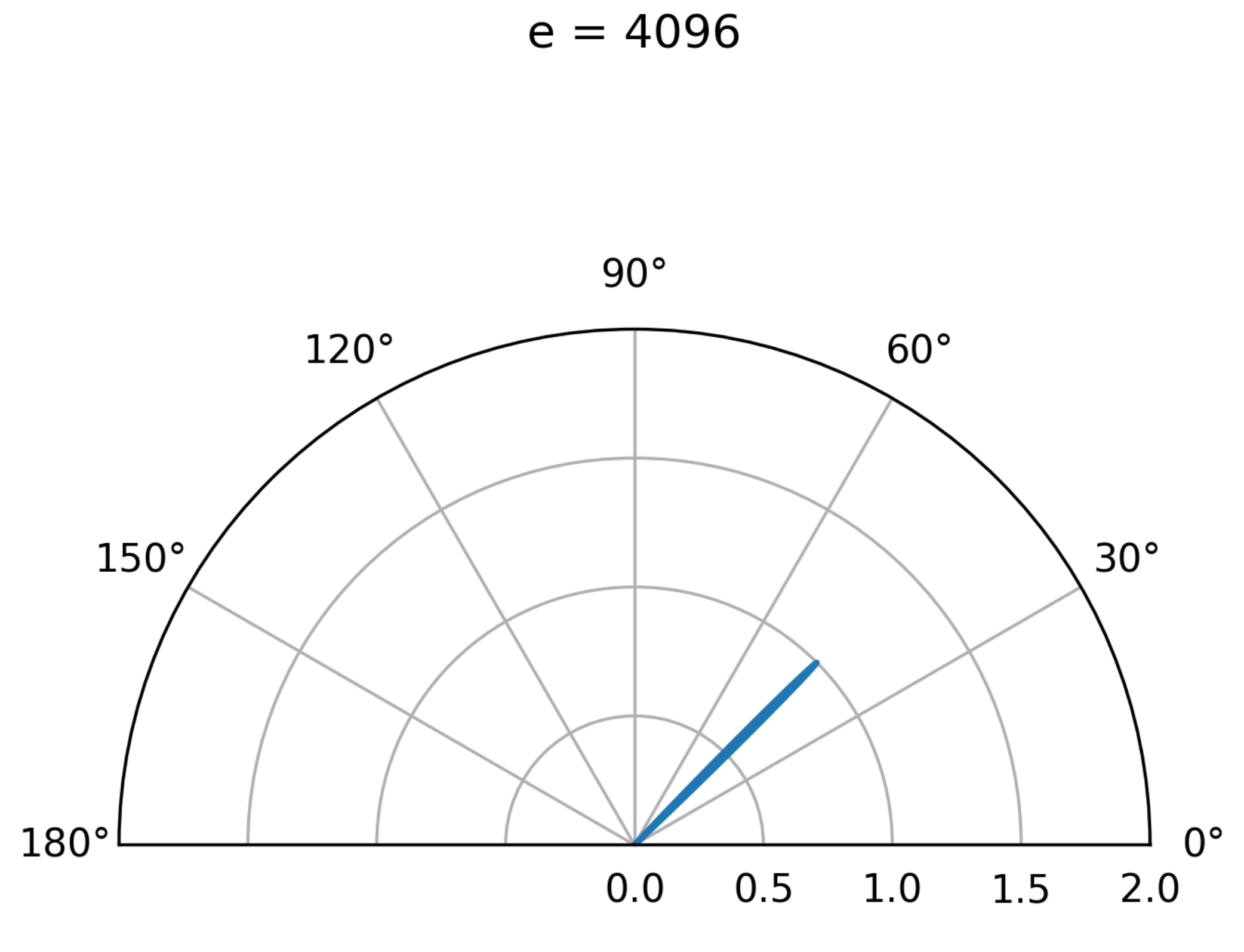
# Reflexão especular

$$L(p, \omega_o) = k_s L_l \cdot \cos^e(\alpha) \cos(\theta) = k_s L_l \langle \omega_r, \omega_l \rangle^e \langle \omega_l, \vec{n} \rangle$$

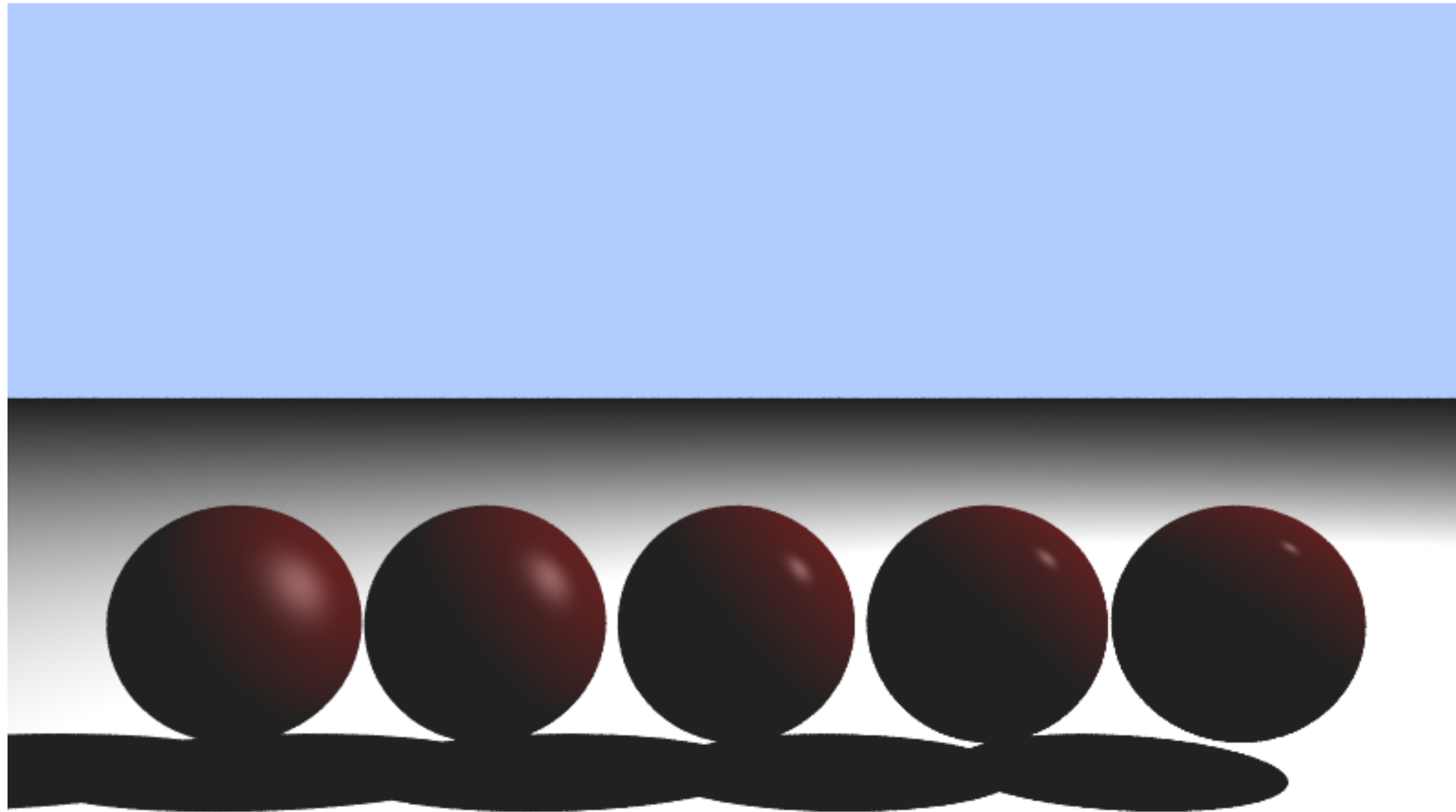
onde  $e \geq 0$



# Decaimento espacular



# Exemplo de render



$e =$

8

16

64

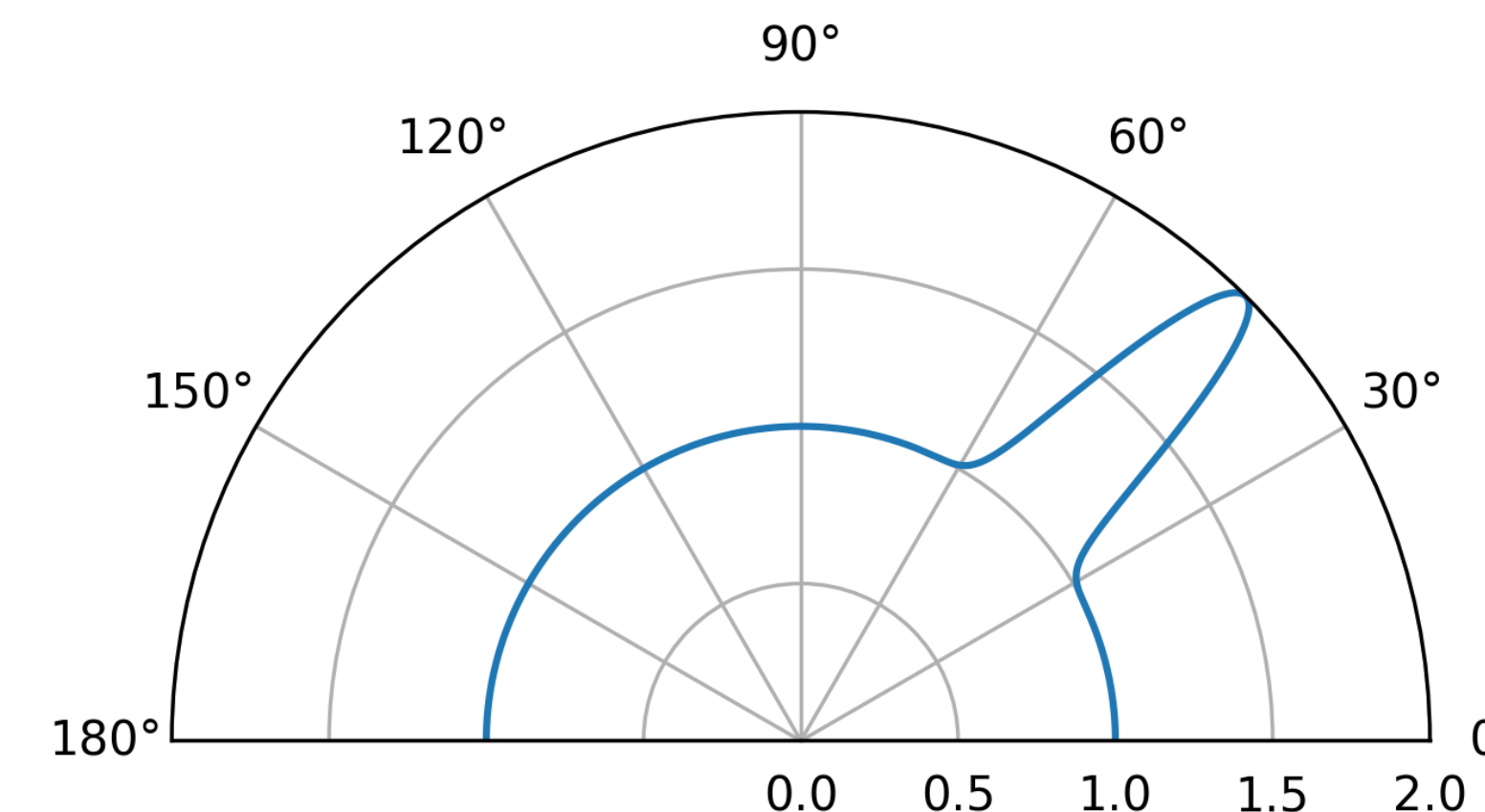
128

256

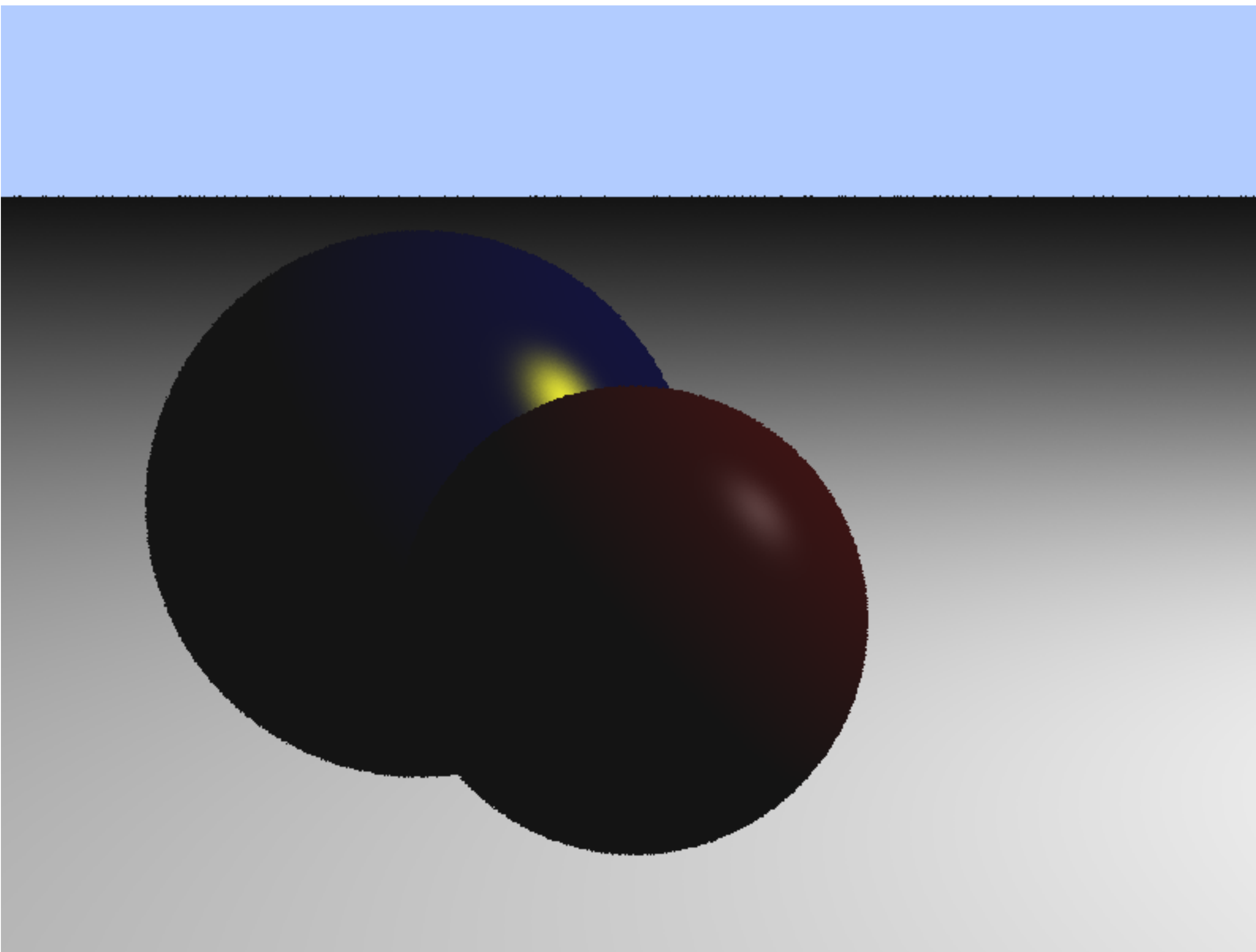
# Modelo: Amb. + Difuso + Especular

$$\begin{aligned} L(p, \omega_o) &= k_a L_a + k_d \sum_{i=1}^n L_i \langle \omega_i, \vec{n} \rangle + k_s \sum_{j=1}^n L_j \langle \omega_r, \omega_j \rangle^e \langle \omega_j, \vec{n} \rangle \\ &= k_a L_a + \sum_{i=1}^n L_i (k_d + k_s \langle \omega_r, \omega_i \rangle^e) \langle \omega_i, \vec{n} \rangle \end{aligned}$$

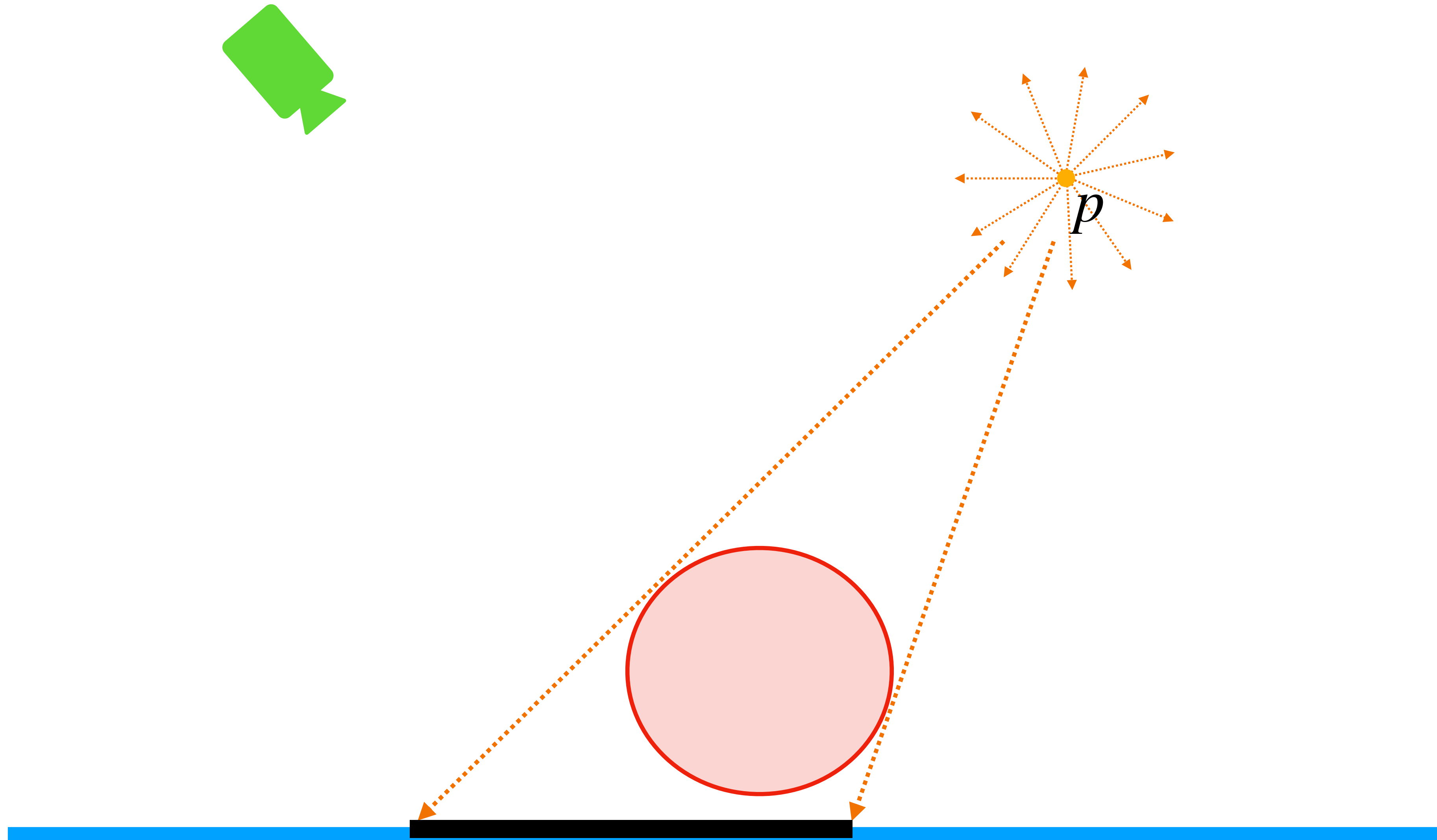
$$d + e = 128$$



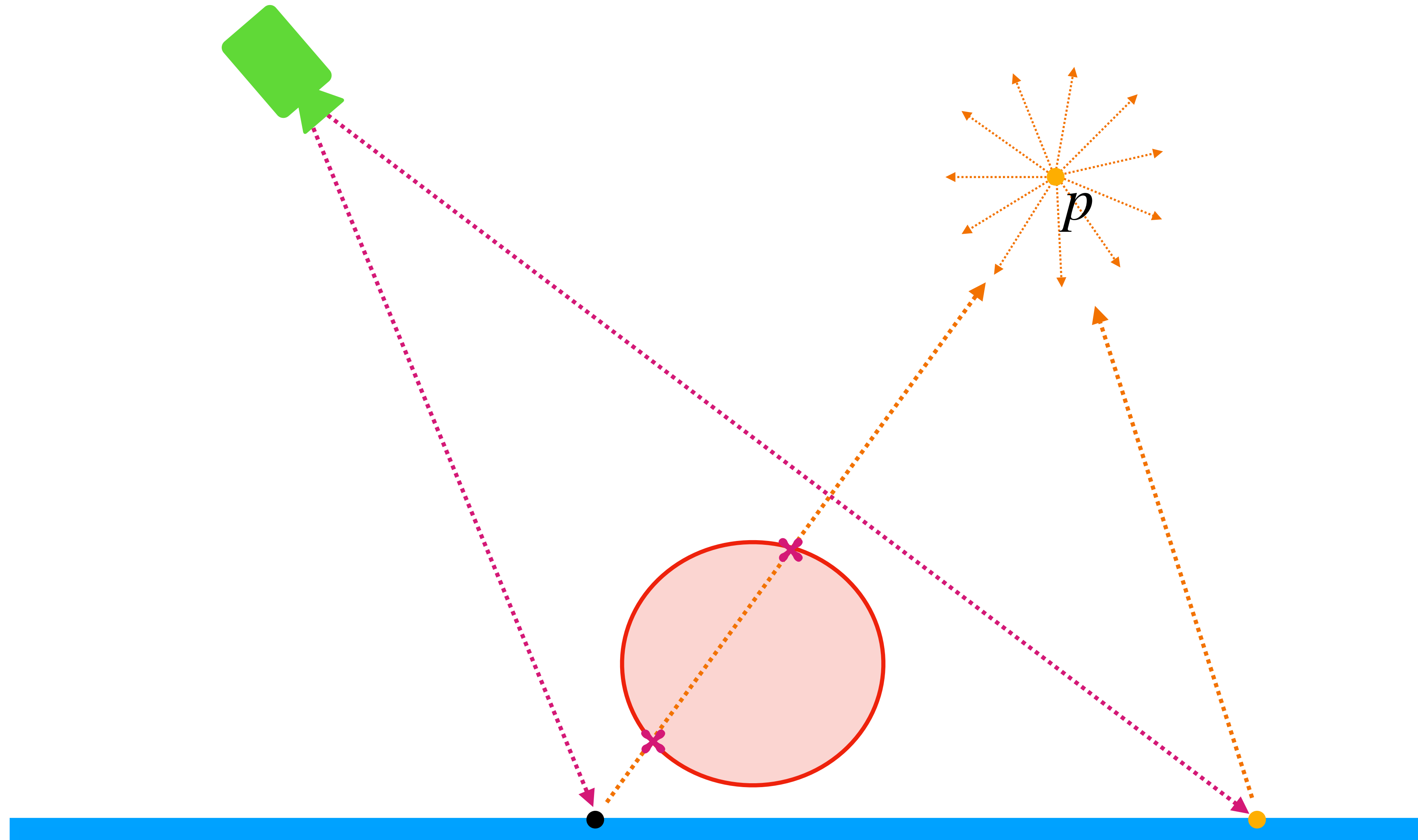
# Exemplo de render



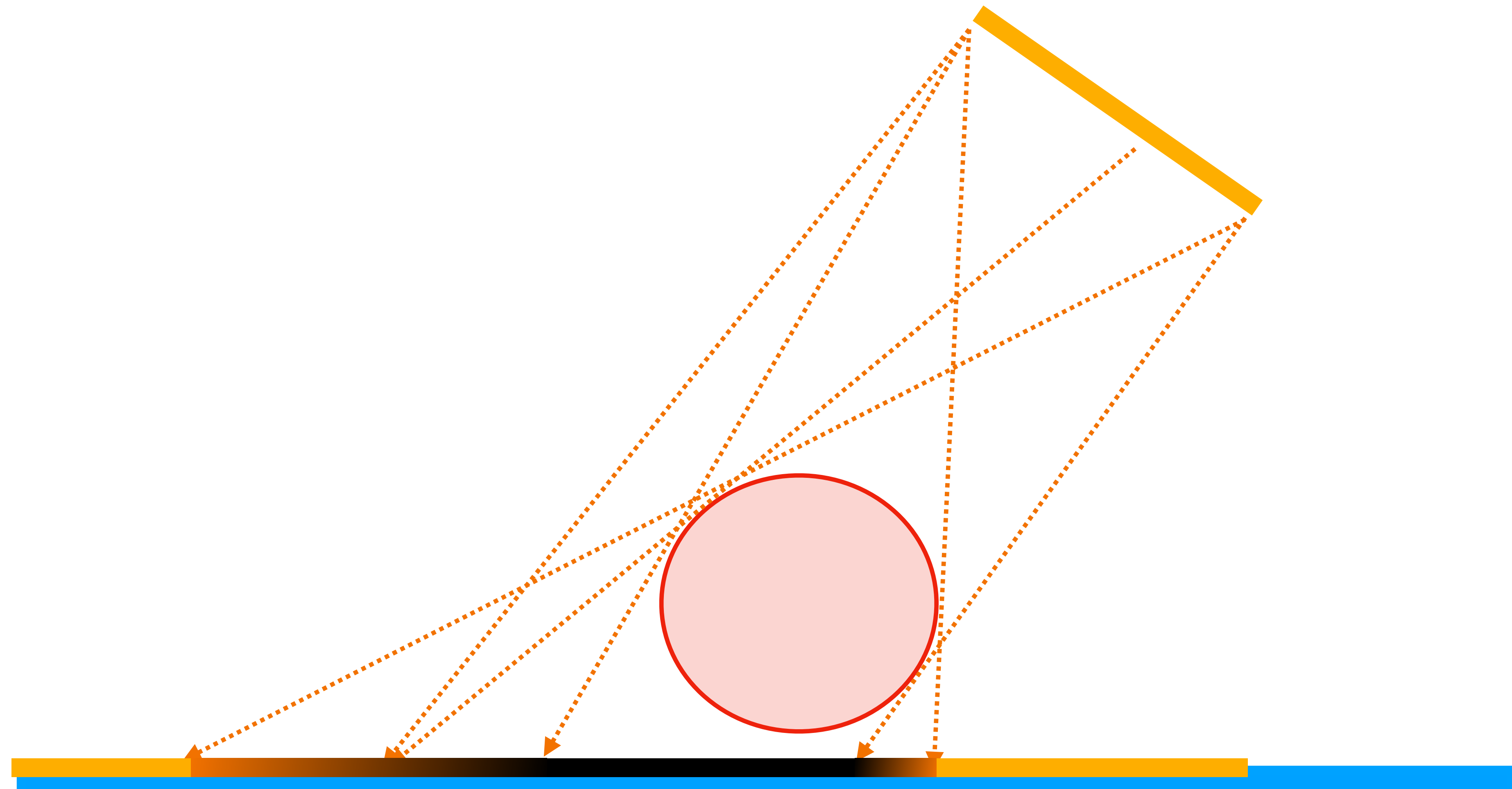
# Sombra



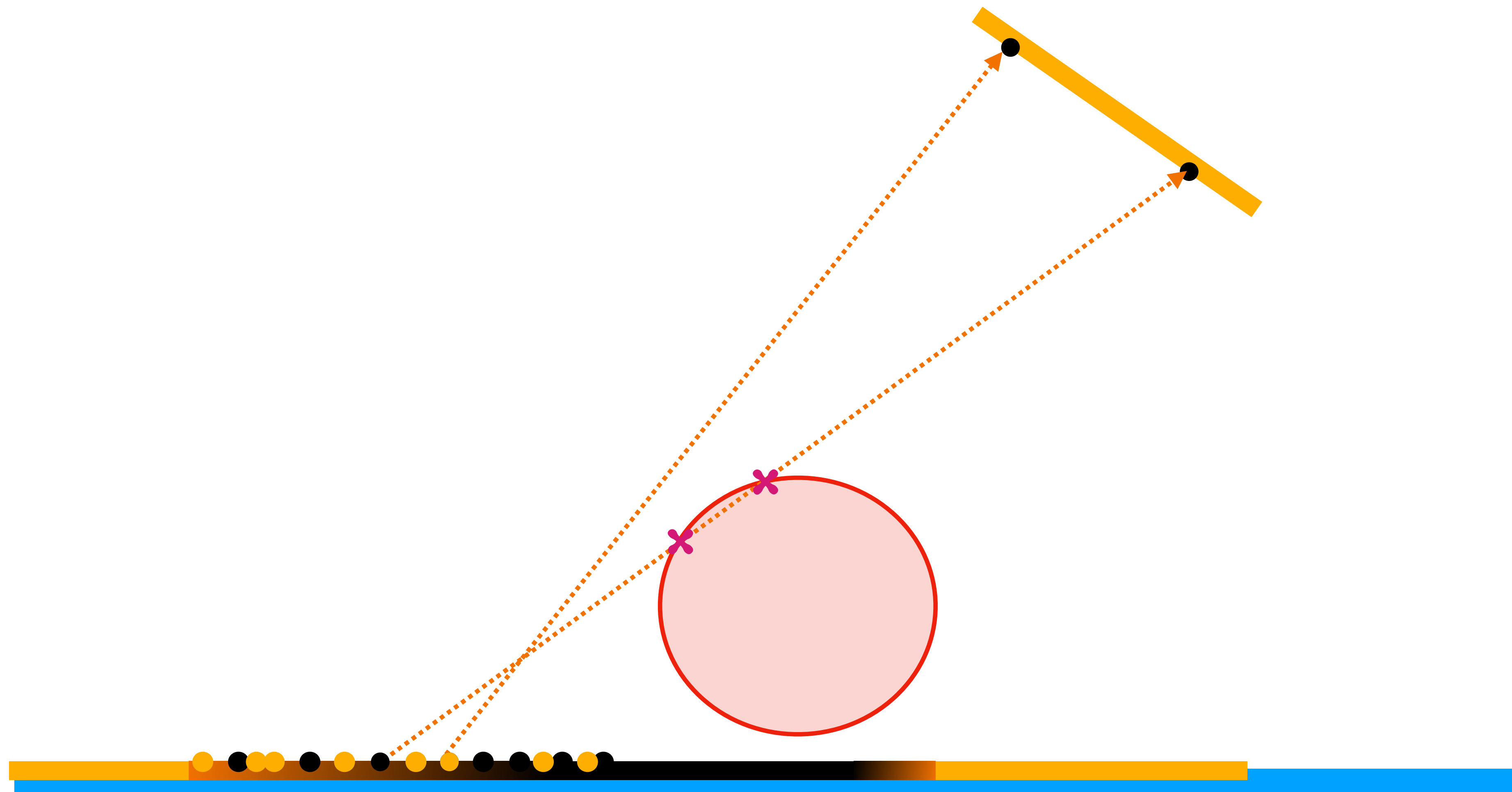
# Sombra



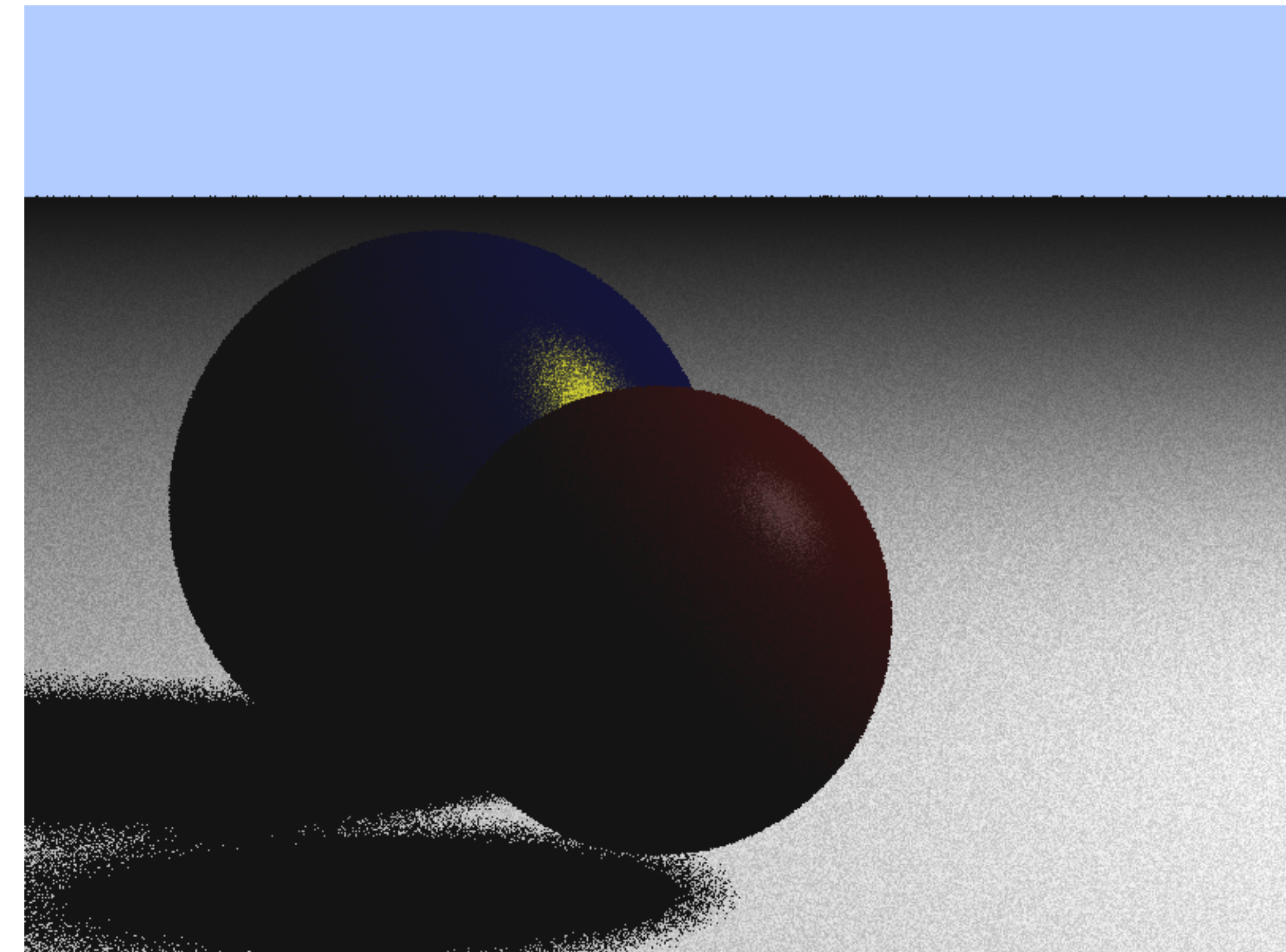
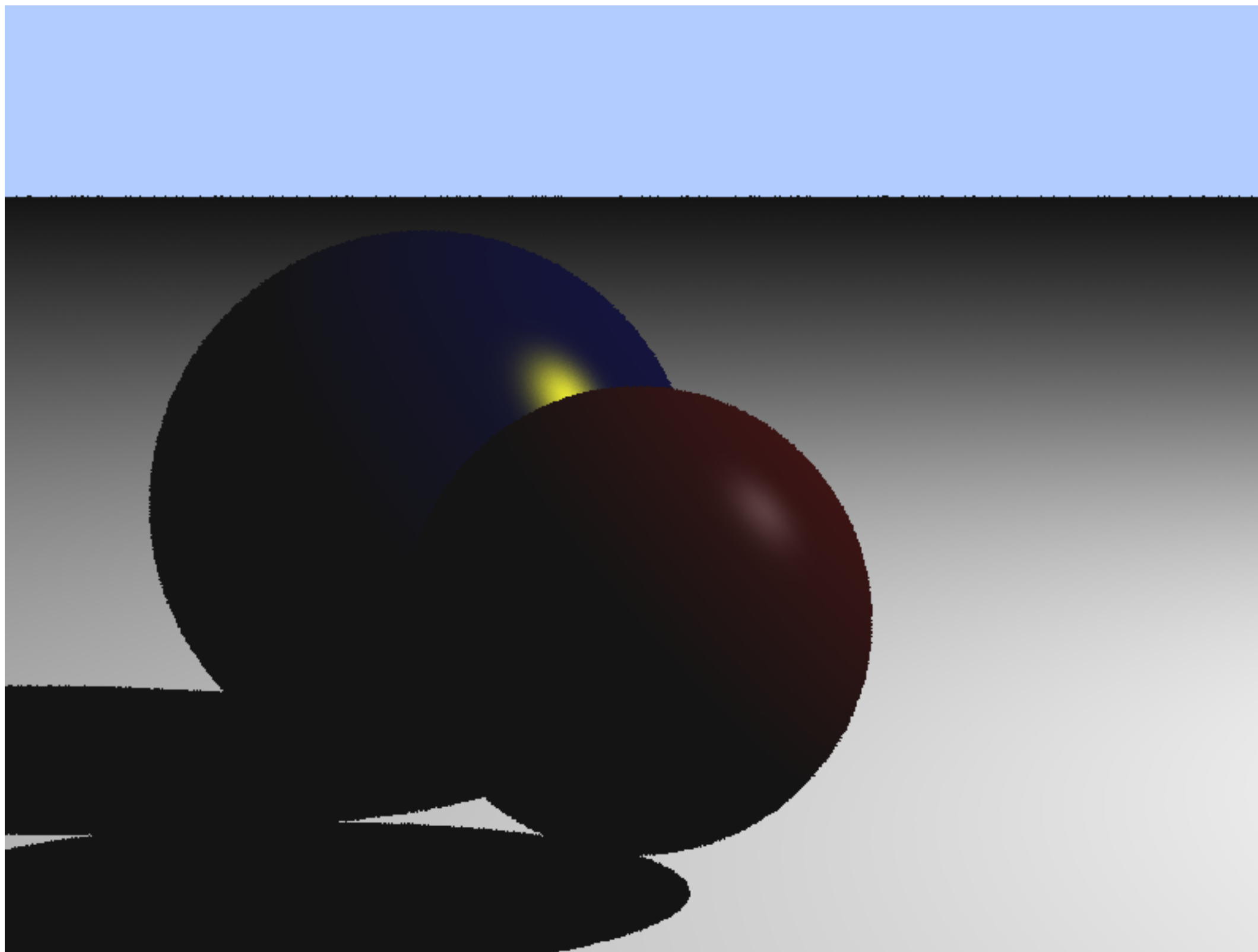
# Area Light



# Area Light

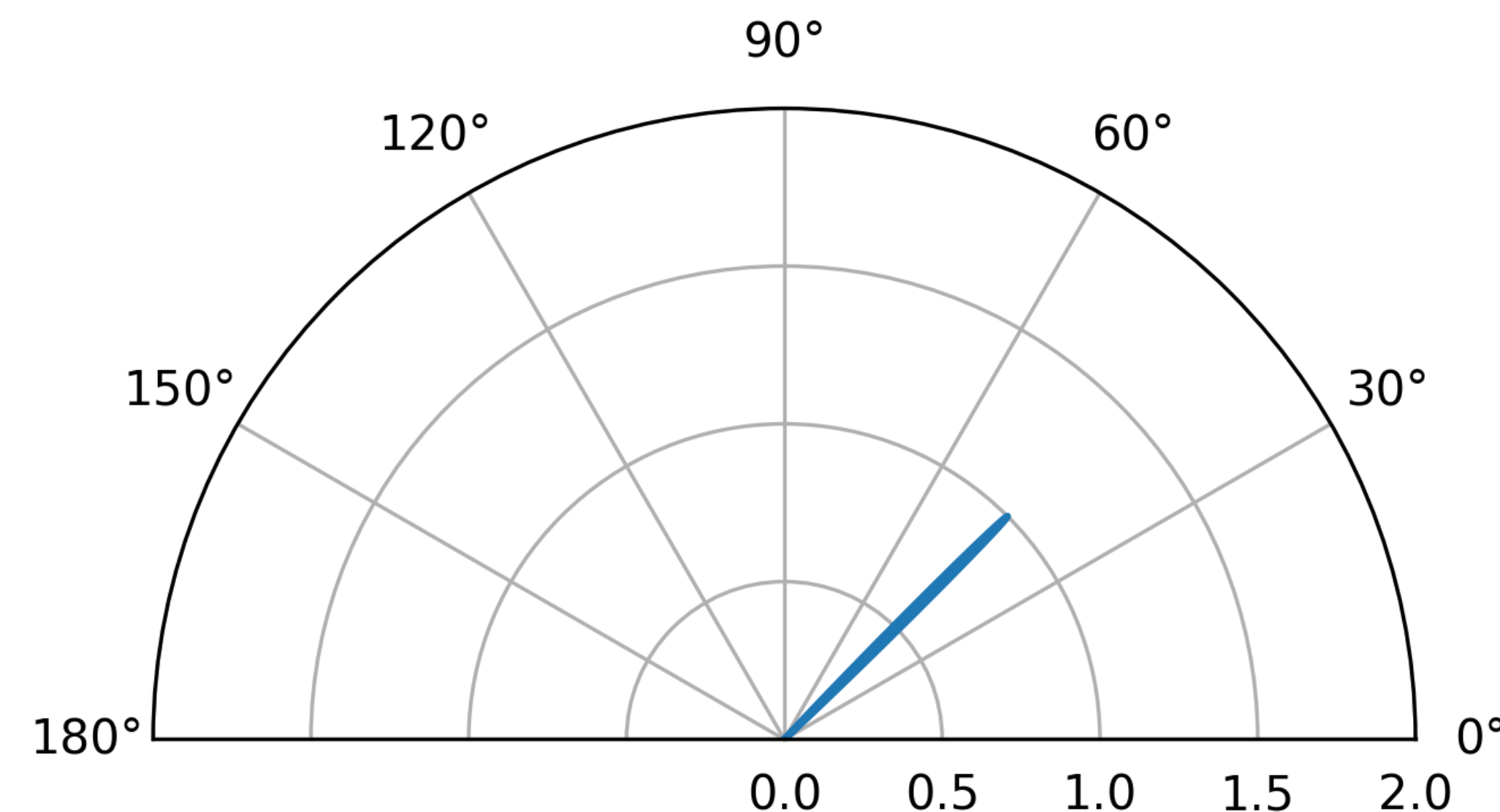


# Exemplo

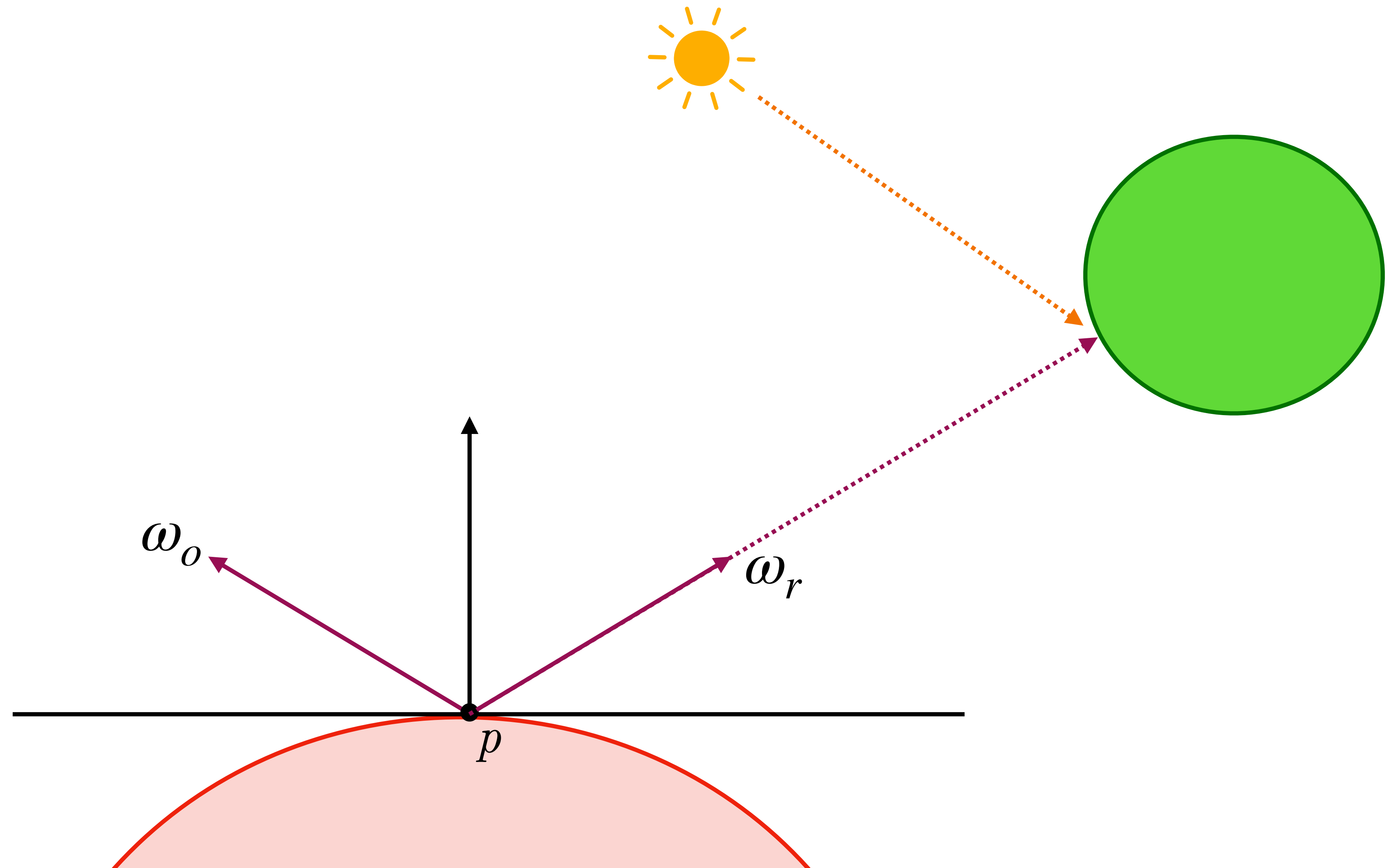


# Reflexão e Transmissão de Luz

$e = 4096$

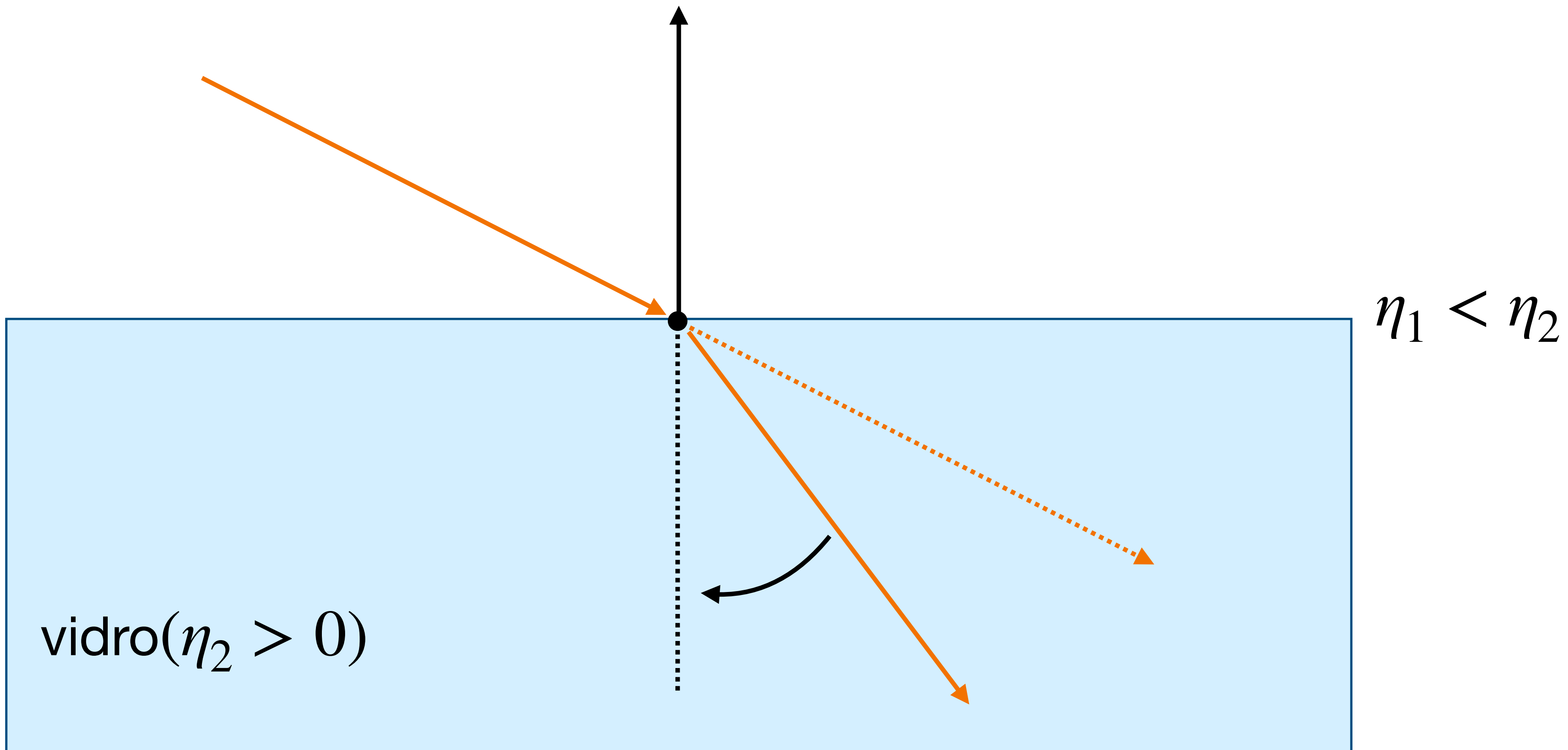


# Reflexão



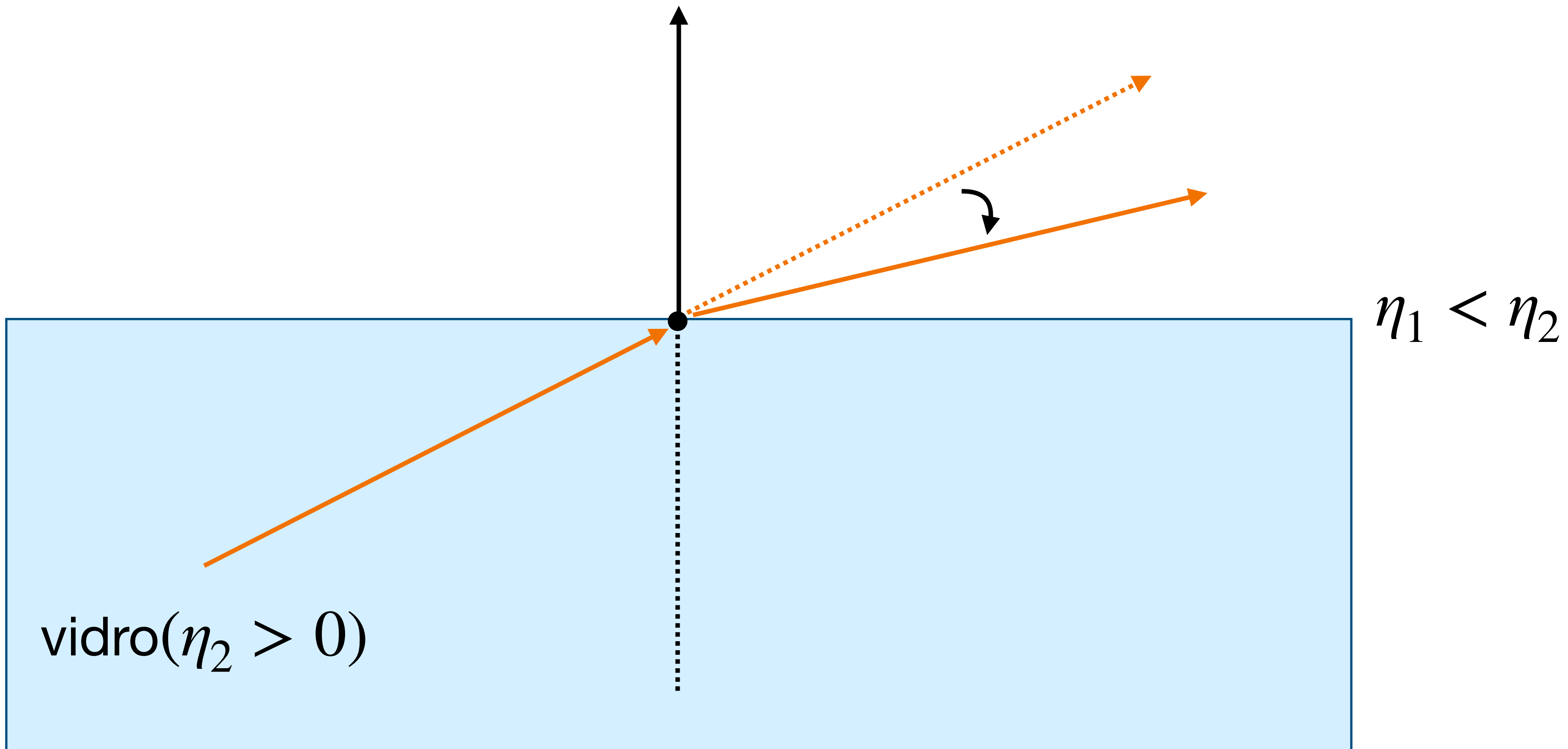
# Transmissão

ar ( $\eta_1 > 0$ )



# Transmissão

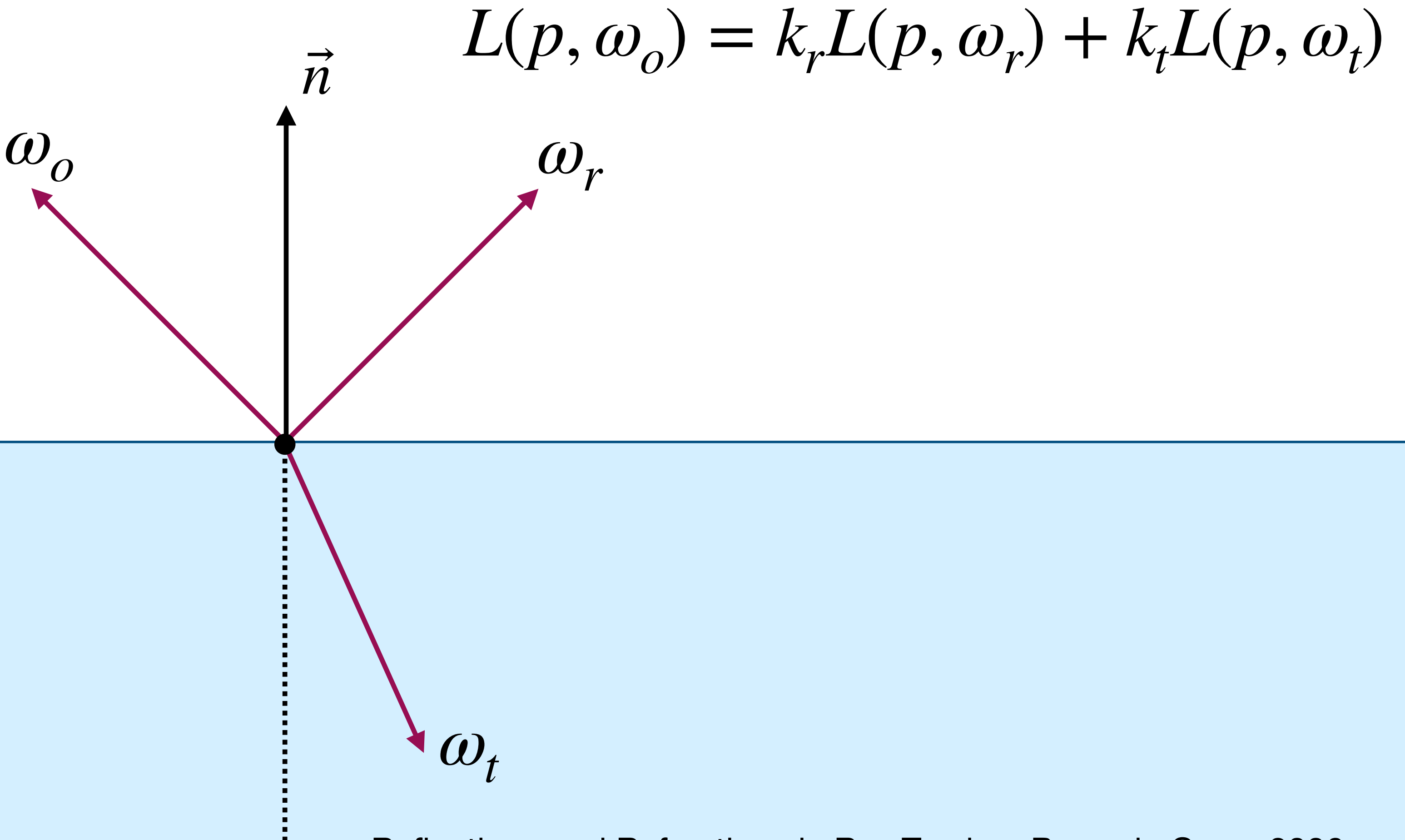
ar ( $\eta_1 > 0$ )



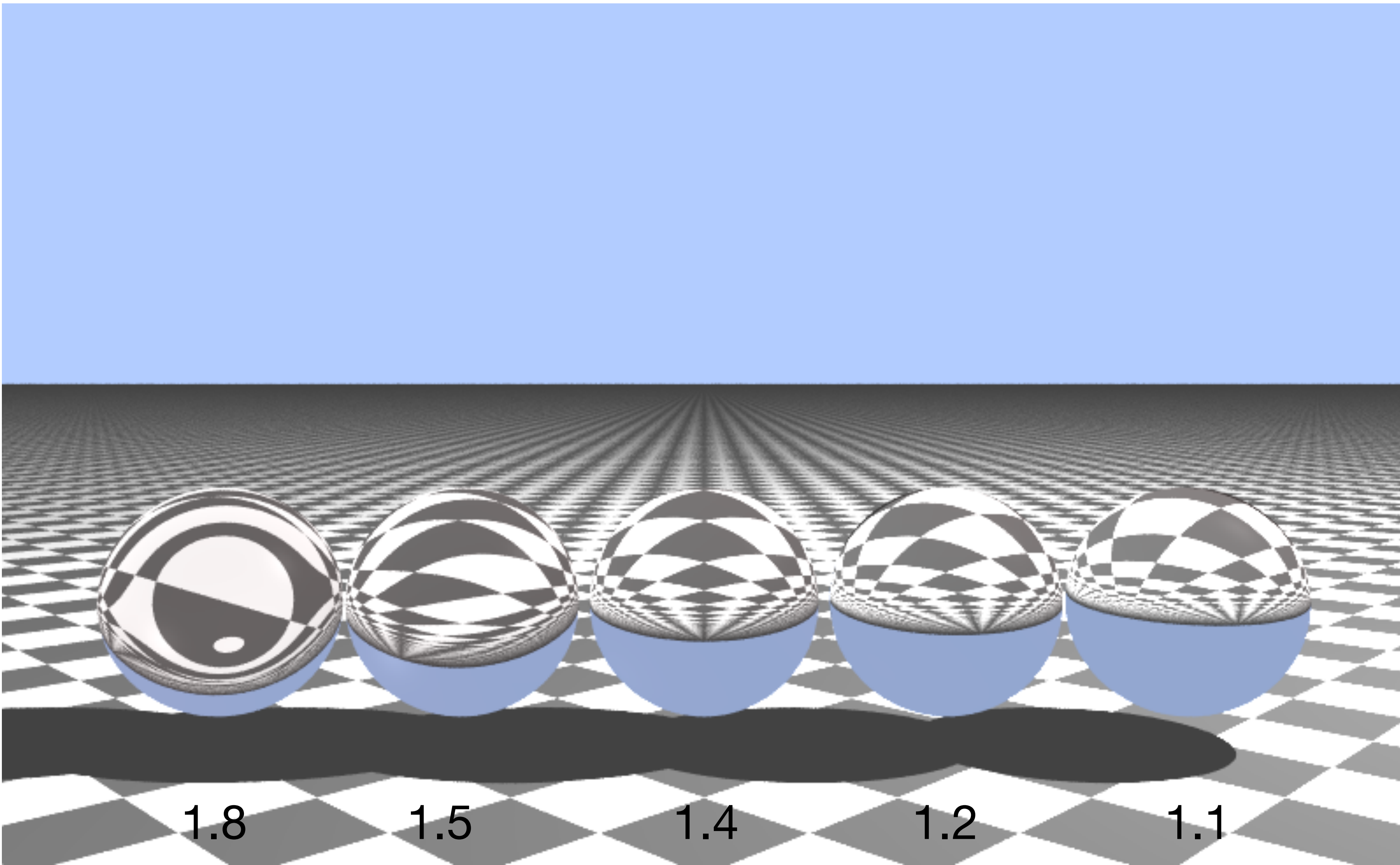
# Transmissão

meio 1 ( $\eta_1 > 0$ )

meio 2 ( $\eta_2 > 0$ )



# Exemplo



$\eta =$

1.8

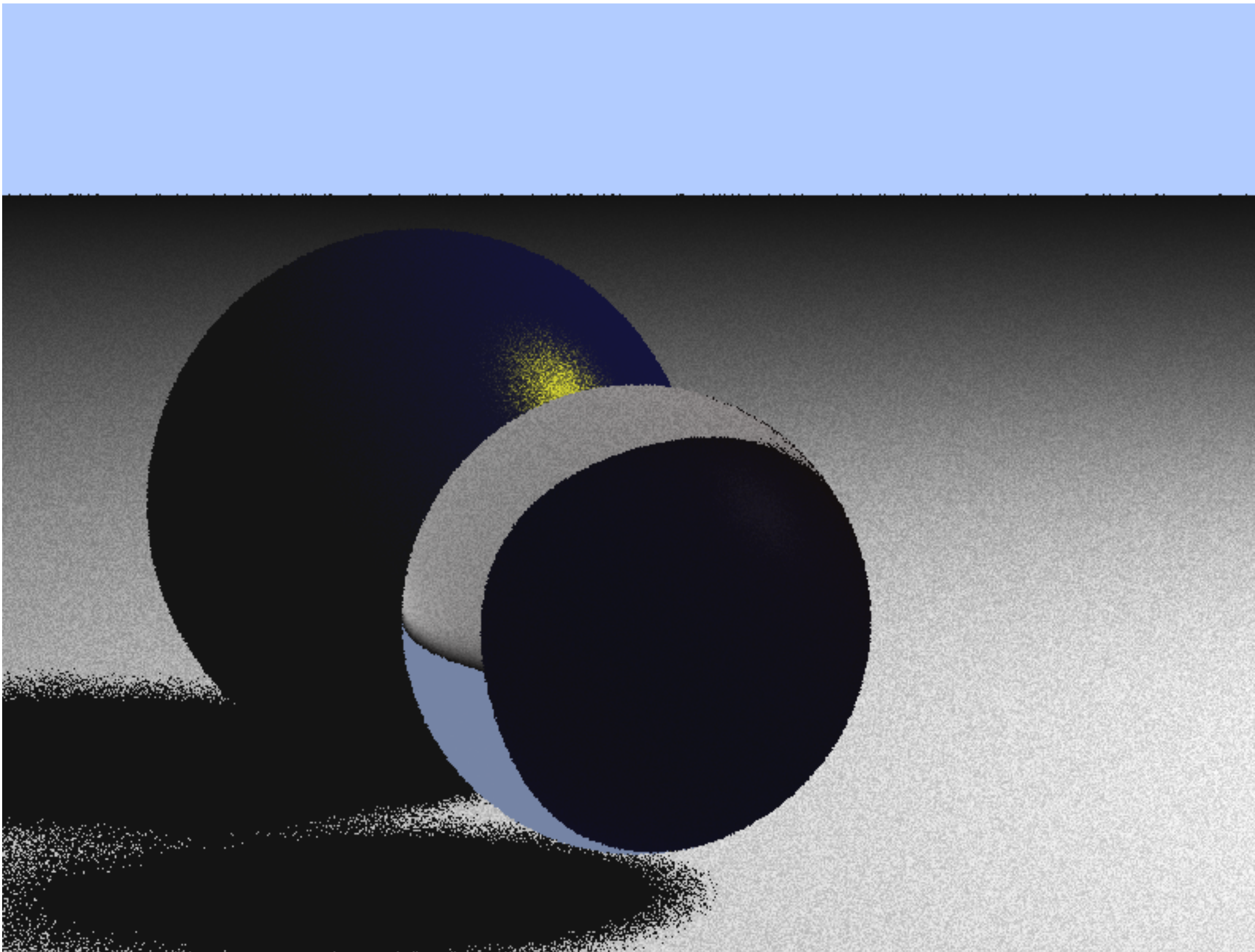
1.5

1.4

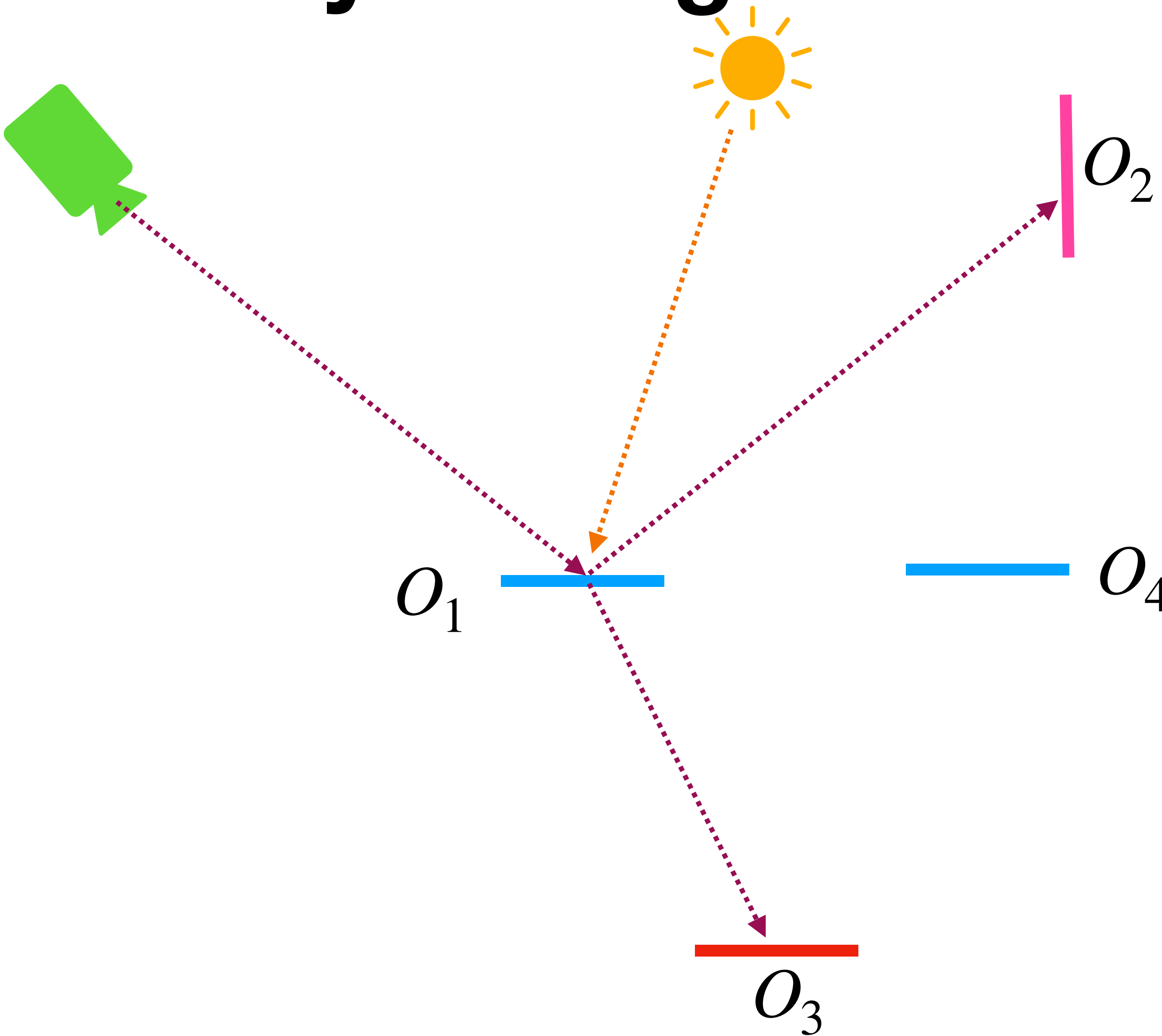
1.2

1.1

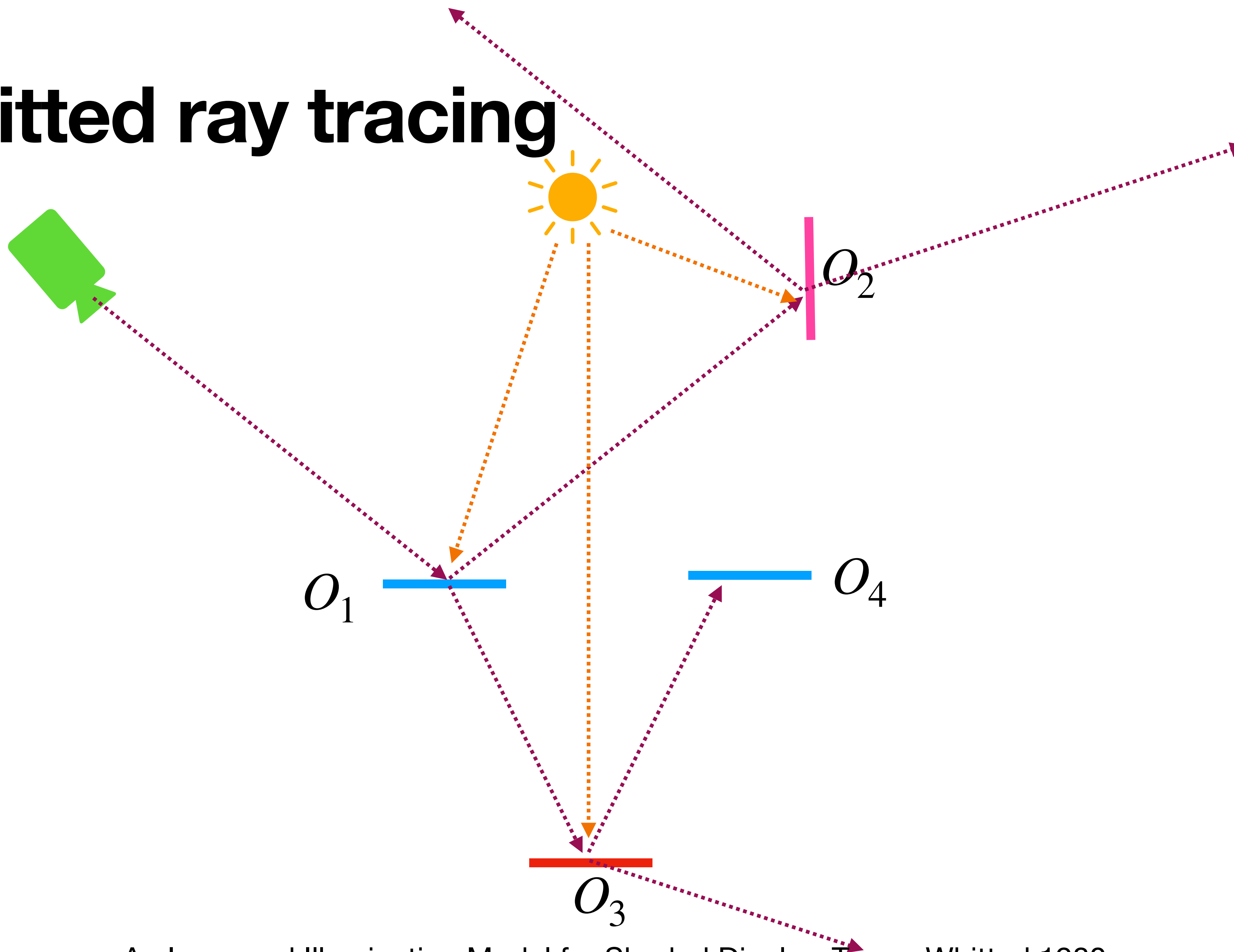
# Exemplo



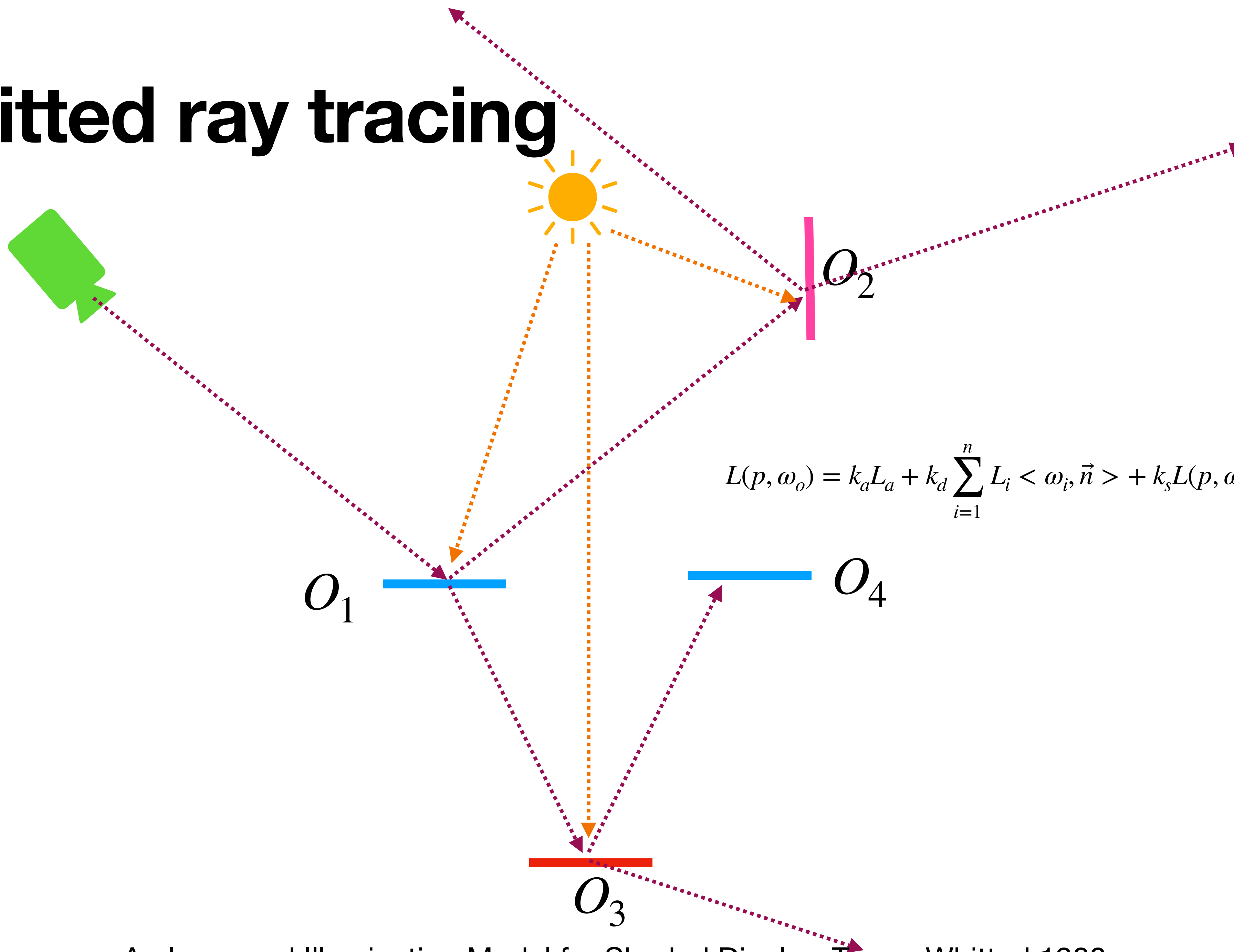
# Whitted ray tracing



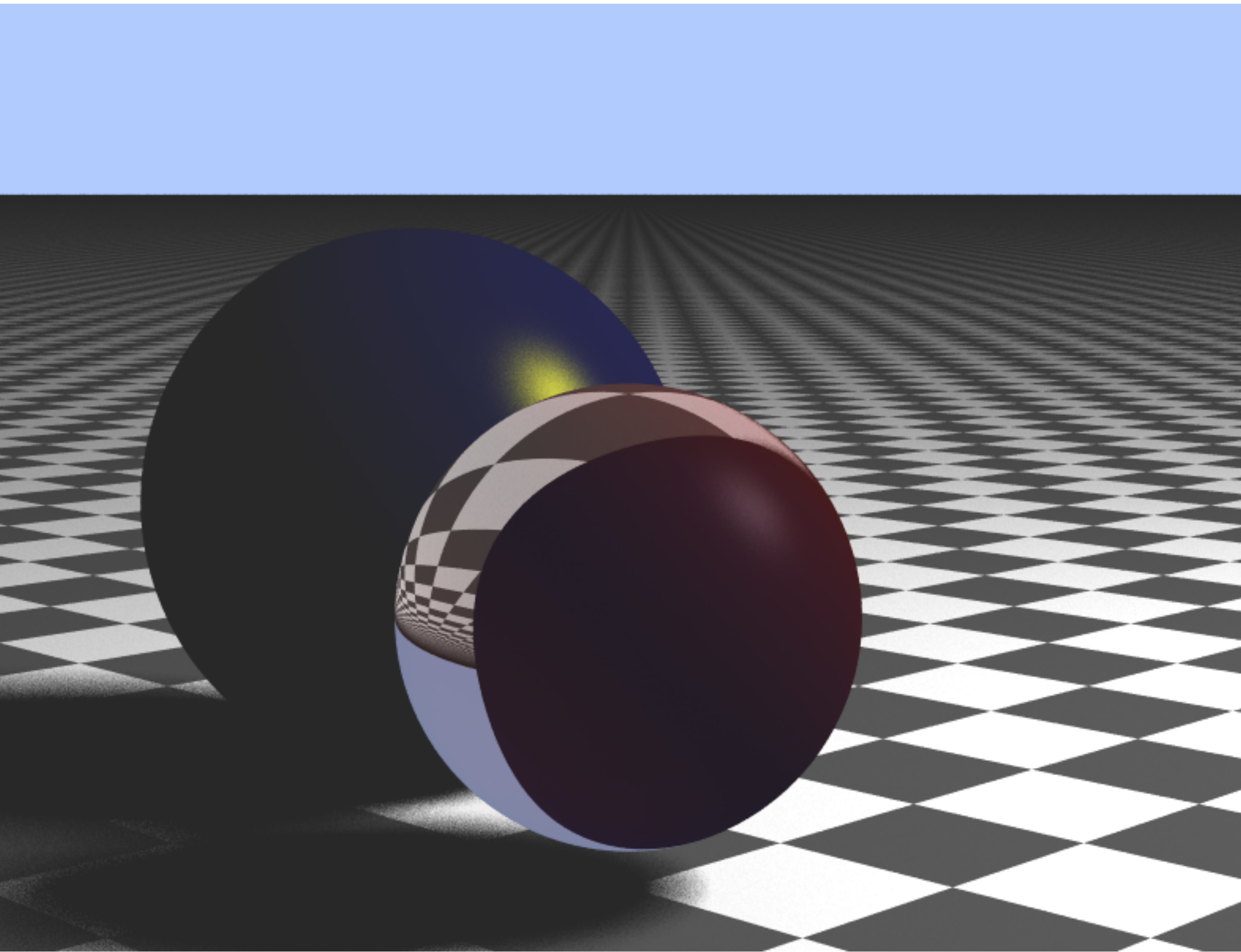
# Whitted ray tracing



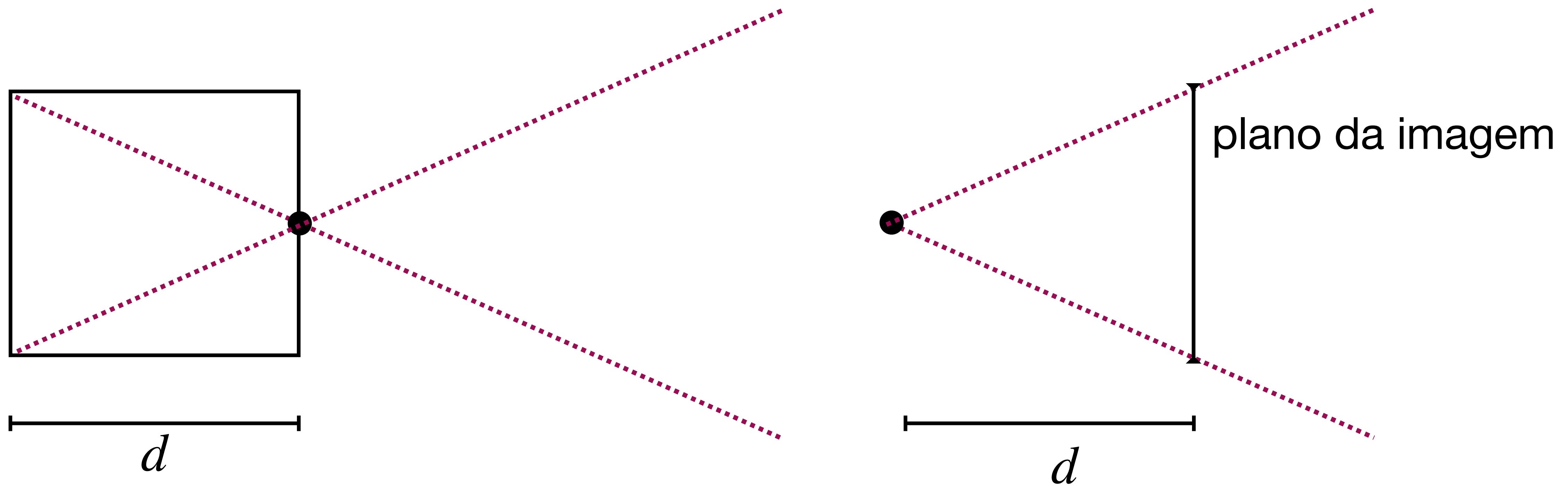
# Whitted ray tracing



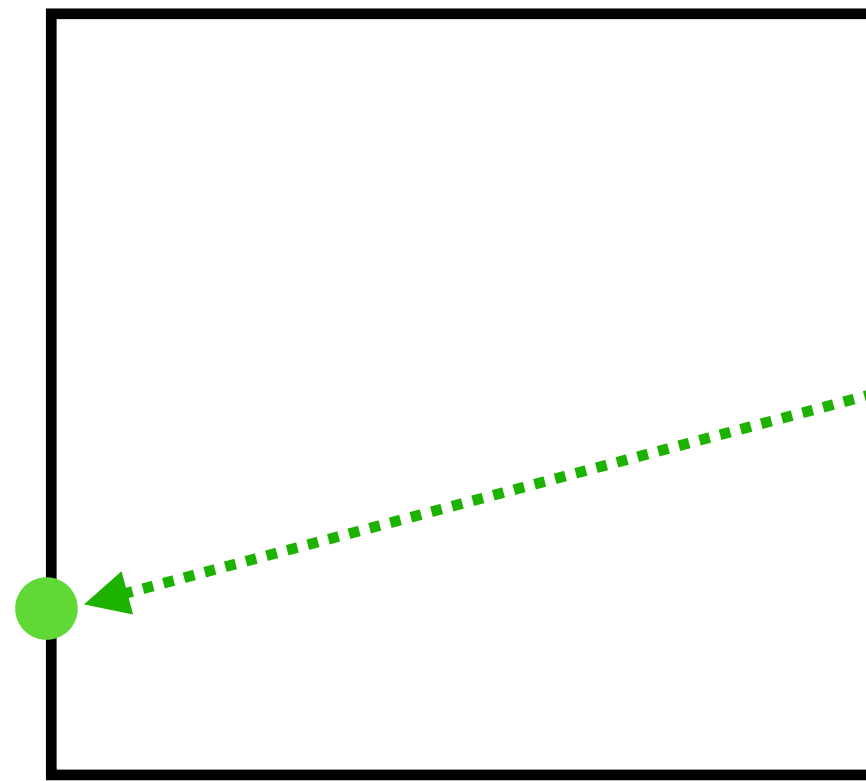
# Exemplo



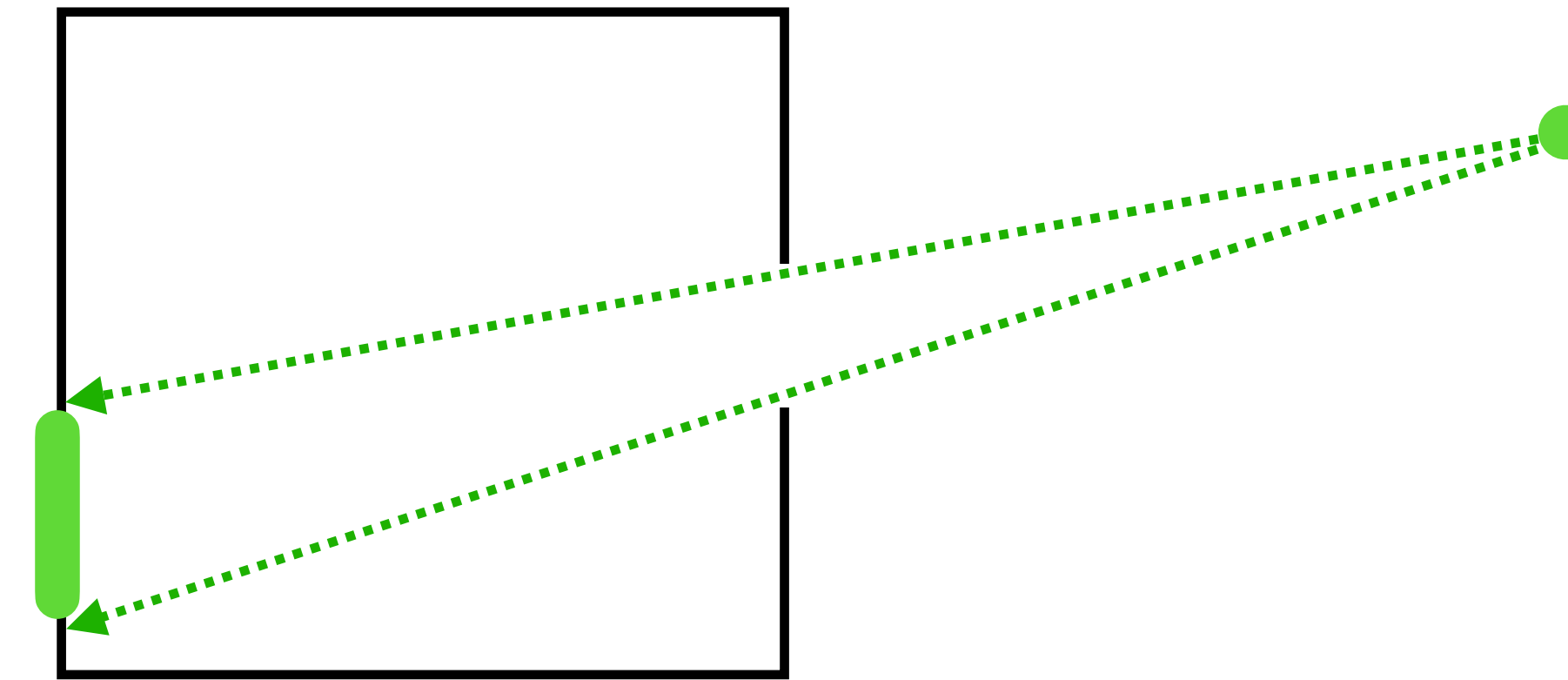
# Profundidade de campo



# Profundidade de campo

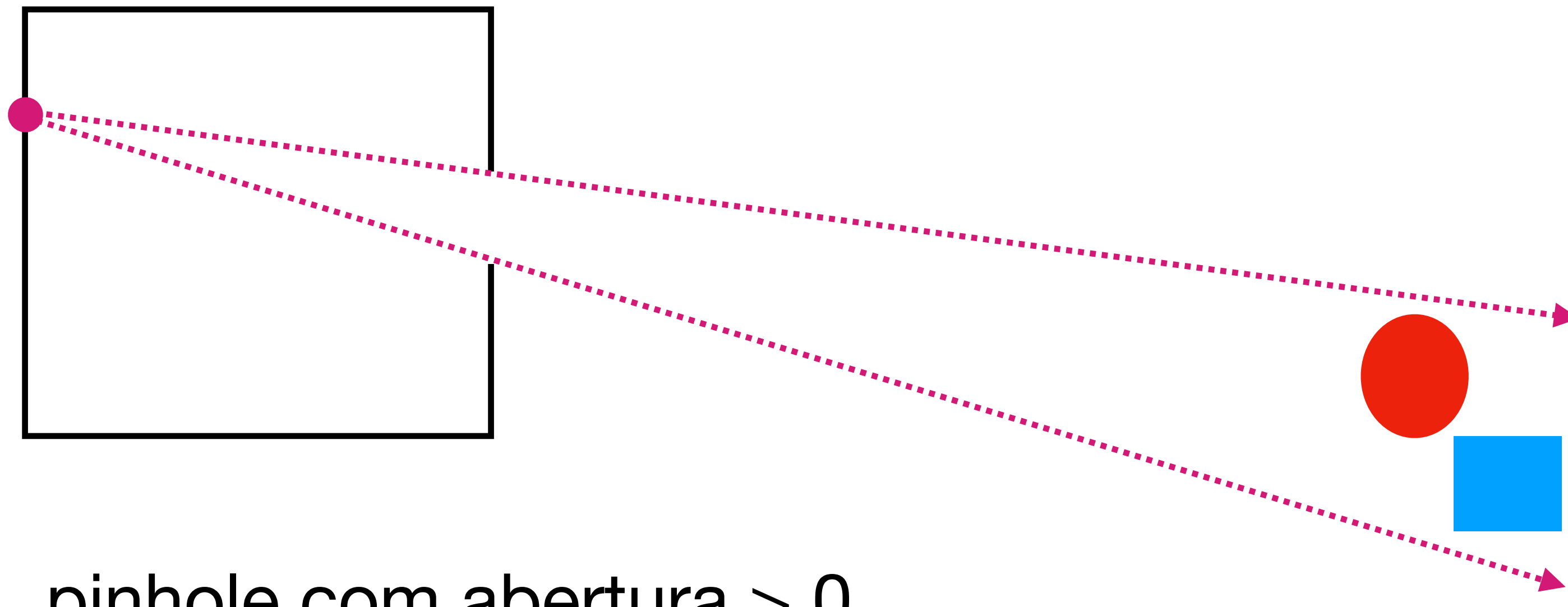


pinhole “ideal”



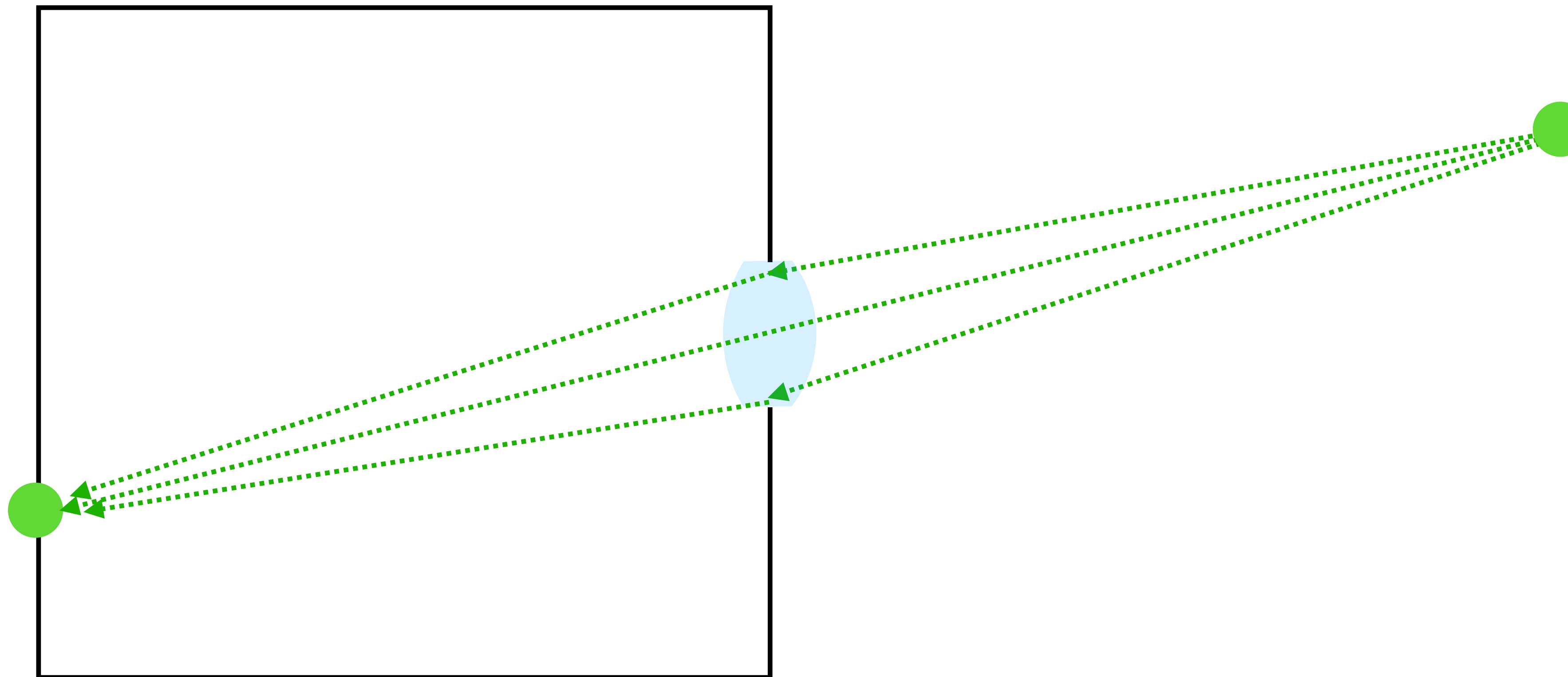
pinhole com abertura  $> 0$

# Profundidade de campo

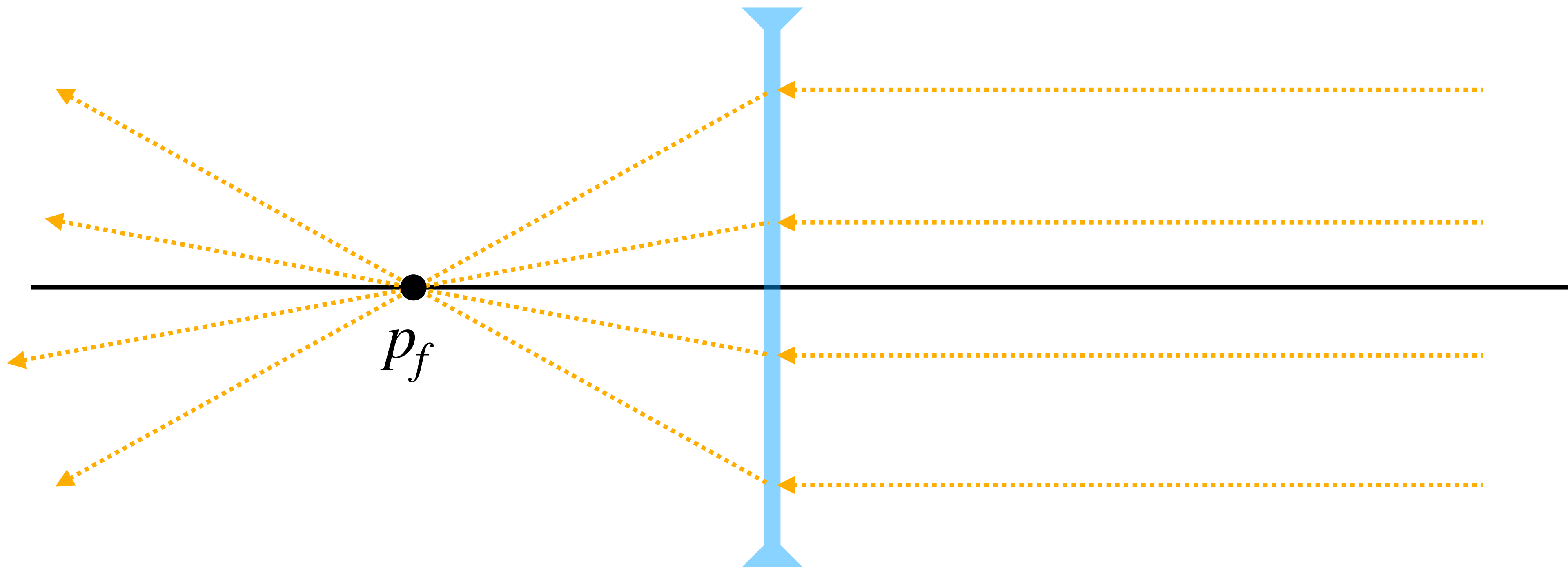


pinhole com abertura  $> 0$

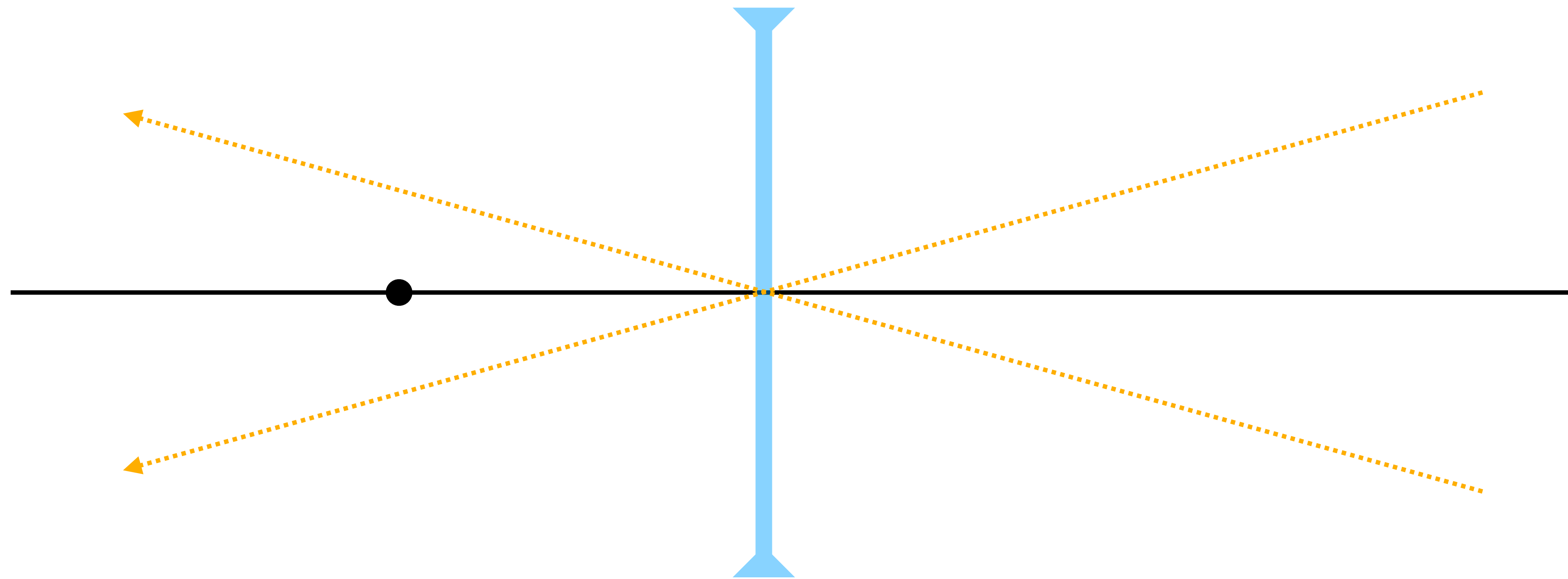
# Profundidade de campo



# Profundidade de campo

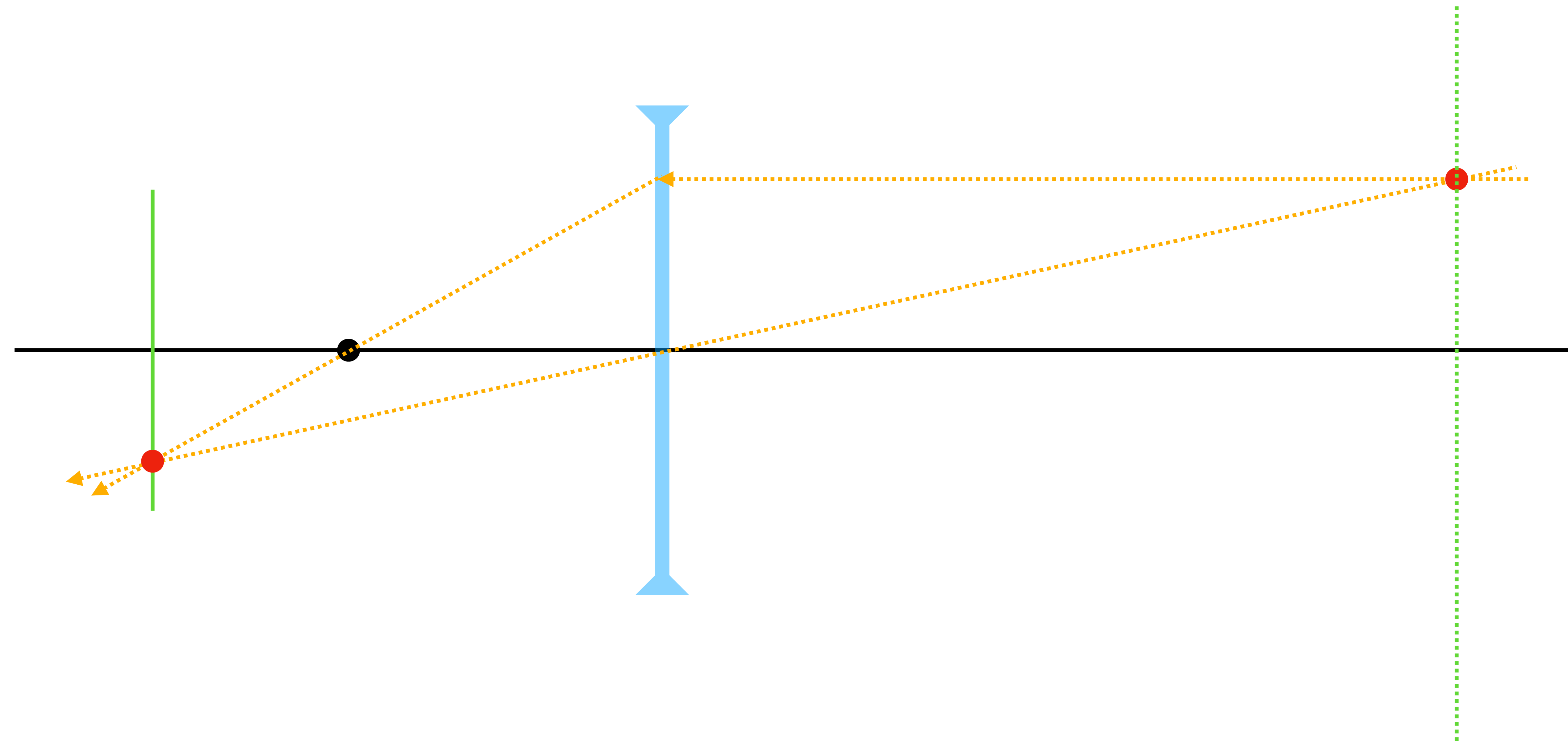


# Profundidade de campo



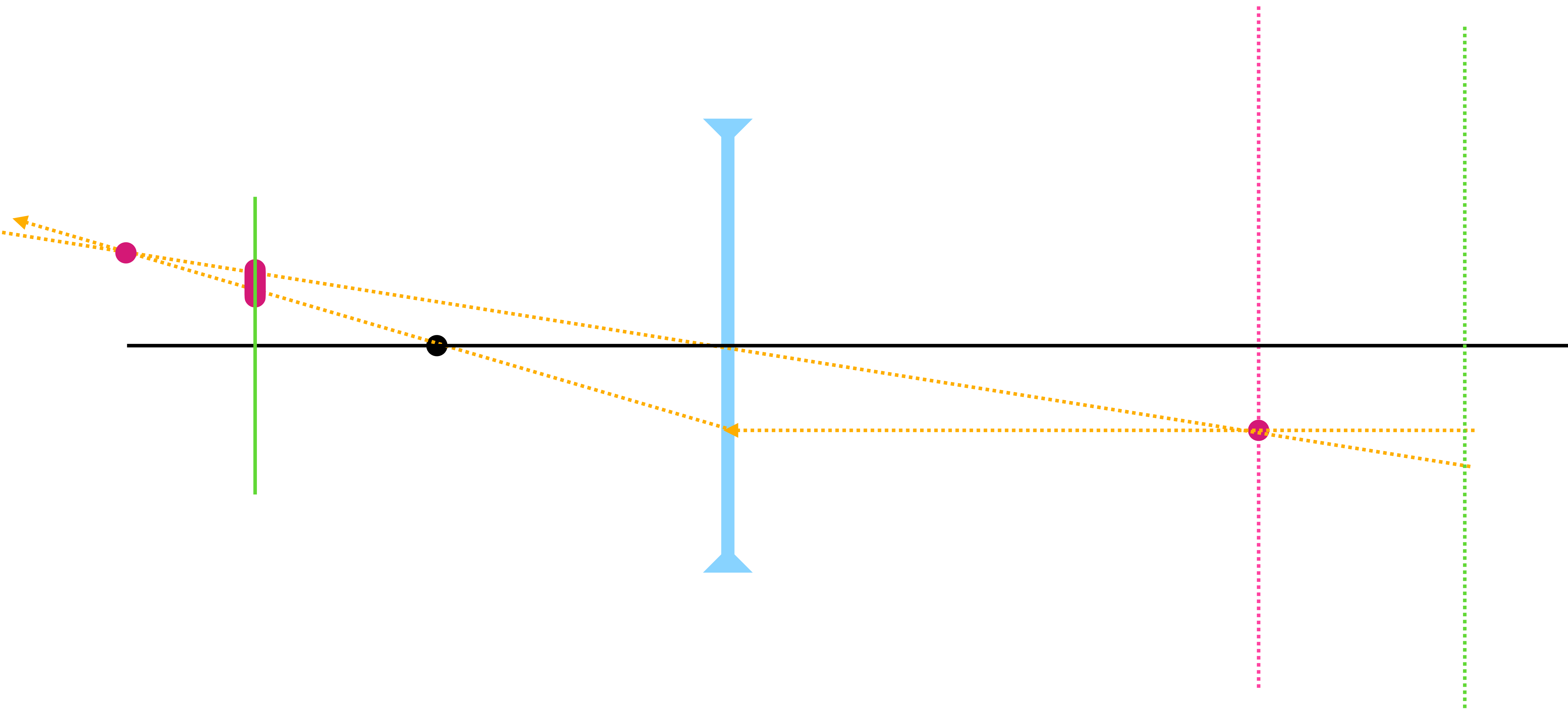
# Profundidade de campo

plano focal



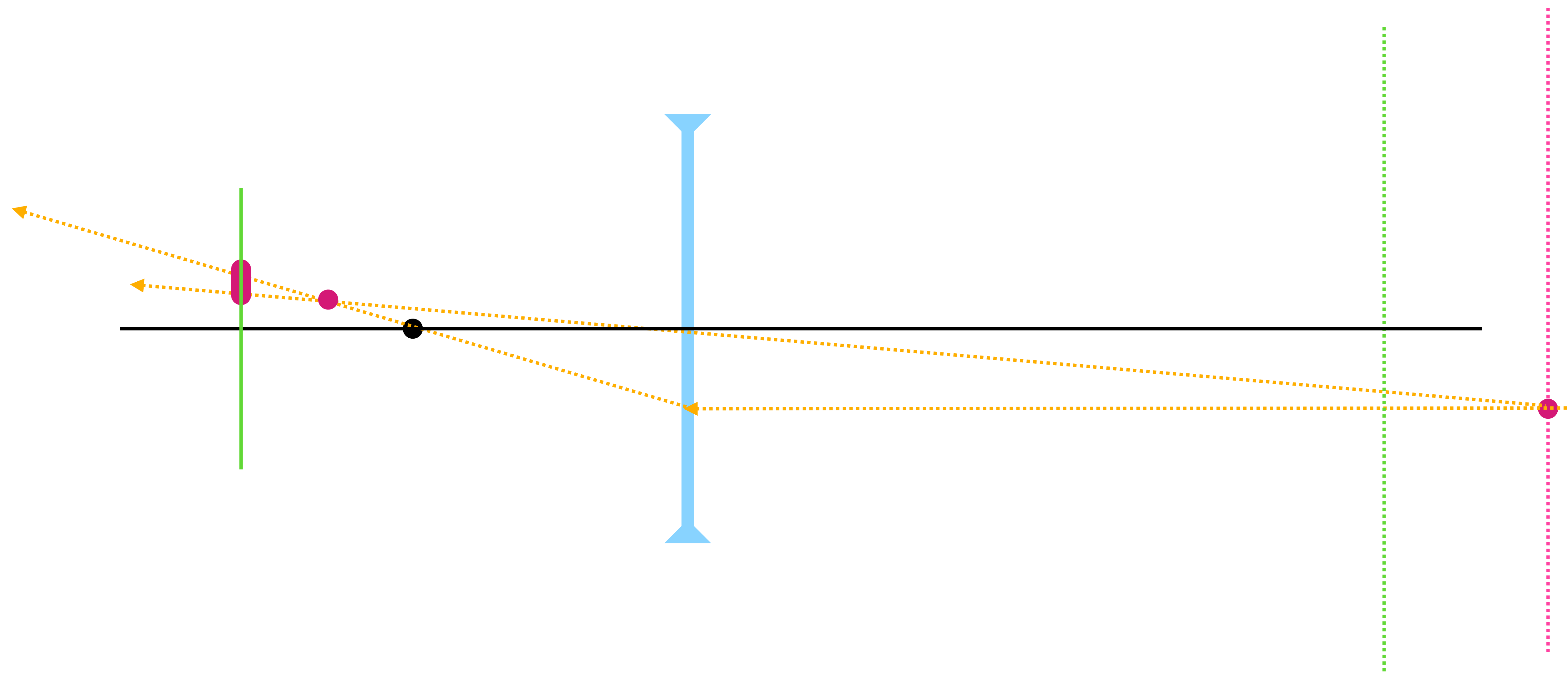
# Profundidade de campo

plano focal



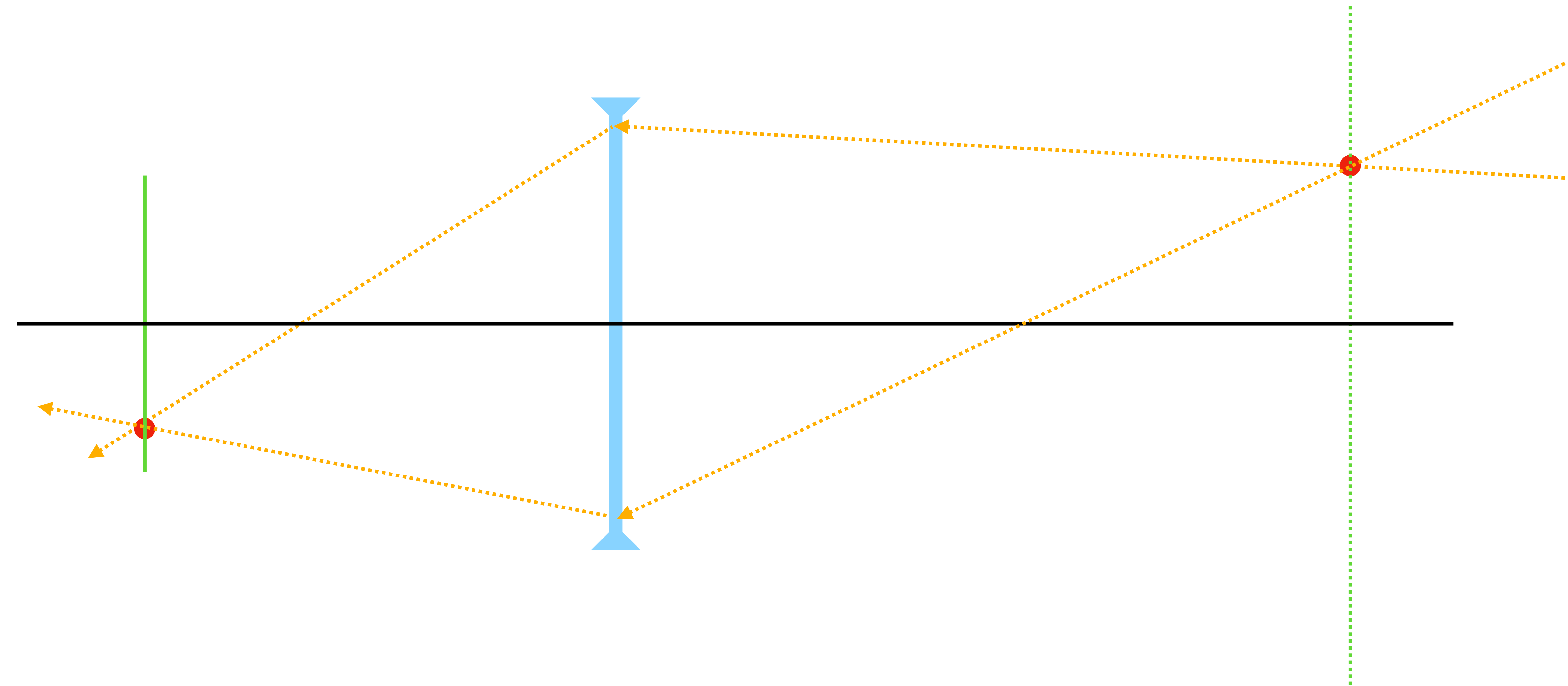
# Profundidade de campo

plano focal



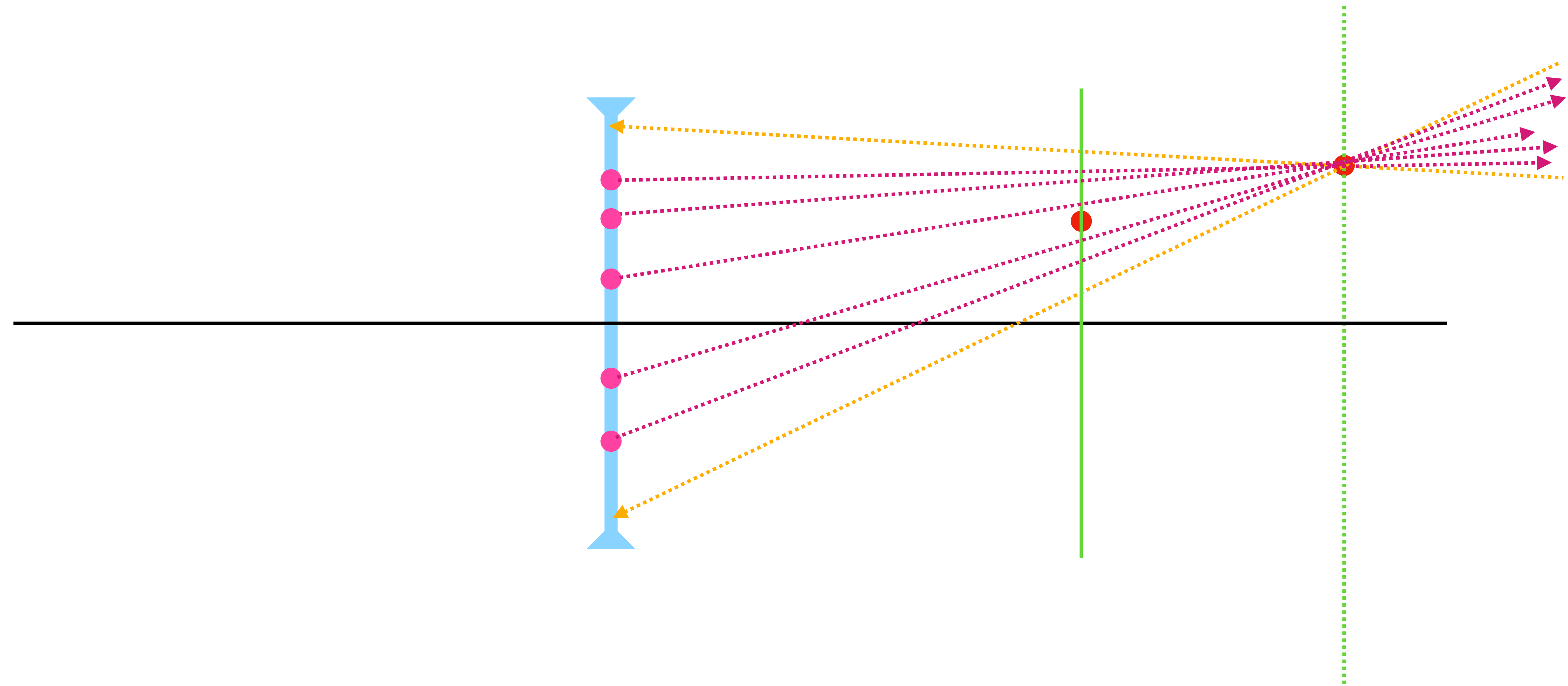
# Profundidade de campo

plano focal



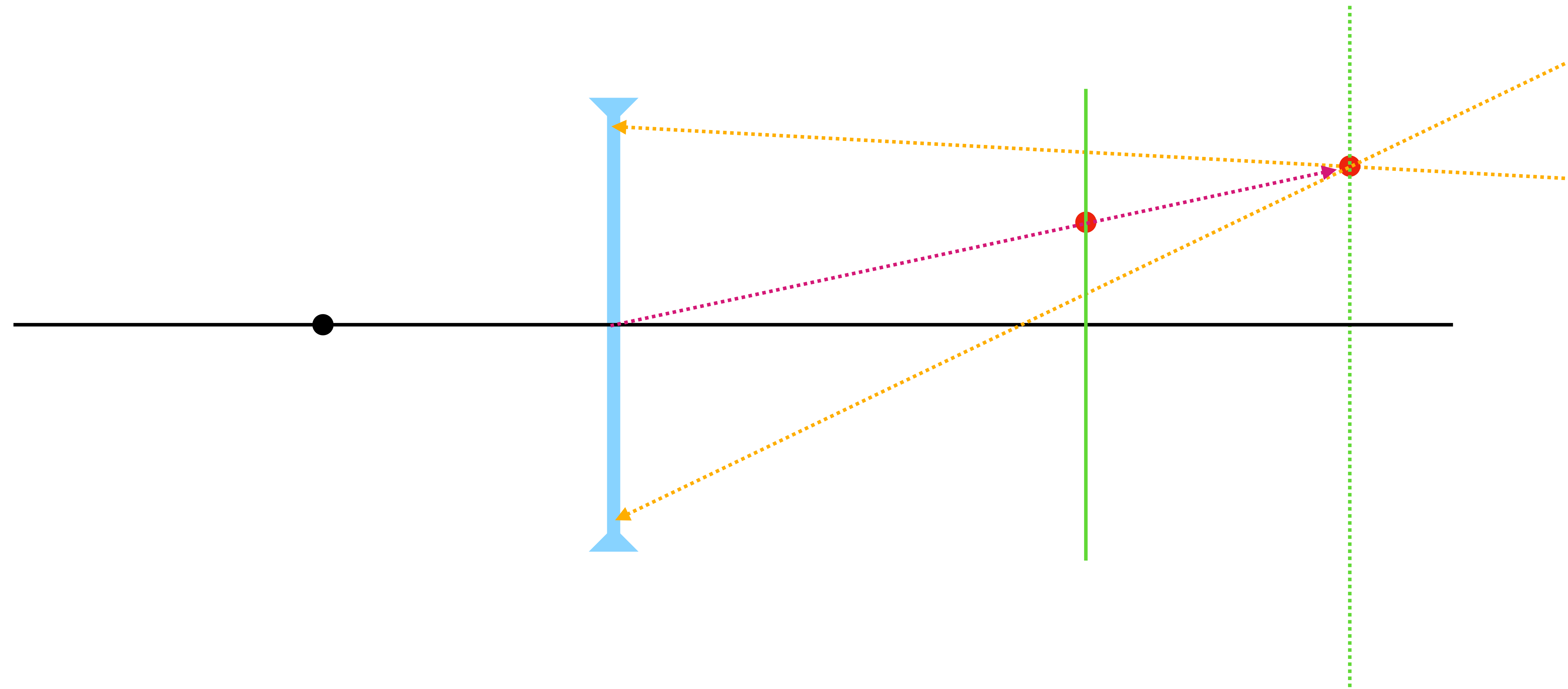
# Profundidade de campo

plano focal



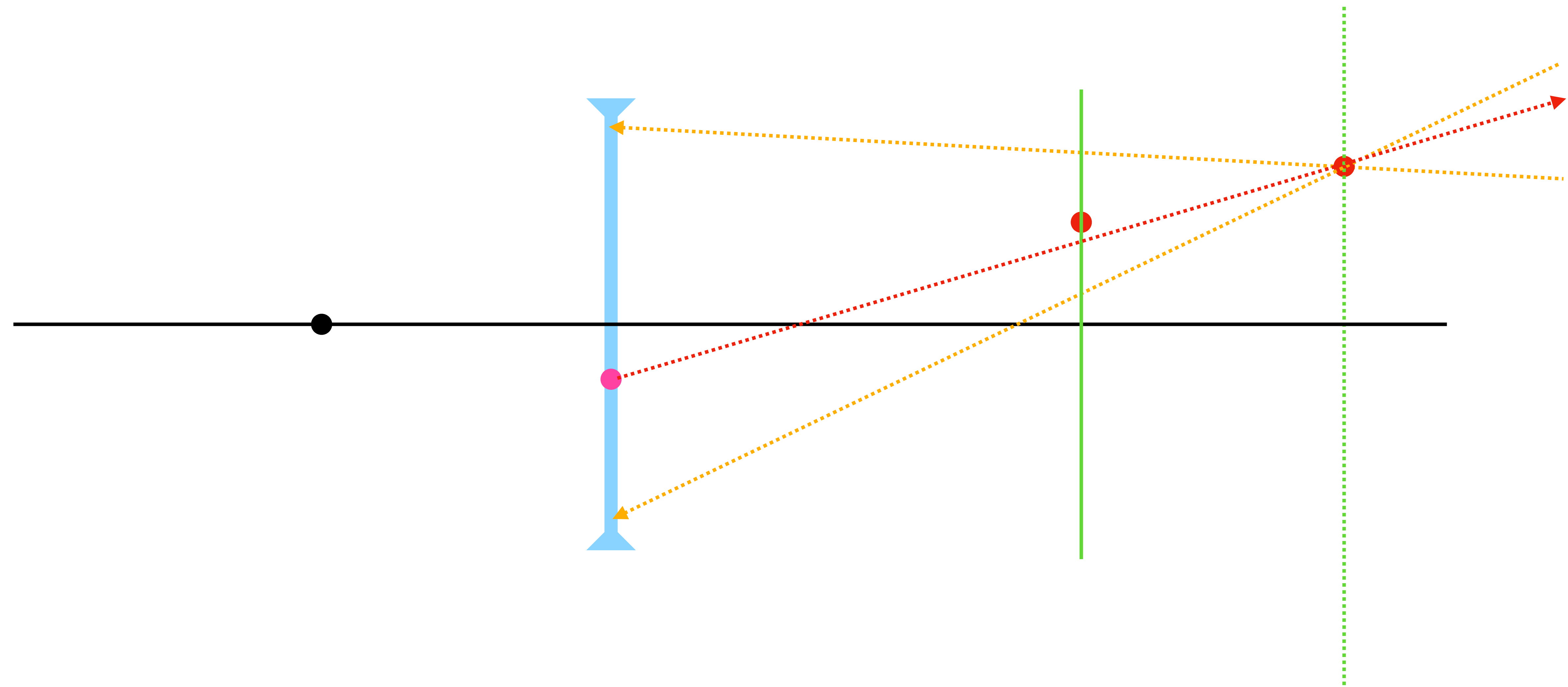
# Profundidade de campo

plano focal



# Profundidade de campo

plano focal



# Profundidade de campo

escolha  $f$  (fixo para a câmera) e  $r$  o raio da lente

$$p_s = (u, v, 1)$$

ponto no sensor (amostra)

$$p_f = (f * u, f * v, f)$$

ponto projetado no plano focal

$$e_l = (u_e, v_e, 0)$$

ponto amostrado na lente ( $u_e^2 + v_e^2 < r^2$ )

toma  $r(t) = p + tv$  onde

$$v = [p_p]_W - [e_l]_W$$

$$p = [e_l]_W$$

repita para várias amostras